



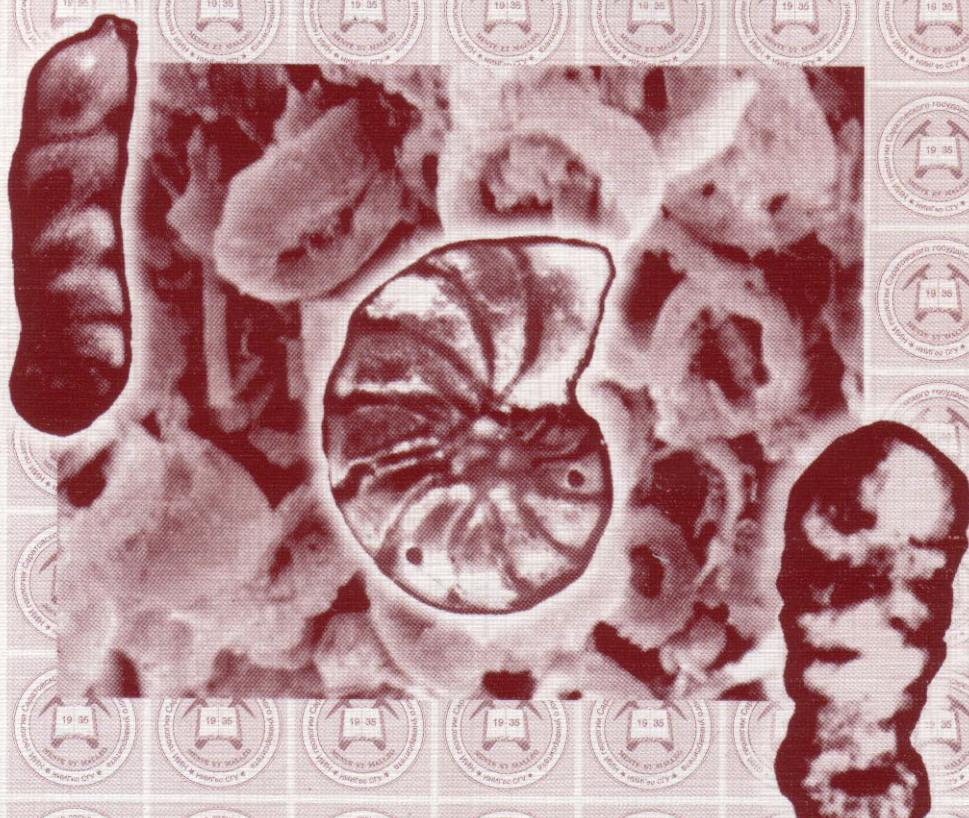
ТРУДЫ

**НАУЧНО-ИССЛЕДОВАТЕЛЬСКОГО ИНСТИТУТА ГЕОЛОГИИ
САРАТОВСКОГО ГОСУДАРСТВЕННОГО УНИВЕРСИТЕТА
имени Н. Г. ЧЕРНЫШЕВСКОГО**

Новая серия

Том XVII

РАЗРЕЗ ВЕРХНЕЮРСКИХ СЛАНЦЕНОСНЫХ ОТЛОЖЕНИЙ ВОЛЖСКОГО БАССЕЙНА





ТРУДЫ

НАУЧНО-ИССЛЕДОВАТЕЛЬСКОГО ИНСТИТУТА
ГЕОЛОГИИ

Саратовского государственного университета
им. Н. Г. Чернышевского

Новая серия

Том XVII

РАЗРЕЗ ВЕРХНЕЮОРСКИХ СЛАНЦЕНОСНЫХ ОТЛОЖЕНИЙ ВОЛЖСКОГО БАССЕЙНА (зона *Dorsoplanites panderi*)

Под редакцией З. А. Яночкиной и А. В. Иванова



Издательство «Научная книга»
Саратов — 2004

Авторы: Г. В. Кулева, З. А. Яночкина, Т. Ф. Букина, А. В. Иванов,
В. Н. Барышникова, Е. А. Троицкая, В. Н. Еремин

Разрез верхнеюрских сланценосных отложений волжского бассейна (зона
P17 *Dorsoplanites panderi*) / Г. В. Кулева и др.; Под ред. З. А. Яночкиной, А. В.
Иванова. — Саратов: Изд-во «Научная книга», 2004. — 110 с. (Тр. НИИГео
СГУ им. Н. Г. Чернышевского. Новая серия. Том XVII).

ISBN 5-93888-289-3

В работе отражены результаты комплексных исследований разреза сланценосных отложений волжского яруса Волжского бассейна. Дано подробное описание основных разрезов, стратиграфия сланценосных образований зоны *Dorsoplanites panderi*, рассмотрены литотипы, орнитокомплексы и условия осадконакопления. Приведены структурные и наноструктурные характеристики пород, проиллюстрированные электронно-микроскопическими фотоизображениями и дифрактограммами глинистых минералов.

Для геологов и палеонтологов, изучающих сланценосные осадочные толщи.

Рецензенты: канд. геол.-минер. наук *В. В. Митта*
(Палеонтологический институт РАН, г. Москва);

канд. техн. наук, доц. *А. А. Коваль*
(Саратовский государственный технический университет)

ISBN 5-93888-289-3

© Коллектив авторов, 2004

© Оформление. РИО НИИГео СГУ, 2004

© Издательство «Научная книга», 2004

СОДЕРЖАНИЕ

ВВЕДЕНИЕ	4
1. ИСТОРИЧЕСКИЙ АСПЕКТ И ОСОБЕННОСТИ ИССЛЕДОВАНИЙ	6
2. МЕТОДИКА РАБОТ	10
3. ПОСЛОЙНОЕ ОПИСАНИЕ РАЗРЕЗА ЗОНЫ DORSOPLANITES PANDERI	14
4. СТРАТИГРАФИЯ	36
5. ПАЛЕОМАГНИТНАЯ ХАРАКТЕРИСТИКА	41
6. ЛИТОТИПЫ, ОРИКТОКОМПЛЕКСЫ И УСЛОВИЯ ОСАДКОНАКОПЛЕНИЯ	43
ЗАКЛЮЧЕНИЕ	82
ЛИТЕРАТУРА	83
ФОТОТАБЛИЦЫ И ОБЪЯСНЕНИЯ К НИМ	88

ВВЕДЕНИЕ

Сланценосные отложения Волжско-Печерской провинции трансгрессивно залегают на эродированных каменноугольных, пермских, триасовых и среднеюрских толщах. Их стратиграфическое положение и взаимоотношения изучены достаточно полно. Начальный этап исследований охватывает конец XIX — начало XX века и наиболее полно отражен в работах А. Н. Розанова, Н. Г. Кассина, М. Д. Залесского. С тридцатых годов двадцатого века эти образования стали предметом пристального внимания академика Н. М. Страхова (1934) и целого ряда исследователей, рассмотревших различные вопросы сланценакопления позднеюрской эпохи. Среди них нельзя не назвать имена А. Ф. Добрянского, В. Г. Каширского, В. А. Котлукова, И. М. Озерова, В. Ф. Полозова, А. И. Егорова, А. И. Гинзбург, Г. В. Явхуты, С. Г. Неручева, Г. М. Парпаровой, Г. К. Хрусталевой, А. А. Гончарова, А. В. Внукова, С. И. Жмура, Р. Э. Вески. Накоплен обширный материал, но представления о детальной стратификации сланценосной толщи в конкретных регионах остаются спорными.

Детальная стратиграфическая основа, особенно для Волжского региона, где предполагается добыча горючих сланцев, является залогом успешного проведения геологических исследований разного назначения. До настоящего времени составление детальных планов и крупномасштабных

карт перспективных месторождений горючих сланцев сдерживалось отсутствием возможности сопоставления и прослеживания наиболее продуктивных горизонтов.

Детальность стратиграфических построений во многом определяется изучением опорных разрезов с привлечением максимально возможного комплекса методов. Как указывает А. И. Жамойда (1988), «для фанерозойских отложений непременным и одним из важнейших является биостратиграфический метод, реализуемый в рассматриваемом случае через так называемую зональную стратиграфию. Именно зональная стратиграфия является наиболее надежным инструментом детального расчленения отложений и их корреляции, вплоть до глобальной» (стр. 27).

В свете изложенного, предпринятое изучение зоны *Dorsoplantes panderi* (D. p.) волжского яруса имеет важное значение, тем более, что на Европейской части России волжские отложения распространены исключительно широко (5 млн. кв. км), а из всех стратонов яруса зона D. p. имеет наибольший ареал, в сущности совпадающий с ареалом всего волжского яруса. В Волжском регионе спецификой зоны является присутствие значительных запасов такого важного полезного ископаемого, как горючие сланцы, в комплексе с сапропелевыми глинами и известковыми, существенно монтмориллонитовыми глинами с приме-

сью каолинита, гидрослюды, хлорита и других глинистых минералов, представляющих самостоятельный промышленный интерес. Возможности комплексного безотходного использования минерального и органоминерального сырья с целью получения максимальной прибыли, при одновременном эффекте защиты окружающей среды от высоко токсичных отходов, увеличивают значение предпринимаемых исследований и их актуальность.

Авторы в течение многих лет проводили изучение сланцевосных пород Волжского бассейна. В настоящей работе основное внимание уделено рассмотрению разреза скважины, где отложения зоны D. р. представлены наиболее полно и проведено его сопоставление с лектостратотипом.

Авторы благодарят В. В. Митту (Палеонтологический институт РАН) за критический просмотр рукописи и замечания, а также П. П. Тимофеева, Л. И. Боголюбову и А. И. Гинзбург А. А. (ГИН РАН) за многочисленные консультации по методам исследований и основам классификации сланцевосных образований. Большую благодарность выражаем А. А. Чурину и А. В. Самородову (Саратовская ГГЭ) за оперативное представление в хорошем состоянии кернового материала опорной скв. 559, что позволило качественно провести комплексные аналитические исследования. Авторы признательны также Н. В. Добровольской и Е. В. Попову (НИИ геологии СГУ) за большую помощь в подготовке работы к изданию.



Согласно А. Я. Герасимова отдельные авторы (Н. А. Буянова и Н. М. Котогло) описывают зону фораминафера *Dorsoplanites panderi* (Дорсопланит пандери) в качестве зоны (ЗА) на границе меловых и юрских отложений.

1. ИСТОРИЧЕСКИЙ АСПЕКТ И ОСОБЕННОСТИ ИССЛЕДОВАНИЙ

В Академии Академия наук Франции в 1871 году (Герасимов, 1966) зона фораминафера *Dorsoplanites panderi* была впервые описана как зона юрской фауны, включавшая в себя верхнюю часть зоны *Ammonia* и нижнюю часть зоны *Spiroplectammina*.

Как известно, волжский ярус впервые был выделен в Подмосковье С. Н. Никитиным (1884). П. А. Герасимов и Н. П. Михайлов (1966), описав наиболее полный и доступный для изучения разрез сланценосной толщи на правом берегу р. Волги у с. Городищи в окрестностях города Ульяновска, сочли возможным предложить его в качестве лектостратотипа, в котором зона *Dorsoplanites panderi* составляет 9,8 м.

Изучение большого объема кернового материала, проведенное сотрудниками НИИ Геологии Саратовского университета по комплексной методике с применением био- и магнитостратиграфических, литолого-фациальных и литолого-геохимических методов позволило совершенно по-новому рассмотреть, прежде всего, детальную стратиграфию основного стратона волжского яруса – зоны D. p. и, в связи с этим, также по-новому оценить лектостратотип яруса в части, относящейся к вышенназванной зоне. Следует заметить, что среди биостратиграфического материала особая роль в данном исследовании отводилась изучению фораминафер.

Анализ распределения по разрезу зоны D. p. фораминафер позволил выявить устойчивые стратиграфические уровни, отнесенные к категории вспомогательных биостратиграфических подразделений – слоям с фораминаферами (Кулева, Барышникова, 1988 а, 1988 б). Известно, что

в эти же временные отрезки времени волжский ярус включал в себя зоны фораминафер *Pavlovia pavlovi* и *Zaraiskites zarajskensis*. Последующие исследования распределения амонитов в этом разрезе показали, что оба вида – индекса встречаются во всем интервале зоны (Митта, 1993). Тем не менее, эти отложения распадаются на две литологически хорошо

для фаун конца юры и начала мела средняя продолжительность существования одного вида фораминафер составляет более пяти миллионов лет, а продолжительность зонального момента для наиболее детально расчлененных отрезков геологического времени (поздняя юра) колеблется в пределах от 0,6 до 1,2 млн. лет. (Месежников, 1982). В этом случае возможность более детального расчленения отложений осуществляется только при анализе распространения в них отдельных видов, а также их комплексов. Слои с фораминаферами выделены именно по этим критериям. В наиболее полных разрезах зоны *Dorsoplanites panderi*, расположенных в районе города Перелюб (Саратовское Заволжье), слои с фораминаферами, по нашим данным, сменяют друг друга в следующей последовательности (снизу–вверх): слои со *Spiroplectammina vicinalis* Dain; с *Ammobaculites infravolgensis* Mjatl.; с *Haplophragmoides volgensis inviolatus* Dain; с *Marginulina formosa* Mjatl.

Зона D. p. в лектостратотипе (Герасимов, Михайлов, 1966) по амонитам разделена на две подзоны: нижнюю – *Pavlovia pavlovi* и верхнюю – *Zaraiskites zarajskensis*. Последующие исследования распространения амонитов в этом разрезе показали, что оба вида – индекса встречаются во всем интервале зоны (Митта, 1993). Тем не менее, эти отложения распадаются на две литологически хорошо

различающиеся толщи: нижнюю глинистую и верхнюю сланценосную. Поэтому для удобства изложения ниже сохранены названия аммонитовых подзон. Л. Г. Дайн и К. И. Кузнецова (1976) в этом же разрезе выделили ассоциации видов фораминифер, характерные для каждой подзоны. Для подзоны *Pavlovia pavlovi* названы: *Spiroplectammina inderica* Furss. (*S. vicinalis* Dain), *Orbignynoides subaequalis* (Mjatl.), *O. dissepsum* (E. Bykova), *Lenticulina infravolgaensis* (Furss. et Pol.), *M. embaensis* (Furss. et Pol.), *Marginulinopsis mediaformis* K. Kuzn., *Saracenaria pravoslavlevi* Furss. et Pol., *S. ilovaiskii* (Furss.), *Sigmoilina subpanda* (Lloyd), *Eoguttulina aculeolata* Dain, *Mironovella gemina* Dain; для подзоны *Zaraiskites zarajskensis* — *Lenticulina kaschpurica* (Mjatl.), *L. biexcavata* (Mjatl.), *L. ornatissima* (Furss. et Pol.), *L. kovalevskii* Dain, *Astacolus obliteratus* Furss., *Saracenaria kasanzevi* (Furss. et Pol.), *Nodosaria osynkiensis* Mjatl., *Sigmoilina subpanda* (Lloyd), *Quinqueloculina mitchurini* Dain.

Аналогичные по видовому составу ассоциации фораминифер были выявлены нами в разрезе зоны *panderi* в слоях со *Spiroplectammina vicinalis* Dain. Нижний комплекс фораминифер, установленный Л. Г. Дайн и К. И. Кузнецовой, сопоставим с таковым, определенным нами в известковых глинах этих слоев; верхний соответствует ассоциации, свойственной горючим сланцам и сапропелевым глинам тех же слоев *S. vicinalis*. Эти данные однозначно указывают на то, что различия в составе комплексов фораминифер для подзон лектостратотипического разреза имеют не стратиграфическую, а фациальную природу. Аммониты, установленные нами в слоях со *Spiroplectammina vicinalis* Dain в скважинах Перелюбской площади, по своему видовому составу соответствуют комплексу обеих подзон лектостратотипа (рис. 1а).

Мощность пород, относимых в лектостратотипе к зоне *panderi*, как упоминалось выше, всего 9,8 м. Перекрываются они, по

данным П. А. Герасимова и Н. П. Михайлова (1966), фосфоритовыми когломератами с *Virgatites virgatus* (Buch), *Cylindroteuthis (Lagonibelus) volgensis* (Orb.) и сильно окатанными, переотложенными ядрами аммонитов зоны *panderi* — *Zaraiskites scythicus* (Visch.) и *Pavlovia* sp. Эти факты также, как и вышеизложенные данные о распределении фораминифер, свидетельствуют о размытии верхней части пандериевых слоев. В лектостратотипе присутствуют лишь низы зоны *panderi*. Это подтверждается и данными палеомагнитных исследований.

Об использовании ряда других разрезов в качестве дополнительных стратотипов Волжского яруса можно отметить следующее. В Караджирском разрезе, постоянно привлекающем внимание исследователей стратиграфической полнотой и значительной мощностью волжских образований, зона D. p. по данным М. С. Месежникова с соавторами (1987) составляет 29,4 м. Изучение распределения фораминифер в этом разрезе, проведенное нами, и корреляция с общесыртовскими разрезами показали, что пандериевая зона представлена здесь также неполно: отсутствуют два верхних стратона — слои с *Haplophragmoides volgensis inviolatus* Dain и слои с *Marginulina formosa* Mjatl. К тому же породы зоны кливажированы с уменьшением мощности за счет роста Индерского соляного купола.

У с. Кашпир, по нашим исследованиям 1987 года, как в береговом обрыве р. Волги, так и в разрезах шахт №3 и 5, наблюдаются изолированные выходы различных частей пандериевой зоны. В береговом обрыве на южной окраине г. Сызрани, в 0,3 км выше Кашпирского сланцевого рудника выходят сланценосные породы мощностью 2,5 м, с отпечатками аммонитов *Zaraiskites*, *Dorsoplanoites* и двусторчатых моллюсков *Buchia*. Выявленный комплекс фораминифер позволяет отнести вмещающие породы к верхней части слоев со *Spiroplectammina vicinalis* Dain, а в разрезах шахт — к слоям с *Marginulina formosa* Mjatl. В последних же наблюдает-

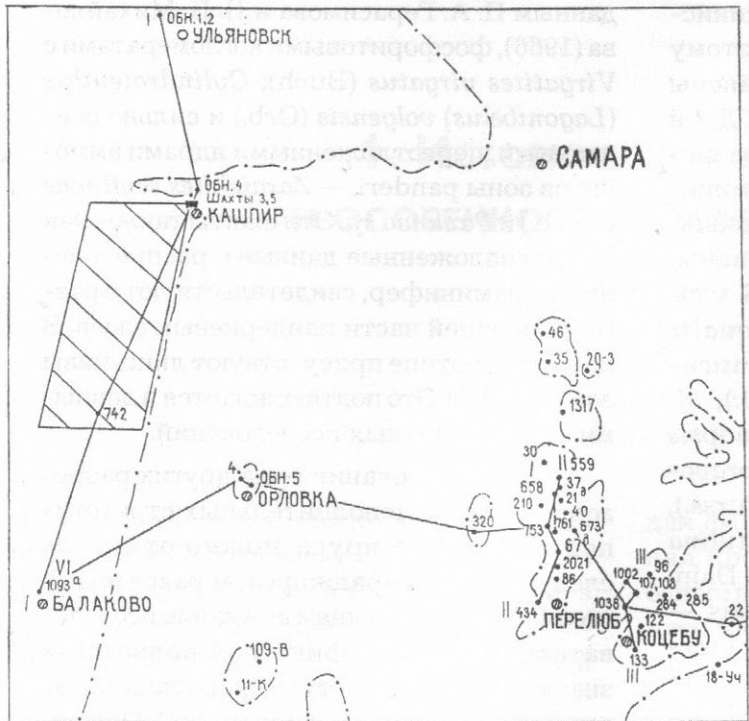


Рис. 1. Карта фактического материала.

ся и контакт сланцевоносных пород зоны D. p. с известняками зоны *Virgatites virgatus*.

Таким образом, как показывает корреляция с заволжскими разрезами, во всех вышеназванных пунктах (Городище, Караджир, Кашир) зона D. p. представлена в той или иной мере неполно, из чего следует необходимость выбора для этой важнейшей части геологического разреза дополнительного стратотипа (гипостратотипа), наиболее отвечающего требованиям стратиграфического кодекса.

Нами в качестве гипостратотипа предлагается к рассмотрению один из разрезов, вскрытых скважинами в Саратовском Заволжье (Перелюбский район) (рис. 1), где зона *panderi* представлена стратиграфически наиболее полно, хорошо охарактеризована микро- и макрофаунистическими остатками (в первую очередь — аммонитами и фораминиферами), имеет мощность около 94 м. Недостатком этого разреза, является перерыв на контакте с подстилающими породами (от-

сутствует нижневолжский подъярус) однако, он дополнен стратиграфической характеристикой самых низов зоны D. p. — слоев с *Mironovella gemina* Dain, выделенными нами в лектостратотипе у с. Городище. Здесь они нормально контактируют с зоной *Powaiskyia pseudoscytica* нижневолжского подъяруса, а перекрываются слоями с *vicinalis*. Слои с *M. gemina* зафиксированы также в Караджирском разрезе района озера Индер.

Что касается требований кодекса о доступности для осмотра и изучения, предъявляемых ко всем разновидностям стратотипов, то керн изученного разреза (скв. 559 пробурена ПГО «Нижневолжскгеология» с полным выходом керна) хранится в НИИ геологии Саратовского университета и доступен для изучения.

Аналитические исследования проводились в лабораториях НИИ геологии Саратовского университета: изучением фораминифер занималась В. И. Барышникова; макрофaуны беспозвоночных — Е. А. Троицкая, Г. В. Кулева, А. В. Иванов; лито-geoхимические исследования проведены З. А. Яночкиной и Т. Ф. Букиной; изучение магнитных свойств пород — В. Н. Ереминым.

В проведении электронно-микроскопических исследований оказали содействие руководители Института Геологии Коми Научного центра УРО РАН М. В. Фишман и Н. П. Юшкин, а также научный сотрудник В. Н. Филиппов; директор ПИН РАН Н. Н. Крамаренко и оператор РЭМ П. П. Капитанов, которым мы выражаем свою глубокую благодарность.

Объем и качественный состав полученных материалов оказался достаточным для осуществления литолого-фациального анализа по методике, разработанной П. П.

П. Тимофеевым (1967, 1969, 1975). На первом этапе были выделены генетические типы осадков. В основу типизации легли признаки, предложенные Л. Н. Ботвинкиной, Ю. А. Жемчужниковым, П. П. Тимофеевым и др. (1956), П. П. Тимофеевым (1978, 1987, 2000), П. П. Тимофеевым и Л. И. Боголюбовой (1971, 1998, 1999, 2000), Л. И. Боголюбовой (1988), а также Т. Ф. Букиной (1988) для дифференциации седиментационных и раннедиагенетических особенностей пород. Основные трудности были связаны с необходимостью выявления генетических различий пород очень узкого возрастного диапазона. При

выделении генетических типов использованы материалы Н. М. Страхова (1934, 1960, 1962), Г. В. Явхуты (1978), А. И. Гингзбург (1965, 1973), Г. К. Хрусталевой и А. А. Гонцова (1980), Г. К. Хрусталевой (1999). Особенно полезной оказалась информация оnanoструктурах, микроструктурах, количестве скелетных остатков кокколитофорид и степени их сохранности (Букина, Яночкина; Суэтнова, 1987). Была установлена принадлежность генетических типов осадков различным фациям и макрофациям, исследованы их взаимоотношения и характер цикличности осадконакопления.



2. Методика исследований

Полевые исследования сводились к детальному послойному всестороннему описанию разреза. Особое внимание уделялось макро- и микрослоистости, а также другим текстурным особенностям пород. По мере возможностей определялся минеральный состав отдельных включений и их распределение в слое. Устанавливались взаимоотношения и взаимопереходы различных литологических типов пород в разрезе.

Исследования макро- и микрофауны проводилось по следующей схеме. Макрофаунистические остатки отбирались по всему разрезу независимо от сохранности. Образцы ориентировались с отметкой «верх-низ». Отбор сопровождался обязательными эколого-тафономическими наблюдениями. Визуально и под бинокуляром определялись количественные характеристики остатков, изучались скульптура, сохранность раковин, обязательно фиксировалось наличие или отсутствие следов окатанности—свидетельств автохтонности или аллохтонности составляющих орнитокомплекса (под орнитокомплексом понимается, вслед за В. А. Собецким (1978), совокупность ископаемых остатков из определенного слоя), уточнялось расположение раковин, отдельных створок и т. д. в породе по отношению друг к другу и к поверхности напластования. В результате установлен тафономический тип орнитокомплексов каждого литотипа пород исследуемого разреза, выявлен их

систематический и экологический состав, используемый для интерпретации условий седиментации.

Микрофаунистическое опробование проводилось послойно. В однородных пластах значительной мощности образцы отбирались через 1–2 м. Исследование микрофауны включало изучение систематического состава, его изменения по разрезу, а также подсчет количества видов и экземпляров раковин по литотипам пород. Последнее служило для определения соотношения основных экологических групп фораминифер (бентос секреционный, бентос песчанистый) и остракод, что также использовалось для оценки факторов среды.

Полевые литолого-фациальные исследования имели свою специфику. Поскольку нашим объектом являлись тонкодисперсные породы, для определения их компонентного состава и фациальной принадлежности обычных полевых наблюдений оказалось недостаточно. В связи с этим были проведены микроскопические полевые исследования всех разностей отобранных проб. Шаг опробования вмещающих пород не превышал 0,5 м, а в продуктивных пластах горючих сланцев сгущался до 0,1 м.

Небольшие пробы-протолочки изучались в иммерсионных жидкостях с помощью микроскопа МИН-8 при увеличениях до 100-150 раз. Были выделены участ-

ки керна с разнородной пелитовой структурой, с различным содержанием альгинита и другими отличительными признаками. Из них через 1–2 м из каждой разности отбирались образцы весом до 1 кг и намечались пути их дальнейшего комплексного исследования. По результатам микроисследования осуществлялся оптимальный отбор образцов на прецизионные исследования.

Лабораторные методы применялись и совершенствовались авторами с целью получения оптимальной информации о составе и генезисе пород. Отобранные при полевых исследованиях образцы анализировались по комплексной методике. Определялся их химический, минералогический, гранулометрический состав, проводились термические, рентгеноструктурные исследования тонкодисперсных компонентов, спектральный анализ валовых проб и керогена, определялось содержание органического вещества, его групповой состав, формы железа, структура и строение керогена из всех типов пород сланценосной толщи.

Петрографические и нанопетрографические исследования составляли единый блок наблюдения за структурными особенностями пород на микро- иnanoуровне для расшифровки генетических особенностей пород.

Петрографическое изучение пород сланценосной толщи осуществлялось в обычных, полуоткрытых и двоякополированных шлифах, изготовленных в параллельных и перпендикулярных направлениях по отношению к слоистости, на поляризационном микроскопе ПОЛАМ-Л-211 в проходящем и отраженном свете. Высокая освещенность поля зрения по Келлеру обеспечивала надежную диагностику как светлых, так и полупрозрачных объектов, таких как альгинит и других видов органического вещества — сапроколлинита, гумусовых компонентов, растительных остатков различной степени углефикации.

В шлифах определялось количество и взаимоотношения главных пордообра-

зующих компонентов, микротекстура и структура пород, новообразования. В горючих сланцах и сапропелевых глинах изменилась величина микролинз альгинита. Во всех литологических разностях производился подсчет песчаных и алевритовых частиц. Изучались ориентация и распределение пелитовых частиц, особенно кокколитов, их пространственных связей с альгинитом, с углефицированными растительными остатками (УРО), с глинистым веществом, с новообразованными кристаллами карбонатов в комбинированных полуоткрытых шлифах с помощью люминесцентного микроскопа ЛЮМАМ – Р-8, где устанавливалась интенсивность их свечения в падающем и проходящем свете.

В ходе работ возникла необходимость изучения морфологии микрокомпонентов сланценосных образований. Возможности световых микроскопов оказалось недостаточными и были применены электронные микроскопы, позволяющие определить более тонкое строение вещества, облик и расположение пелитовых частиц, их сохранность и характер преобразований. Исследования взаимоотношений тонкодисперсных компонентов в препаратах, изготовленных из тех же образцов, что и шлифы, именуются как нанопетрографические, а выявленные при этом пространственные особенности вещественного состава пород — nanoструктура (НС), более всего отражающей степень сходства или различия литотипов сланценосной толщи.

Изучение nanoструктур, исходя из наших технических возможностей, осуществлялось с помощью просвечивающих электронных микроскопов TESLA BS-242 E и TESLA BS-500 с разрешением до 800 нм. Препаратами для исследований служили двухступенчатые полистиролово-угольно-платиновые реплики с естественных сколов образцов различной ориентации. Оптимальными оказались тонкоступенчатые сколы под углом 30–45°, где одновременно изучалось распределение частиц как в параллельной, так и в перпендикулярной плос-

кости по отношению к естественной слоистости. Изучение ненарушенных наноструктур проводилось на РЭМ – сканирующих электронных микроскопах марок MSM – 5, MSM – 9.

Для просмотра подбирались образцы пород со свежим сколом под углом к слоистости. Из них готовились препараты, размечены 2–8 мм в поперечнике, путем их наклеивания на металлическую шайбу серебряным kleem и напыления на просматриваемую поверхность тонкого слоя золота в условиях вакуума по методике Г. С. Грицаенко (1969). В процессе наблюдения сканировалась вся поверхность образца, характерные детали наноструктур фотографировались. Наиболее удобными оказались увеличения в диапазоне от 2 до 7 тысяч раз. При необходимости выявления внутренних особенностей пелитовых частиц, особенно кокколитов и хлопьев ОВ, применялись увеличения до 10,40 и в некоторых случаях – 120 тысяч раз. Материалы исследований являлись основой выделения генетических типов пород, использовались для палеогеографических интерпретаций.

Исследования гранулометрического состава в связи с обилием в породах органического вещества имели свои трудности. В неразмокающих горючих сланцах подсчет пелитовых, алевритовых и песчаных частиц производился площадным способом в шлифах. Во вмещающих породах сначала отмучивалась с водой фракция $< 0,01$ мм, а в высушенному остатку ситовым анализом определялось количество частиц размером 0,01–0,1; 0,1–0,25; 0,25–0,5 мм. Более крупные фрагменты, как правило, не встречались. По разности весов начальной пробы и высущенного остатка определялось количество частиц размером $< 0,01$ мм.

Исследование пелитовой составляющей проводилось несколькими методами. Качественный состав фракции $< 0,01$ мм определялся термическим методом в порошках, предварительно обработанных HCl и H_2O_2 для удаления карбонатов и

органического вещества, мешающих проведению анализов.

Для концентрации тонкодисперсных частиц использовалась порода, диспергированная в воде и обработанная 10% H_2O_2 с целью дезинтеграции глинисто-органических агрегатов. Затем из нее выделялась суточная фракция (размером менее 1 мкм) и анализировалась с помощью термогравиметрического, рентгеноструктурного и электронно-микроскопического методов. Термогравиметрический анализ проводился на приборе «Дериватограф». Кривые изменения массы в зависимости от температуры нагревания дали возможность оценить полуколичественный состав породообразующих глинистых минералов.

Структурная характеристика частиц < 1 мкм получена на рентгеновской установке «ДРОН-3». Дифрактограммы снимались с естественных неориентированных и ориентированных проб, а также обработанных HCl, прокаленных при 600° С и насыщенных глицерином.

Изучение морфологических особенностей глинистых частиц проводилось с помощью электронных микроскопов TESLA BS-242 E и TESLA BS-500 на просвет при увеличениях от 3 до 18 тысяч раз.

Исследования алевро-пелитовой составляющей и песчаных частиц проводились в шлифах, а также иммерсионным методом. Подготовка проб осуществлялась в процессе проведения ситового анализа. Горючие сланцы предварительно обрабатывались 5% раствором HCl и H_2O_2 для высвобождения частиц из аутигенных агрегатов. Наиболее представительная фракция, размером 0,25–0,01 мм, делилась в бромоформе на легкую и тяжелую, и изучалась с помощью поляризационного микроскопа. В легкой фракции производился разделенный подсчет терригенных и аутигенных компонентов, в тяжелой – общий подсчет в связи с преобладающим значением аутигенных минералов.

Исследования химического состава пород осуществлялись несколькими путя-

ми. Состав макроэлементов определялся в соляно-кислотных вытяжках и в золе нерастворимого остатка с помощью силикатного анализа. В отдельных случаях предварительно изучался состав водо-растворимых соединений, общее содержание которых оказалось незначительным. Содержания микроэлементов в валовых и озоленных пробах определялись на спектрографах ИСП-28 с приставкой УСА-5 методом «просыпки» и на ДФС-8 методом набивки угольных электродов.

Исследование органической составляющей пород осуществлялось комплексно, а также в каждой пробе определялось содержание органического углерода. Для этой цели была применена стандартная методика, разработанная В. А. Успенским с соавторами (1975). Общее содержание ОВ в образцах рассчитывалось по методике, принятой во ВСЕГЕИ (Гинзбург и др., 1976). Условный коэффициент пересчета составлял 1,5, исходя из опубликованных данных элементного состава волжских горючих сланцев, где количество С_{опр.} в массе органического вещества изменяется от 60 до 70%. Групповой состав ОВ исследован также по методике В. А. Успенского в небольшом количестве проб.

Исследование керогена предусматривало его выделение в виде монофракции из всех литологических разностей пород, принимающих участие в строении толщи. Выделение осуществлялось путем полной деминерализации проб сначала 10% соляной, а затем — концентрированной плавиковой

кислотой. Далее изучение концентратов керогена проводилось по нескольким направлениям. С помощью рентгеноструктурного анализа на установке «ДРОН-3» по параметрам элементарных ячеек структур в составе керогена определялась роль алифатических и ароматических соединений. Методом ИК-спектроскопии определялось содержание OH, CH₃ и CH₂-групп, свободной карбоксильной группы (-COOH).

Электронно-микроскопические исследования использованы для уточнения размеров и формы микрочастиц, благодаря чему были обнаружены остатки гаметофитных поколений кокколитофорид размером менее 1 микрометра.

Спектральным анализом в предварительно озоленных порошках керогена на приборе ДФС-8 выявлено содержание ряда биофильных элементов.

Палеомагнитные исследования осуществлялись по всему разрезу с достаточной степенью детальности. Пробы равномерно (через один метр) распределены по разрезу скважины. Они исследованы по общепринятой методике: измерены величины естественной остаточной намагниченности (на ИОН — 1), магнитной восприимчивости (на ИМВ — 2). Для выявления древней первичной составляющей намагниченности пробы подвергались магнитным чисткам температурой и магнитными полями. Выделение магнитозон проводилось по знаку наклонения векторов первичной остаточной намагниченности.



3. ПОСЛОЙНОЕ ОПИСАНИЕ РАЗРЕЗА ЗОНЫ DORSOPLANITES PANDERI

Полный разрез зоны D. p. составлен из по- слойного описания естественного обнаже- ния у д. Городище на правом берегу Волги (слои с *Mironovella gemina* Dain — низы зоны D. panderi) и разреза скважины 559, пробуренной вблизи свх. Глушицкий с пол- ным выходом керна.

Сланценосная толща принадлежит средневолжскому подъярусу и, как это подтверждено палеонтологическими дан- ными, отвечает зоне *Dorsoplanites panderi* общей стратиграфической шкалы. Комплекс фауны весьма разнообразен, здесь установлены остатки зональных аммони- тов и других моллюсков — *Dorsoplanites panderi* (Orb.), *Zaraiskites scythicus* (Visch.), *Z. zarajskensis* (Mich.), *Z. quenstedti* (R. et V.), *Pavlovia pavlovi* (Mich.), *Phacoides fischerianus* (Orb.), *Berlieria maeotis* (Eichw.), фораминифер — *Ammobaculites extensus* Dain, *Lenticulina infravolgensis* (Furss. et Pol.), *L. kaschpurica* (Mjatl.), *Saracenaria pravoslavlevi* Furss. et Pol. и других.

Границы зоны D. p. также обеспечены фаунистически и выражены определенны- ми, визуально наблюдаемыми признаками. Нижняя граница сланценосных отложений во всех разрезах Саратовского Заволжья четко фиксируется региональным стратиграфическим несогласием. Зона располагает- ся на разновозрастных отложениях — от карбона, перми, триаса до средней юры

(келловей), чаще с размывом или без види- мых следов такового, но литологически (фа- циально) граница всегда отчетлива. В боль- шинстве разрезов в основании фиксируют- ся фосфоритовые желваки или фосфоритовый горизонт (плита). Перекры- вается зона D. panderi породами зоны *Virgatites virgatus*, представленными терри- гено-карбонатной фацией и охарактеризо- ванными специфическим комплексом остат- ков моллюсков *Virgatites virgatus* (Buch.), *Cylindroteuthis (Lagonibelis) volgensis* D'Orb., *Buchia rugosa* (Fisch.), *Flabellammina lidia* Furss. et Pol., *Guttulina dogieli* Dain и другие. Литологически граница зон четко выраже- на сменой темноокрашенных сапропелевых глин светлоокрашенными с резким увеличе- нием объема плотных терригенно-карбонат- ных пород. В Ульяновском Поволжье зона D. panderi залегает на нижневолжских отложе- ниях (зоны *Ilowai-skyia pseudoscyclita*) без следов перерыва и фосфоритовой плиты.

Разрез зоны D. p. сложен разнообраз- ными литотипами пород — горючими слан- цами, сапропелевыми и кокколитовыми известковыми глинами, алевролитами и глинистыми известняками, фосфоритовы- ми песчаниками (плита).

Снизу вверх в разрезе зоны D. p. вы- делены следующие слои с фораминифера- ми (Кулева, Барышникова, 1988 а, б):

1. Слои с *Mironovella gemina* Dain. (в литостратотипе у д. Городище).

2. Слои со *Spiroplectammina vicinalis* Dain.
3. Слои с *Ammobaculites infravolgensis* Mjatlukae.
4. Слои с *Haplophragmoides volgensis* inviolatus Dain.
5. Слои с *Marginulina formosa* Mjatlukae.

Расчленение зоны D. p. на слои с фораминиферами и прослеживание их по площади позволило установить, что с запада на восток Общесыртовского района мощность зоны уменьшается за счет постепенного выклинивания нижних частей разреза. Максимальные мощности, зафиксированные в районе г. Перелюба — 100–109 м. Здесь присутствуют все выше названные слои, кроме слоев с *Mironovella gemina* Dain. В восточных участках (район п. Рубежка, Оренбургской обл.) развиты лишь верхние слои *Marginulina formosa* Mjatl., мощность зоны составляет 25–28 м. Суммарная мощность рассматриваемого разреза составляет 100,29 м.

Разрез у д. Городище

В правом береговом склоне реки Волги в 25 км выше г. Ульяновска и в 1 км ниже д. Городище, снизу вверх обнажаются следующие слои.

$J_3 V_1$ 1. Глина темно-серая алевритистая, плитчатая, с прослойками светло-серого мергеля. Присутствуют аммониты *Ilowaischia pseudoscithica* (Il. et Fl.). Переход к вышележащим породам постепенный.

Слои с *Mironovella gemina* Dain (пuc. 1a, сл. 2–11)

$J_3 V_2$ 2. Глина светло-серая, известковая, мергеливидная, содержит плотные мелкие обособления (5–10 мм) серого цвета, обогащенные фосфором, ходы илоедов, остатки мелких белемнитов, двусторчатых моллюсков. Присутствуют аммониты

Pavlovia pavlovi (Mich.), *Zaraiskites cf. scythicus* (Vischn.), *Z. cf. zarajskensis* (Mich.), *Dorsoplanites* sp. indet.; белемниты *Cylindroteuthis porrecta* (Phill.), *Lagonibelus magnificus* (Orb.), двусторчатые моллюски *Buchia rugosa* (Fisch.), *B. mosquensis* (Buch), *Ostrea plastica* Trd. и др. Среди фораминифер установлены *Lenticulina ornatissima* (Furss. et Pol.), *L. infravolgaensis* (Furss. et Pol.), *L. undorica* K. Kuzn., *L. ex gr. muensteri* (Roem.), *L. dofleini* (Kasanz.), *Ammobaculites infravolgensis* Mjatl., *A. verus* Dain, *Kutsevella haplophragmoides* (Furss. et Pol.), *K. extensus* Dain, *Haplophragmoides volgensis* Mjatl., *Haplophragmium subaequalis* (Mjatl.), *H. disseptus* (E. Byk.), *Gaudryinella decurvata* Dain, *Spiroplectammina vicinalis* Dain, *Flabellammina jurassica* Mjatl., *Astacolus obliteratus* (Furss. et Pol.), *Marginulinopsis embaensis* (Furss. et Pol.), *Saracenaria pravoslavlevi* Furss. et Pol., *S. kasenzevi* (Furss. et Pol.), *Heglundina praereticulata* (Mjatl.), *Mironovella gemina* Dain, *Pseudolamarckina polonica* (Biel. et Pos.) и др. Мощность составляет 2,4 м. Переход к вышележащим породам постепенный.

3. Глина темно-серая известковистая, алевритистая, с ходами роющих организмов, с аммонитами *Zaraiskites scythicus* (Vischn.), *Z. cf. apertus* (Vischn.), *Dorsoplanites cf. dorsoplatus* (Vischn.), *D. cf. panderi* (Orb.), гастроподами *Berlieria maeotis* (Eichw.), двусторчатыми моллюсками *Oxytoma inaequivallis* (Sow.), *Buchia mosquensis* (Buch.). Из фораминифер встречены: *Glomospirella porcellania* (Furss. et Pol.), *Ammodiscus giganteus* Mjatl., *Ammobaculitos infravolgensis* Mjatl., *Am. fontinensis* (Terquem), *Kuntsevella haplophragmoides* (Furss. et Pol.), *K. extensus* (Dain), *Haplophragmium disseptus* (E. Byk.), *Gaudryinella decurvata* Dain, *Spiroplectammina vicinalis* Dain, *Karraria electa* Dain, *Lenticulina ornatissima* (Furss. et Pol.), *L. infravolgaensis* (Furss. et Pol.), *L. undorica* K. Kuzn., *L. ex gr. muensteri* (Roem.), *L.*

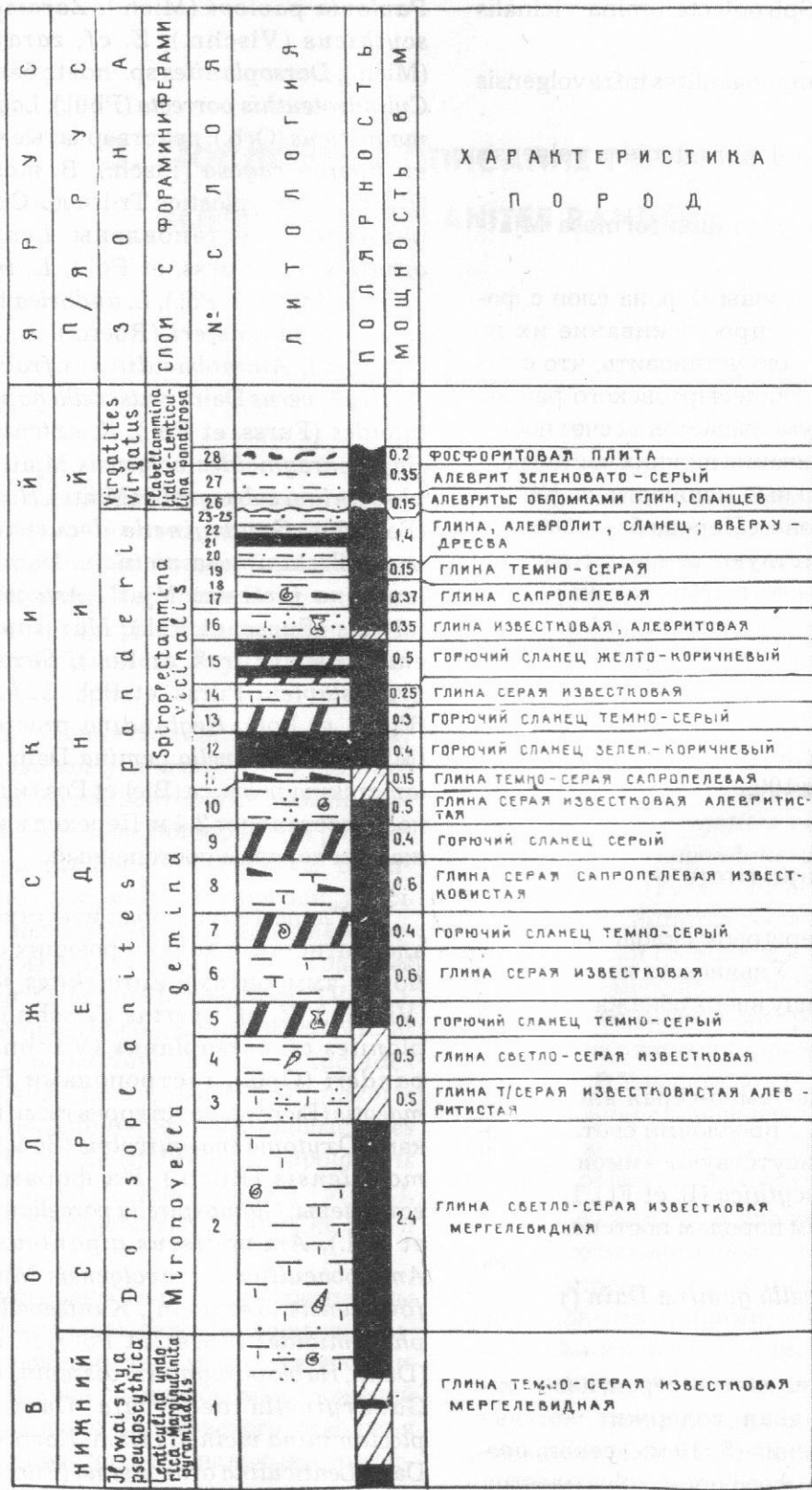
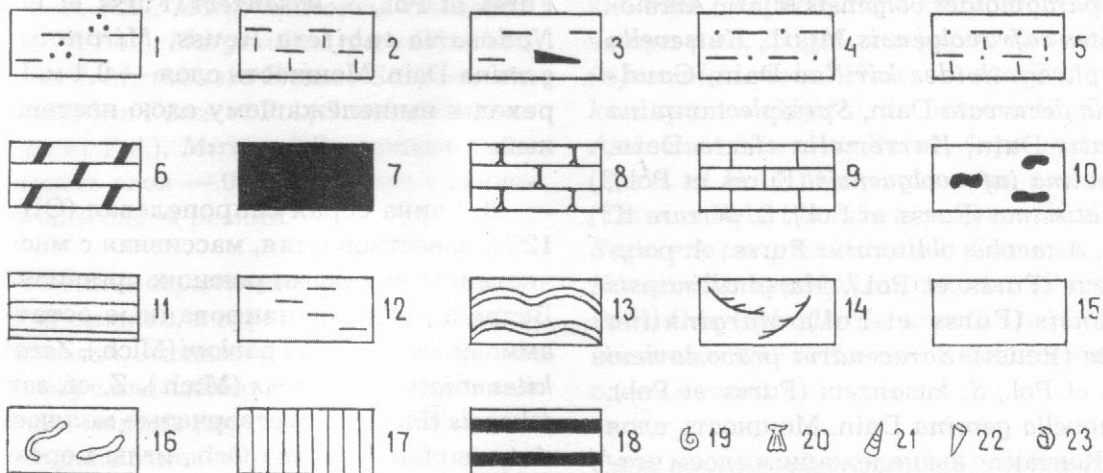


Рис. 1 а. Разрез отложений зоны *Dorsoplanites panderi* волжского яруса верхней юры (район д. Городище).



Условные обозначения к рис. 1 а, 2: Литология: 1 — глины алевритовые; 2 — глины известковые; 3 — глины сапропелевые; 4 — алевролиты глинистые; 5 — алевролиты глинисто-известковые; 6 — горючие сланцы низкокалорийные; 7 — горючие сланцы высококалорийные; 8 — песчаники разнозернистые; 9 — известняки мелкокристаллические; включения: 10 — фосфориты желваковые; текстура: 11 — горизонтальнослоистая; 12 — неясно горизонтальнослоистая; 13 — пологоволнистая; 14 — мелкая косослоистая; 15 — массивная; 16 — ходы роющих организмов; магнитозоны: 17 — прямой полярности; 18 — обратной полярности; фауна: 19 — аммониты; 20 — двустворчатые моллюски; 21 — брюхоногие моллюски; 22 — белемниты; 23 — брахиоподы.

rozanovi K. Kuzn., *Astacolus oblitteratus* Furss., *Marginulinopsis embaensis* (Furss. et Pol.), *Planularia marie* K. Kuzn., *Saracenaria pravoslavlevi* Furss. et Pol., *S. kasanzevi* (Furss. et Pol.), *Marginulinita kasachstanica* (Kasanz.), *Globulina circumfena* Dain, *Mironovella gemina* Dain, *Tristix suprajurassica* Paols. Мощность составляет 0,5 м.

4. Глина светло-серая, известковая, плотная, массивная, мергелевидная. Присутствуют аммониты *Zaraiskites* sp. indet., двустворчатые моллюски *Phacoides fischerianus* (Orb.), *Oxytoma inaequivalvis* (Sow.), морские ежи *Rabdochdaris spinigera* (Rouill.), скафоподы *Dentalium cf. pellati* Lor. Фораминиферы многочисленны и разнообразны: *Glomospirella porcellania* (Furss. et Pol.), *Ammodiscus giganteus* Mjatl., *Ammobaculites infravolgensis* Mjatl., *Am. fontinensis* (Terquem), *Kuntsevella haplophragmoides* (Furss. et Pol.), *K. extensus* (Dain), *Haplophragmium subaequalis* (Mjatl.), *H. disseptus* (E. Byk.), *Gaudryinella*

decurvata Dain, *Spiroplectammina vicinalis* Dain, *Lenticulina ornatissima* (Furss. et Pol.), *L. infravolgaensis* (Furss. et Pol.), *L. undorica* K. Kuzn., *L. dofleini* (Kasanz.), *L. ex gr. muensteri* (Roem.), *L. rozanovi* K. Kuzn., *Astacolus oblitteratus* Furss., *Marginulinopsis embaensis* (Furss. et Pol.), *Marginulina robusta* (Reuss), *M. pseudolinnearis* K. Kuzn., *Saracenaria pravoslavlevi* Furss. et Pol., *S. kasanzevi* (Furss. et Pol.), *Mironovella gemina* Dain, *Tristix temirica* (Dain), *T. suprajurassica* Paalz. Мощность слоя 0,5 м. Переход к вышезначенному слою постепенный, выражен потемнением окраски за счет увеличения содержания ОВ.

5. Горючий сланец темно-серый с коричневым оттенком, низкокалорийный, известковисто-глинистый, неясно и линзовиднослоистый, с уплощенными ходами роющих организмов. Среди моллюсков определены: *Entolium erraticum* (Fieb.), *Oxytoma inaequivalvis* (Sow.), *Phacoides fischerianus* (Orb.); из фораминифер —

Haplophragmoides volgensis Mjatl., *Ammobaculites infravolgensis* Mjatl., *Kutsevella haplophragmiooides kirillae* Dain, *Gaudryinella decurvata* Dain, *Spiroplectammina vicinalis* Dain, *Karreriella electa* Dain, *Lenticulina infravolgaensis* (Furss. et Pol.), *L. ornatissima* (Furss. et Pol.), *L. perrara* K. Kuzn., *Astacolus obliteratus* Furss., *A. polyhimneus* (Furss. et Pol.), *Marginulinopsis embaensis* (Furss. et Pol.), *Marginulina robusta* (Reuss), *Saracenaria pravoslavlevi* Furss. et Pol., *S. kasanzevi* (Furss. et Pol.), *Mironovella gemina* Dain. Мощность слоя 0,4 м. Контакт с вышележащим слоем четкий.

6. Глина серая, известковая, вверху — темно-серая с ОВ, с ходами роющих организмов. Присутствуют фораминиферы *Mironovella gemina* Dain (в массовом количестве), *Ammobaculites verus* Dain, *A. infravolgensis* Mjatl., *Kutsevella haplophragmiooides* (Furss. et Pol.), *K. extentus* (Dain), *Gaudryinella decurvata* Dain, *Spiroplectammina vicinalis* Dain, *Lenticulina infravolgaensis* (Furss. et Pol.), *L. perrara* K. Kuzn., *L. rosanovi* K. Kuzn., *L. biexcavata* (Mjatl.), *Astacolus obliteratus* Furss., *Marginulinopsis embaensis* (Furss. et Pol.), *Marginulina robusta* (Reuss), *M. pseudolinearis* K. Kuzn. и др. Мощность слоя 0,6 м. Переход к вышележащему слою довольно резкий.

7. Горючий сланец темно-серый, прослойми коричневато-серый, низкокалорийный, глинисто-известковистый с листоватой отдельностью, содержит мелкие уплощенные ходы роющих организмов, отпечатки и раковины мелких двустворчатых моллюсков. Среди фораминифер установлены *Glomospirella porcellania* (Furss. et Pol.), *Haplophragmoides volgensis* Mjatl., *Kutzevella haplophragmiooides* (Furss. et Pol.), *K. extentus* (Dain), *Gaudryinella decurvata* Dain, *Lenticulina infravolgaensis*, *L. perrara* K. Kuzn., *L. rosanovi* K. Kuzn., *Astacolus obliteratus* Furss., *Marginulinopsis embaensis* (Furss. et Pol.), *Marginulina robusta* (Reuss), *Saracenaria pravoclavlevi*

Furss. et Pol., *S. kasanzevi* (Furss. et Pol.), *Nodosaria tubifera* Reuss, *Mironovella gemina* Dain. Мощность слоя — 0,4 м. Переход к вышележащему слою постепенный.

8. Глина серая сапропелевая (ОВ до 12%), известковистая, массивная с многочисленными ходами роющих организмов. Встречены пиритизированные остатки аммонитов: *Pavlovia pavlovi* (Mich.), *Zaraiskites miatschkoviensis* (Mich.), *Z. cf. zaraiskensis* (Mich.); двустворчатые моллюски *Astarte cf. duboisiana* Orb., иглы морских ежей. Комплекс фораминифер разнообразный: *Ammodiscus giganteus* Mjatl., *Haplophragmoides volgensis* Mjatl., *Ammobaculites infravolgaensis* Mjatl., *Kutsevella extentus* Dain. *K. haplophragmiooides* (Furss. et Pol.), *Haplophragmium disseptus* (E. Byk.), *Verneuilinoides kirillae* Dain, *Gaudryinella decurvata* Dain, *Karreriella electa* Dain, *Spiroplectammina vicinalis* Dain, *Lenticulina infravolgaensis* (Furss. et Pol.), *L. biexcavata* (Mjatl.), *L. kaschpurica* (Mjatl.), *L. perrara* K. Kuzn., *Astacolus obliteratus* Furss., *A. polyhimneus* (Furss. et Pol.), *Marginulinopsis embaensis* (Furss. et Pol.), *Marginulina pseudolinearis* K. Kuzn., *Saracenaria pravoslavlevi* Furss. et Pol., *Mironovella gemina* Dain. Мощность слоя 0,6 м. Контакт с вышележащим слоем четкий.

9. Горючий сланец серый, прослойми темно-серый, низкокалорийный, глинисто-известковистый алевритистый. Присутствуют многочисленные отпечатки аммонитов *Zaraiskites scythicus* (Vischn.), *Z. pilicensis* (Mich.). Очень много гастропод *Berlieria maeotis* (Eichw.). Комплекс фораминифер включает *Haplophragmoides volgensis* Mjatl., *Kutzevella haplophragmiooides* (Furss. et Pol.), *K. extentus* (Dain), *Gaudryinella decurvata* Dain, *Karreriella electa* Dain, *Spiroplectammina vicinalis* Dain, *Lenticulina perrar* K. Kuzn., *L. kaschpurica* (Mjatl.), *L. biexcavata* (Mjatl.), *Astacolus obliteratus* Furss., *A. polyhimneus*

(Furss. et Pol.), *Marginulinopsis embaensis* (Furss. et Pol.), *Marginulina pseudolinearis* K. Kuzn., *M. robusta* Reuss, *Saracenaria pravoslavlevi* Furss. et Pol., *S. mirabilissima* (Furss. et Pol.), *Mironovella gemina* Dain. Мощность слоя — 0,4 м. Контакт с вышележащим слоем резкий.

10. Глина серая известковая алевритистая массивная, в верхней части слоя более светлая, с ходами роющих организмов. По всему слою наблюдаются разрушенные остатки мелких двустворчатых моллюсков, редкие отпечатки аммонитов, ростры белемнитов. Определены *Dorsoplanites* sp. indet., *Cylindroteuthis* (*Lagonibelus*) *parvula* Gust., *Pachyteuthis* cf. *russiensis* (Orb.), *Dentalima* sp. indet., *Phacoides* cf. *fischerianus* (Orb.), *Lingulina demissa* Ger. Комплекс фораминифер: *Ammodiscus giganteus* Mjatl., *Haplophragmoides volgensis* Mjatl., *Ammodisculites fontinensis* (Terquem), *Kutsevella haplophragmoides* (Furss. et Pol.), *K. extentus* (Dain), *Gaudryinella decurvata* Dain, *Spiroplectammina vicinalis* Dain, *Lenticulina infravolgaensis* (Furss. et Pol.), *L. kaschpurica* (Mjatl.), *L. perrara* K. Kuzn., *L. bella* K. Kuzn., *Astacolus oblitteratus* Furss., *A. polyhimneus* (Furss. et Pol.), *Marginulinopsis embaensis* (Furss. et Pol.), *Planularia poljenovi* K. Kuzn., *P. multicostata* K. Kuzn., *Marginulina robusta* Reuss, *M. striatocostata* Reuss, *M. pseudolinnearis* K. Kuzn., *Saracenaria pravoslavlevi* Furss. et Pol., *S. mirabilissima* (Furss. et Pol.), *Mironovella gemina* Dain и др. Мощность слоя — 0,5 м. Переход к вышележащему слою постепенный.

11. Глина темно-серая сапропелевая известковистая линзовидно-слоистая до листоватой с многочисленными отпечатками и остатками фауны. Присутствуют аммониты — *Zaraiskites* cf. *michelstii* Mitta, *Z. cf. quenstedti* (Rouill. et Vos.), *Z. cf. miatschkoviensis* (Vischn.); двустворчатые моллюски: *Oxytoma inaequivalvis* (Sow.), *Inoceramus* sp. indet., *Astarte* sp. indet., *Ostrea* sp. indet., *Entolium* sp. indet., морс-

кие ежи *Rhabdocydaris spinigera* (Rouill.), чешуя рыб, фораминиферы: *Lenticulina infravolgaensis* (Furss. et Pol.), *L. kaschpurica* (Mjatl.), *L. perrara* K. Kuzn., *Astacolus oblitteratus* Furss., *A. polyhimneus* (Furss. et Pol.), *Marginulinopsis embaensis* (Furss. et Pol.), *Planularia poljenovi* K. Kuzn., *Saracenaria pravoslavlevi* Furss. et Pol., *Kutsevella haplophragmoides* (Furss. et Pol.), *Gaudryinella decurvata* Dain. Мощность слоя 0,15 м. Контакт с вышележащим слоем четкий.

Слои со Spiroplectammina vicinalis Dain (сл. 12–25)

$J_3 v_2^P$ 12. Горючий сланец зеленовато-коричнево-серый известковистый, высококалорийный, линзовидно-слоистый с листоватой отдельностью. На плоскостях напластования наблюдаются отпечатки растений, отпечатки и остатки фауны аммонитов *Zaraiskites quenstedti* (Rouill. et Vos.), *Z. michelstii* Mitta, *Z. miatschkoviensis* (Vischn.) и двустворчатых моллюсков *Astarte duboisiana* Orb., *Oxytoma inaequivalvis* (Sow.), *Inoceramus* sp. indet. Ассоциация фораминифер: *Lenticulina infravolgaensis* (Furss. et Pol.) (масса), *L. perrara* K. Kuzn., *L. kaschpurica* (Mjatl.), *Astacolus* sp. indet., *Marginulinopsis embaensis* (Furss. et Pol.), *Planularia poljenovi* K. Kuzn., *Marginulina robusta* Reuss, *M. striatocostata* Reuss, *M. pseudolinnearis* K. Kuzn., *Nodosaria tubifera* Reuss, *Hæglundina ex gr. praereticulata* (Mjatl.). Мощность слоя — 0,4 м. Переход к вышележащему слою постепенный.

13. Горючий сланец темно-серый с коричневатым оттенком, низкокалорийный известковый массивный и неяснослоистый, с ходами роющих организмов. Остатки макрофaуны редки. Среди фораминифер присутствуют *Lenticulina kaschpurica* (Mjatl.), *L. infravolgaensis* (Furss. et Pol.), *L. perrara* K. Kuzn., *L. bella* K. Kuzn., *Astacolus oblitteratus* Furss., *A. polyhimneus* (Furss. et

Pol.), *Marginulina robusta* Reuss, *Marginulinopsis embaensis* (Furss. et Pol.), *Saracenaria pravoslavlevi* Furss. et Pol., *S. mirabilissima* (Furss. et Pol.), *Hxeglundina* sp. indet. Мощность слоя — 0,3 м. Контакт с вышележащим слоем резкий.

14. Глина серая известковая массивная, присутствуют белемниты: *Cylindroteuthis* (*Lagonibelus*) *submagnifica* Gust., *Pachytheuthis* (?) *gorodischensis* Gust.; аммониты *Dorsoplanites* sp. indet., *Zaraiskites* sp. indet., двустворчатые моллюски *Entolium erraticum* (Fieb.), *Oxytoma inaequivalvis* (Sow.), *Phacoides fischerianus* (Orb.), *Astarte tnevnikensis* (Orb.), *Buchia* sp. indet. Среди фораминифер определены: *Lenticulina rozanovi* K. Kuzn., *L. infravolgaensis* (Furss. et Pol.), *L. perrara* K. Kuzn., *L. biexcavata* (Mjatl.), *Astacolus oblitteratus* Furss., *A. polyhimneus* (Furss. et Pol.), *Marginulina embaensis* (Furss. et Pol.), *Planularia poljenovi* K. Kuzn., *Marginulina robusta* Reuss, *Tristix temirica* Dain, *Kutsevella haplophragmioidea* (Furss. et Pol.). Мощность слоя — 0,3 м. Переход к вышележащему слою постепенный, связан с увеличением содержания ОВ.

15. Горючий сланец темно-коричневый высококалорийный, известковистый, линзовидно-слоистый, с прослойками низкокалорийного коричневато-серого сланца, известкового, более плотного и массивного. Наблюдаются ходы роющих организмов, большое количество остатков фауны: двустворчатых моллюсков *Phacoides fischerianus* (Orb.), *Buchia mosquensis* (Buch), *Oxytoma inaequivalvis* (Sow.), гастропод *Berlieria maeotis* (Eichw.), косточки рыб. Установлены фораминиферы: *Saracenaria pravoslavlevi* Furss. et Pol., *Lenticulina infravolgaensis* (Furss. et Pol.), *L. kaschpurica* (Mjatl.), *L. biexcavata* (Mjatl.), *L. perrara* K. Kuzn., *L. bella* K. Kuzn., *Marginulinopsis embaensis* (Furss. et Pol.), *Astacolus oblitteratus* Furss., *A. polyhimneus* (Furss. et Pol.), *Tristix temirica* Dain, *Citharina raricostata* (Furss. et Pol.). Мощность

слоя — 0,5 м. Граница с вышележащим слоем резкая.

16. Глина желтовато-серая, известковая, алевритовая. В комплексе фораминифер определены *Lenticulina infravolgaensis* (Furss. et Pol.), *L. perrara* K. Kuzn., *L. rozanovi*, *L. biexcavata* (Mjatl.), *Planularia poljenovi* K. Kuzn., *Marginulinopsis embaensis* (Furss. et Pol.), *Marginulina robusta* Reuss, *Saracenaria pravoslavlevi* Furss. et Pol. и др. Мощность слоя — 0,35 м. Переход к вышележащему слою резкий.

17. Глина зеленовато-бурая, сапропелевая, пятнами коричневато-бурая, серовато-коричневая и светло-коричневая, линзовидно-слоистая, неравномерно известковистая, прослойями бескарбонатная, алевритовая. На плоскостях напластования наблюдаются ходы роющих организмов. Определены фораминиферы *Lenticulina infravolgaensis* (Furss. et Pol.), *L. pseudocrassa* Dain, *Astacolus oblitteratus* Furss., *A. polyhimneus* (Furss. et Pol.), *Marginulinopsis embaensis* (Furss. et Pol.), *Planularia striatocostata* Reuss, *P. poljenovi* K. Kuzn., *Marginulina robusta* Reuss, *M. poljenovi* K. Kuzn., *Saracenaria pravoslavlevi* Furss. et Pol., *S. mirabilissima* (Furss. et Pol.), *Nodosaria tubifera* Reuss и др. Мощность слоя — 0,37 м. Переход к вышележащему слою постепенный.

18. Глина темно-серая, пятнами коричнево-серая. Определены аммониты *Dorsoplanites* sp. indet.; белемниты *Pachytheuthis* (?) *gorodischensis* Gust., *Gylindroteuthis* (*Lagonibelus*) *magnifica* (Orb.), (C.) (L.) *submagifica* Gust., двустворчатые моллюски *Buchia mosquensis* (Buch), *Entolium demissum* (Phill.) E. (?) cf. *erraticum* (Fieb.). Мощность слоя — 0,15 м. Переход к вышележащему слою постепенный, но с появлением признаков выветривания пород.

19. Глина буро-коричневая до светло-коричневой сапропелевая выветрелая (похожа на бурый уголь), бескарбонатная, не-

яснослоистая, листоватая, с остатками мелких раковин. Определены: *Phacoides fischerianus* (Orb.), *Oxytoma inaequivalvis* (Sow.), *Entolium erraticum* (Fieb.). Мощность слоя — 0,07 м. Переход к вышележащему слою постепенный.

20. Алевролит светло-коричневый, выветрелый-бурый. Содержит остатки моллюсков: *Pavlovia cf. pavlovi* (Mich.), *Cilindroteuthis (Lagonibelus) magnifica* (Orb.), *Phacoides fischerianus* (Orb.), *Oxytoma inaequivalvis* (Sow.), *Buchia cf. mosquensis* (Buch), *Inoceramus* sp. indet. Мощность слоя — 0,17 м. Контакт с вышележащим слоем резкий.

21. Горючий сланец коричневато-бурый, прослойми — палевый и ржаво-бурый, тонкослоистый с плитчатой отдельностью высококалорийный. Содержит остатки и отпечатки растений, в том числе травянистых. Определены аммониты *Zaraiskites zarajskensis* (Mich.), Z. sp. indet.; брахиоподы *Lingula demissa* Ger. Мощность слоя — 0,15 м. Контакт с вышележащими, интенсивно выветрелыми породами четкий.

22. Глина пестроцветная, слоистая (с чередованием линзочек коричневого, серо-коричневого и ржаво-бурового цвета), выветрелая. Мощность слоя — 0,1 м. Переход к вышележащему слою постепенный.

23. Глина пестроцветная, от серо- и желтовато-коричневого до коричнево-бурового цвета, сланцеватая, сапропелевая. Мощность слоя — 0,05 м. Переход к вышележащему слою постепенный.

24. Алевритоподобная порода бежевого и светло-коричневого цвета, интенсивно измененная. Мощность слоя — 0,03 м.

25. Дресва горючих сланцев мелко-песчаной размерности светло-зеленоватая и табачно-зеленая. Мощность слоя — 0,5 м.

В слоях 23, 24, 25 определены аммони-

ты: *Dorsoplanites cf. panderi* (Orb.), *D. cf. dorsoplanus* (Vischn.), *Pavlovia cf. pavlovi* (Mich.); двустворчатые моллюски *Phacoides fischerianus* (Orb.). Контакт с выше-лежащими отложениями, не содержащими сапропелевого материала, резкий.

$J_3 v_2^v$ 26. Алеврит зеленовато-желтый, крупнозернистый, неясно-горизонтально-слоистый с обломками подстилающих пород (глин, горючих сланцев). Мощность слоя — 0,15 м.

27. Алеврит крупнозернистый зелено-вато- и серовато-желтый, неясно горизонтально-слоистый. Мощность слоя — 0,35 м.

28. Фосфоритовая плита, сложенная желваковыми образованиями и псевдоморфозами фосфатов по фауне, песчаным материалом, переотложенными фосфатизированными обломками аммонитов, белемнитов, двустворчатых моллюсков. Мощность слоя — 0,2 м.

Разрез скважины 559

Скважина расположена в 8 км к северо-западу от центральной усадьбы совхоза Глушицкий (район г. Перелюб Саратовской области) (рис. 2). В связи с тем, что отбор керна скважины 559 проводился непосредственно в ходе бурения, нумерация слоев осуществлялась сверху вниз. При дальнейшем послойном описании сланцевносной толщи (снизу вверх) исходная нумерация слоев для удобства была сохранена. Снизу вверх вскрыты следующие слои.

$J_2 b$ 51. Интервал 164,3–167,0 м

Песчаник голубовато-зеленый, среднезернистый, с редкими прослойми глин, мелкозернистых и крупнозернистых алевритов. Зеленоватый оттенок пород обусловлен присутствием глауконита. Цементация слабая. Органических остатков не найдено. Видимая мощность слоя — 2,7 м.

Граница с вышележащими породами неровная, резкая.

Слои со *Spiroplectammina vicinalis* Dain (рис. 2, сл. 50–23)

J₃V₂P₁ 50. Интервал 164,2–164,3 м

Фосфоритовый горизонт. Представлен песчаником глауконитовым зеленовато-серым с мелкими желваками фосфоритов и стяжениями пирита неправильной формы. Песчаный материал крупно- и среднезернистый. Цемент карбонатно-фосфатный. Мощность слоя — 0,1 м. Контакт с вышележащим слоем резкий, четкий.

49. Интервал 163,1–164,2 м

Глина темно-серая, более тонкая по составу, по сравнению с предыдущим слоем, сапропелевая (ОВ — 9–11%), известковистая, пронизанная ходами донных роющих организмов, заполненными зеленово-серым, светло-серым и темно-серым алевритовым и реже песчаным материалом с глауконитом. В нижней части слоя глина относительно более светлая, известковистая, с меньшим количеством ОВ (7%), сильно обогащена песчаными частицами, на сколах проявляется «ленточная» слоистость. Содержит раковины гастропод *Berlieria maeotis* (Eichw.), двустворчатых моллюсков *Buchia* sp. indet. Фораминиферы: *Saracenaria kasanzevi* Furss. et Pol., *S. pravoslavlevi* Furss. et Pol., *Astacolus obliteratus* Furss., *Spiroplectammina vicinalis* Dain, *Gaudryinella decurvata* Dain, *Ammobaculites infravolgaensis* Mjatl., *Kutsevella extensus* Dain, *Haplophragmoides volgensis* Mjatl и др. Мощность слоя — 1,1 м. Контакт с вышележащим слоем четкий.

48. Интервал 162,3–163,1 м

Глина серая, известковая, массивная, пронизанная многочисленными ходами донных роющих организмов, заполненными светло-серым, темно-серым и зеленовато-серым алевритовым и песчаным ма-

териалом с глауконитом. Наблюдаются обособления пирита, линзы песчаного материала. Ходы роющих организмов достигают в поперечнике 2 см, приурочены к прослойям тонкого материала. Встречен ростр белемнита *Lagonibelus cf. magnifica* (Orb.) и многочисленные фораминиферы: *Reophax* sp. indet., *Ammodiscus giganteus* Mjatl., *Am. infravolgaensis* Mjatl., *Kutsevella haplophragmoides* (Furss. et Pol.), *Spiroplectammina vicinalis* Dain, *Gaudryinella decurvata* Dain, *Saracenaria pravoslavlevi* Furss. et Pol., *Lenticulina infravolgensis* (Furss. et Pol.), *L. rozanovi* K. Kuzn., *L. kaschpurica* (Mjatl.) и др. Мощность слоя — 0,8 м. Контакт с вышележащим слоем ровный, четкий.

47. Интервал 162,0–162,3 м

Горючий сланец в нижней части темно-серый низкокалорийный (ОВ — 10%), выше серо-коричневый высококалорийный (ОВ — 30%), тонко-горизонтально-слоистый, известковистый, легкий. Слоистость подчеркивается наличием частых присыпок алевро-песчаного материала, содержащего глауконит, и ходов донных роющих организмов на плоскостях напластования. Изредка встречается чешуя рыб. Мощность слоя — 0,3 м. Переход к вышележащему слою постепенный.

46. Интервал 159,7–162,0 м

Глина светло-серая слоистая, прослойями зеленоватая, сапропелевая (ОВ — 7–9%) с линзами и прослойями известковистой и алевритистой глины. Редкие слойки содержат уплощенные ходы донных роющих организмов, заполненные песчаным материалом. Наблюдаются раковины двустворчатых моллюсков *Buchia* cf. *mosquensis* (Pavl.), *Oxytoma inaequivalvis* (Sow.), брахиопод — *Rhynchonella* cf. *rouillieri uljanovski* Macr., сколекодонты. Участками раковины двустворчатых моллюсков образуют скопления. Наблюдаются также костные остатки и чешуя рыб. Фораминиферы представлены формами: *Lenticulina*

Рис. 2. Разрез отложений зоны *Dorsoplanites panderi* волжского яруса верхней юры (скв. 559, район г. Перелюба).

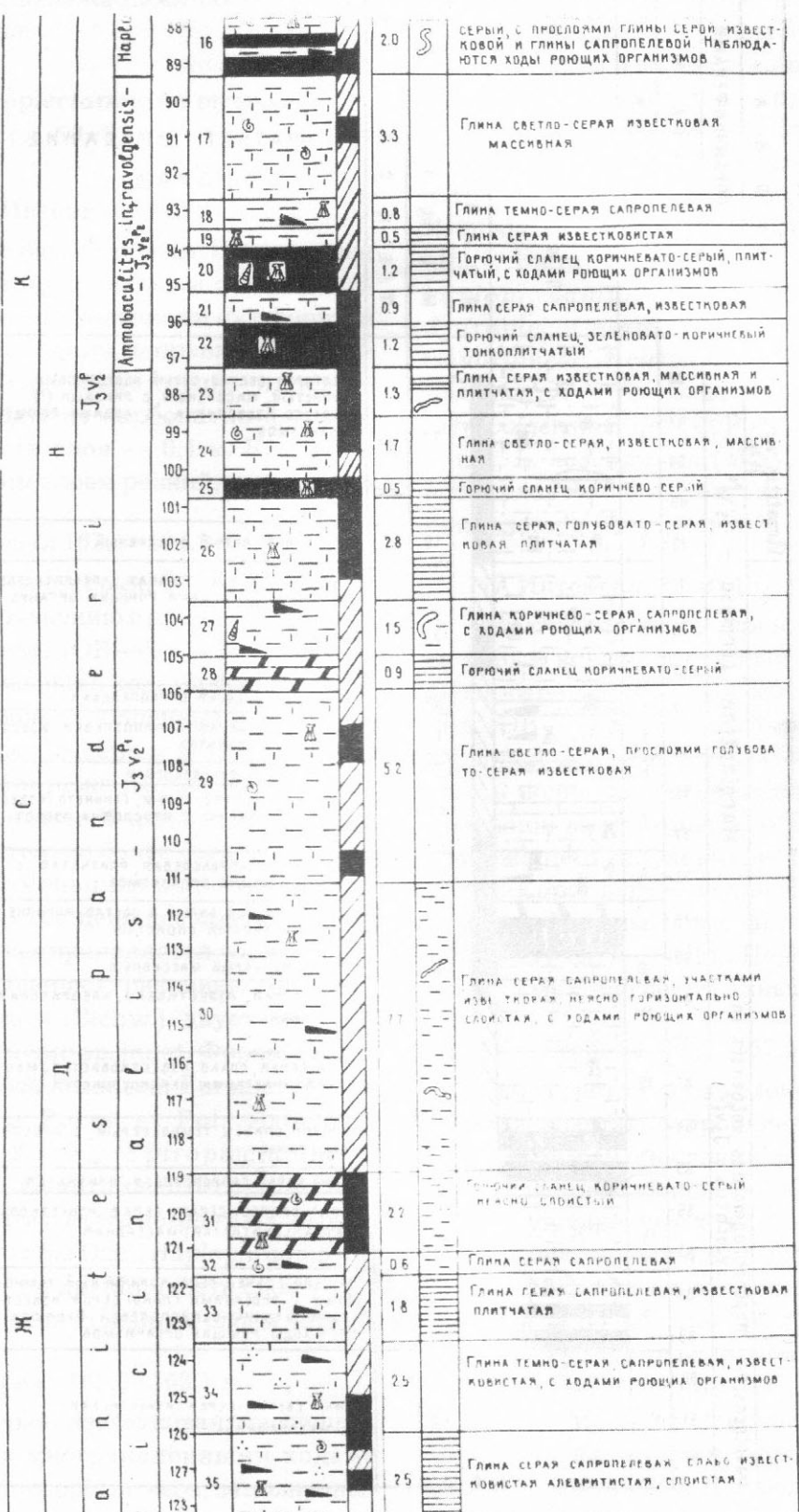


Рис. 2. (продолжение).

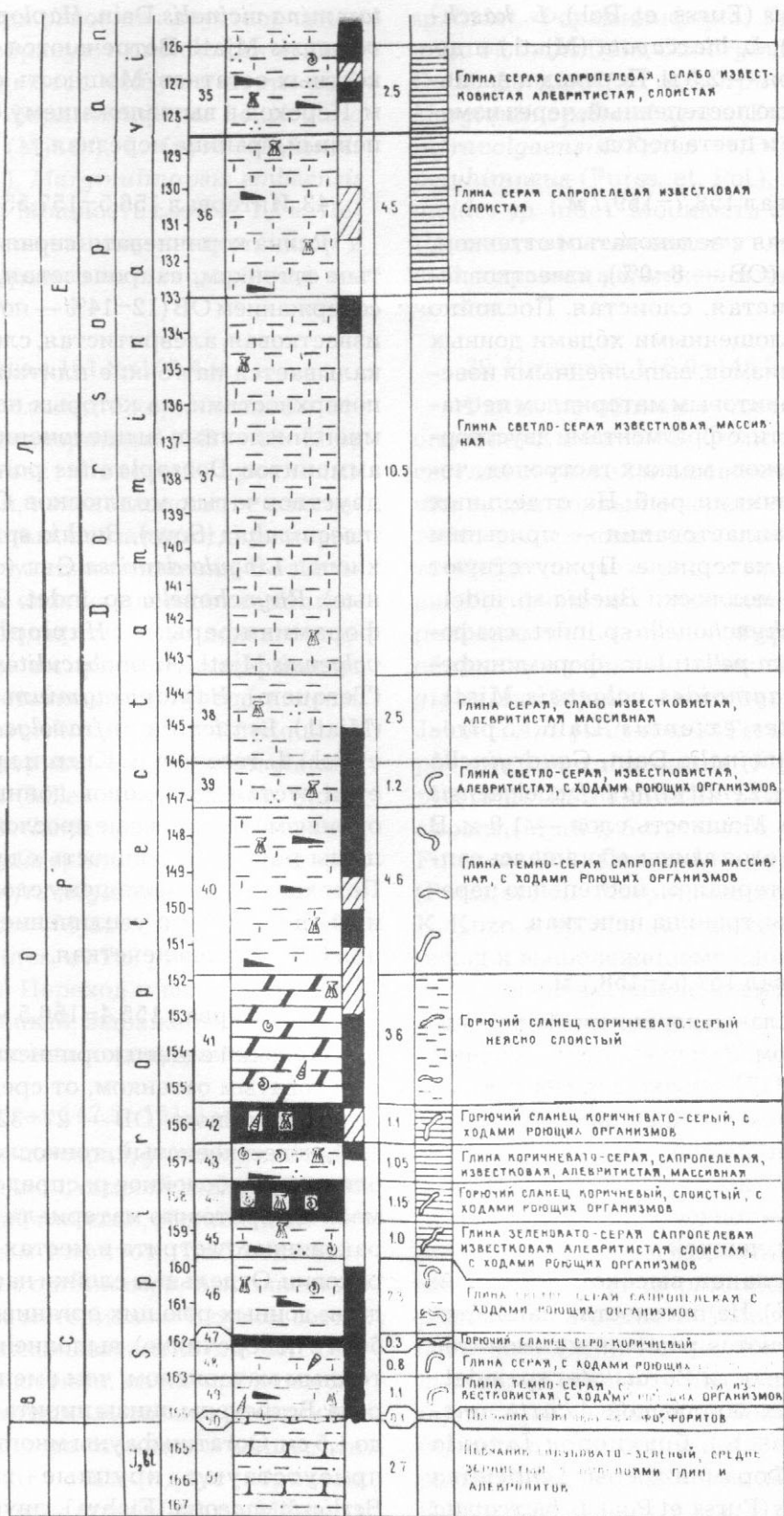


Рис. 2. (окончание).

infravolgaensis (Furss. et Pol.), *L. kaschpurica* (Mjatl.), *L. biexcavata* (Mjatl.) и др. Мощность слоя — 2,3 м. Переход к вышележащему слою постепенный, через изменение состава и цвета пород.

45. Интервал 158,7–159,7 м

Глина серая с зеленоватым оттенком, сапропелевая (ОВ — 8–9%), известковистая, алевритистая, слоистая. Послойно пронизана уплощенными ходами донных роющих организмов, выполненными известково-глауконитовым материалом песчаной размерности, с фрагментами двустворчатых моллюсков, мелких гастропод, чешуей и косточками рыб. На отдельных плоскостях напластования — присыпки алевритового материала. Присутствуют двустворчатые моллюски *Buchia* sp. indet., брахиоподы *Rhynchonella* sp. indet., скафоподы *Dentalium pellati* Lor., фораминиферы *Haplophragmoides volgensis* Mjatl., *Ammobaculites extentus* Dain, *Spiroplectammina vicinalis* Dain, *Gaudryinella decurvata* Dain, *Lenticulina infravolgaensis* (Furss. et Pol.). Мощность слоя — 1,0 м. В верхней части слоя глины, обогащаясь сапропелевым материалом, постепенно переходят в сланцы, граница нечеткая.

44. Интервал 157,55–158,7 м

Горючий сланец коричневый с красноватым оттенком. Внизу — низкокалорийный (ОВ — 15–17%), тонко-горизонтально-слоистый, с прослойками алевропелитового материала и приуроченными к ним ходами донных роющих организмов, с полурастровившимися тонкостенными раковинами двустворок, чешуей рыб. В верхней части горючий сланец высококалорийный (ОВ — 30–49%). На плоскостях напластования наблюдаются раковины аммонитов плохой сохранности *Zaraiskites* sp. indet., двустворчатых моллюсков *Astarte tnevnikesis* (Milasch.), брахиопод *Lingula demissa* Ger. Фораминиферы: *Lenticulina infravolgaensis* (Furss. et Pol.), *L. biexcavata* (Mjatl.), *L. kaschpurica* (Mjatl.), *Spiroplec-*

tammina vicinalis Dain, *Haplophragmoides volgensis* Mjatl. Встречаются фрагменты костных остатков. Мощность слоя — 1,15 м. Переход к вышележащему слою постепенный, граница нерезкая.

43. Интервал 156,5–157,55 м

Глина коричневато-серая с зеленоватым оттенком, сапропелевая, с высоким содержанием ОВ (12–14% — почти сланец), известковая, алевритистая, слоистая. Раскалывается на тонкие плитки с ровными поверхностями, на которых наблюдаются многочисленные выщелоченные остатки аммонитов *Dorsoplanites panderi* (Orb.); двустворчатых моллюсков *Oxytoma cf. inaequivalvis* (Sow.), *Buchia* sp. indet.; брахиопод *Lingula demissa* Ger. (очень крупные), *Rhynchonella* sp. indet. Определены фораминиферы: *Haplophragmoides volgensis* Mjatl., *Ammobaculites fontinensis* (Terquem), *Haplophragmium subaequalis* (Mjatl.), *Lenticulina infravolgaensis* (Furss. et Pol.), *L. rozanovi* K. Kuzn. и др. Наблюдается густая сеть ходов донных роющих организмов. Отдельные прослои глин насыщены пиритом. Мощность слоя — 1,05 м. Переход к вышележащему слою постепенный, связанный с увеличением содержания ОВ, граница нечеткая.

42. Интервал 155,4–156,5 м

Горючий сланец коричневато-серый с зеленоватым оттенком, от средне- до высококалорийного (ОВ — 27–32%), глинистый, известковистый, тонкослоистый. Наблюдается послойное распределение примеси алевритового материала и присыпок раковинного детрита в местах отпечатков раковин. Отдельные слойки насыщены ходами донных роющих организмов (от 1 до 5 мм в поперечнике), выполненными более темным материалом, чем вмещающая порода. Встречены линзы пирита мощностью до 1,5 см. Остатки фауны многочислены — присутствуют крупные гастроподы *Berlieria maeotis* (Eichw.), двустворчатые моллюски *Parallelodon cf. productum*

(Rouill.). Иногда раковины двустворчатых моллюсков образуют скопления в виде линз, наблюдаются чешуя и кости рыб. Определены фораминиферы *Lenticulina kaschpurica* (Mjatl.), *L. infravolgaensis* (Furss. et Pol.), *Marginulinopsis embaensis* (Furss. et Pol.). Мощность слоя — 1,1 м. Переход к вышележащему слою по цвету и литологии выражен нечетко, граница нерезкая.

41. Интервал 151,8–155,4 м

Горючий сланец с коричневатым оттенком, низкокалорийный (ОВ — 15–21%), глинисто-известковистый, прослоями алевритистый, неяснослоистый с плитчатой отдельностью, с остатками двустворок, нередко образующих скопления. В отдельных участках слоя на плоскостях напластования наблюдаются ходы донных роющих организмов и присыпки алевритового материала. Остатки фауны представлены: аммониты *Zaraikites quenstedti* (Roull. et Vos.), двустворчатые моллюски *Astarte tnevnikensis* (Milasch.), *Cypria* sp. indet., гастроподы *Berlieria maeotis* (Eichw.), брахиоподы *Lingula* sp. indet. Фораминиферы: *Lenticulina infravolgaensis* (Furss. et Pol.), *L. kaschpurica* (Mjatl.), *Marginulinopsis embaensis* (Furss. et Pol.) и др. Мощность слоя — 3,6 м. Переход к вышележащему слою постепенный, выражается в изменении цвета и состава пород, граница четкая.

40. Интервал 147,2–151,8 м

Глина темно-серая, участками с зеленоватым оттенком, сапропелевая (ОВ — 5–9%), массивная, тяжелая, обогащенная тонкодисперсным пиритом. Наблюдаются ходы роющих организмов, выполненные более темным материалом. В сухом состоянии глина раскалывается на плитки с ровными поверхностями, на которых под лупой различаются мельчайшие блестки пирита и следы раковинного вещества. Присутствуют остатки двустворчатых моллюсков *Astarte tnevnikensis* (Milasch.), *Phacoides fischerianus* (Orb.), *Camptonectes*

sp. indet. Фораминиферы: *Spiroplectammina vicinalis* Dain, *Gaudryinella decurvata* Dain, *Lenticulina kaschpurica* (Mjatl.), *Marginulinopsis embaensis* (Furss. et Pol.), *L. infravolgaensis* (Furss. et Pol.), *Astacolus polyhimneus* (Furss. et Pol.), *Haplophragmoides* sp. indet. Мощность слоя — 4,6 м. Переход к вышележащему слою постепенный, выражен в изменении цвета, граница четкая.

39. Интервал 146,0–146,2 м

Глина по облику и составу подобна описанной в слое 38. Отличается более светлой окраской и наличием едва заметных ходов донных роющих организмов, а также полураковистым изломом. Макроостатки фауны очень редки, присутствуют в виде отпечатков и едва заметных следов раковинного вещества. Фораминиферы обильны и разнообразны: *Ammodiscus giganteus* Mjatl., *Ammobaculites bellus* Jakovl., *Am. fontinensis* (Terquem), *Haplophragmium subaequalis* (Mjatl.), *Spiroplectammina vicinalis* Dain, *Triplasia elegans* (Mjatl.), *Saracenaria pravoslavlevi* Furss. et Pol., *Lenticulina infravolgaensis* (Furss. et Pol.), *Marginulina pseudolinnearis* K. Kuzn. и др. Мощность слоя — 1,2 м. Переход к вышележащему слою выражается постепенным изменением цвета, но граница достаточно четкая.

38. Интервал 143,5–146,0 м

Глина серая, участками с зеленоватым оттенком, слабо известковистая, алевритистая, однородная, массивная, легко раскалывается на плитки (5–30 см) с ровными шероховатыми или гладкими поверхностями. Присутствуют фораминиферы: *Spiroplectammina vicinalis* Dain, *Gaudryinella decurvata* Dain, *Kutsevella haplophragmoides* (Furss. et Pol.), *Ammobaculites infravolgensis* (Furss. et Pol.), *Lenticulina infravolgaensis* (Furss. et Pol.), *L. kaschpurica* (Mjatl.), *Marginulina pseudolinnearis* K. Kuzn. Мощность слоя — 2,5 м. Кверху глина становится более светлой и посте-

пенно переходит в вышележащий слой, граница нерезкая.

37. Интервал 133,0–143,5 м

Глина светло-серая, почти белая, известковая, мергелевидная, однородная, массивная. При высыхании растрескивается на плитки толщиной 20–40 см с ровными или слегка волнистыми поверхностями скола, участками имеет полураковистый излом, послойно обогащена тонкодисперсным пиритом и диффузно рассеянным ОВ. Присутствуют редкие и очень мелкие остатки двустворчатых моллюсков. Фораминиферы представлены формами: *Ammodiscus giganteus* Mjatl., *Haplophragmoides volgensis* Mjatl., *Ammobaculites infravolgensis* Mjatl., *Am. bellus* Jakovl., *Kutsevella extensus* Dain, *Haplophragmium subaequalis* (Mjatl.), *Flabellamina jurassica* Mjatl., *Triplasia elegans* (Mjatl.), *Spiroplectammina vicinalis* Dain, *Gaudryinella decurvata* Dain, *Marginulinopsis embaensis* (Furss. et Pol.), *Lenticulina infravolgaensis* (Furss. et Pol.), *L. kovalevskii* Dain, *Marginulina pseudolinnearis* K. Kuzn., *Saracenaria pravoslavlevi* Furss. et Pol., *S. marabilissima* Furss. et Pol. Мощность слоя — 10,5 м. Переход к вышележащему слою выражен постепенным изменением окраски, граница четкая.

36. Интервал 128,5–133,0 м

Глина серая, прослойми светло- и коричневато-серая, известковая, сапропелевая (ОВ — 6–7%), слоистая. Присутствуют крупные раковины двустворчатых моллюсков *Buchia mosquensis* (Pavl.), *B. russiensis* (Pavl.). Определены фораминиферы: *Haplophragmoides volgensis* Mjatl., *Kutsevella haplophragmoides* (Furss. et Pol.), *Ammobaculites infravolgensis* Mjatl., *Spiroplectammina vicinalis* Dain, *Gaudryinella decurvata* Dain, *Citharina raricostata* Furss. et Pol., *Saracenaria pravoslavlevi* Furss. et Pol., *Marginulinopsis embaensis* Furss. et Pol., *Lenticulina rozanovi* K. Kuzn. Мощность слоя — 4,5 м. Граница с вышележащим слоем резкая.

35. Интервал 126,0–128,5 м

Глина серая, прослойми с коричневатым оттенком, сапропелевая (ОВ — 8–10%), слабо известковистая до бескарбонатной, алевритистая, плотная, слоистая, раскалывается на плитки с идеально ровными поверхностями, на которых иногда наблюдается тонкий раковинный детрит и алевритовый материал. Присутствуют прослои, обогащенные тонкодисперсным пиритом и диффузно рассеянным ОВ. Присутствуют брахиоподы *Rhynchonella cf. concentratostriata* Gurv., *R. cf. rouillieri uljanovski* Macr., двустворчатые моллюски *Oxytoma inaequivivalvis* (Sow.), фораминиферы *Haplophragmoides volgensis* Mjatl., *Ammodiscus* sp. indet., *Saracenaria pravoslavlevi* Furss. et Pol., *Marginulinopsis embaensis* Furss. et Pol., *Lenticulina infravolgaensis* (Furss. et Pol.), *Marginulina exilis* K. Kuzn. Мощность слоя — 2,5 м. Переход к вышележащему слою постепенный, граница нечеткая.

34. Интервал 123,5–126,0 м

Глина темно-серая с зеленоватым оттенком, сапропелевая (ОВ — 6–10%), алевритистая, известковистая, содержит мелкие углефицированные растительные остатки. На поверхностях скола различаются короткие темные ходы (или фрагменты растений?). На нескольких уровнях в слое отмечаются остатки двустворчатых моллюсков *Phacoides fischerianus* (Orb.) (прилизированные обломки раковин), а также чешуя рыб. Фораминиферы представлены формами: *Ammobaculites fontinensis* (Terq.), *Am. infravolgensis* (Mjatl.), *Am. bellus* Jakovl., *Haplophragmoides volgensis* (Mjatl.), *Marginulinopsis embaensis* (Furss. et Pol.), *Haplophragmoides* sp. indet. Мощность слоя — 2,5 м. Переход к вышележащему слою выражен постепенным изменением окраски, граница нерезкая.

33. Интервал 121,7–123,5 м

Глина серая, прослойми с коричневатым и голубоватым оттенком, сапропеле-

вая (ОВ — 7–9%), известковая, плотная. При высыхании порода раскалывается на плитки, наблюдаются скопления пиритизированной фауны. Присутствуют разнообразные фораминиферы: *Marginulinopsis embaensis* (Furss. et Pol.), *L. kaschpurica* (Mjatl.), *L. infravolgaensis* (Furss. et Pol.), *L. dofleini* (Kasanz.), *Haplophragmoides volgensis* (Mjatl.), *Ammobaculites fontinensis* (Terquem), *Spiroplectammina vicinalis* Dain, *Marginulina* sp. indet., *Astacolus* sp. indet. Мощность слоя — 1,8 м. Переход к вышележащему слою выражается постепенным изменением окраски, граница нечеткая.

32. Интервал 121,1–121,7 м

Глина серая с коричневатым оттенком, сапропелевая, с высоким содержанием ОВ (12–14%), в низах слоя с ОВ до 16%, известковая. Наблюдаются остатки аммонитов *Zaraiskites quenstedti* (Rouill. et Vos.). Мощность слоя — 0,6 м. Переход к вышележащему слою постепенный, выражается в изменении окраски пород.

31. Интервал 118,8–121,1 м

Горючий сланец с едва заметным коричневатым оттенком, низкокалорийный (ОВ — 16–18%), глинистый, неравномерно известковистый (от известкового до некарбонатного), неяснослоистый, с тонкой плитчатой отдельностью. На ровных поверхностях плиток наблюдаются остатки крупных аммонитов *Zaraiskites quenstedti* (Rouill. et Vos.) и двустворчатых моллюсков *Inoceramus pseudoretrorsus* Ger. Мощность слоя — 2,2 м. Переход к вышележащему слою постепенный, выражен уменьшением содержания ОВ.

30. Интервал 111,2–118,9 м

Глина серая сапропелевая, с низким содержанием ОВ (5–6%), неясно-горизонтально-слоистая, пластичная, с постепенными переходами до темно-серой известковой глины. Участками порода имеет раковистый излом, содержит мелкие раковины

двустворчатых моллюсков. Из фораминифер присутствуют: *Haplophragmoides volgensis* Mjatl., *Kutsevella haplophragmoides* (Furss. et Pol.), *K. extensus* Dain, *Ammobaculites infravolgaensis* Mjatl., *Am. bellus* Jakovl., *Spiroplectammina vicinalis* Dain, *Gaudryinella decurvata* Dain, *Marginulinopsis embaensis* (Furss. et Pol.), *Lenticulina infravolgaensis* (Furss. et Pol.), *Marginulina poljenovi* K. Kuzn., *Saracenaria pravoslavlevi* Furss. et Pol. и др. В верхней части слоя глина становится светло-серой, более известковой, плитчатой. На ровных поверхностях плиток видны тонкие ходы донных роющих организмов. Мощность слоя — 7,7 м. Переход к вышележащим глинам постепенный, граница нерезкая.

29. Интервал 106,0–111,2 м

Глина светло-серая, прослойями голубовато-серая и серая, тонкодисперсная, известковая, плотная, тяжелая. При высыхании раскалывается на острореберные осколки неправильной формы. Из верхней части слоя определены брахиоподы *Rhynchonella rouillieri uljanovskii* Macr. и крупные двустворчатые моллюски *Buchia* cf. *russiensis* (Pavl.), *Astarte tnevnikensis* (Milasch.). Комплекс фораминифер разнообразен: *Haplophragmoides volgensis* Mjatl., *Kutsevella haplophragmoides* (Furss. et Pol.), *K. extensus* Dain, *Ammobaculites infravolgaensis* Mjatl., *Am. bellus* Jakovl., *Am. fontinensis* (Terquem), *Triplasia elegans* (Mjatl.), *Spiroplectammina vicinalis* Dain, *Gaudryinella decurvata* Dain, *Lenticulina infravolgaensis* (Furss. et Pol.), *L. kovalevskii* K. Kuzn., *Marginulina kasachstanica* K. Kuzn., *M. planulariformis* K. Kuzn., *Marginulinopsis embaensis* (Furss. et Pol.), *Saracenaria pravoslavlevi* Furss. et Pol. и др. Мощность слоя — 5,2 м. Контакт с вышележащим слоем четкий.

28. Интервал 105,1–106,0 м

Горючий сланец коричневато-серый с зеленоватым оттенком низкокалорийный, глинисто-известковистый и известковый,

тонко-горизонтально-слоистый, с редкими прослойями и линзами темно-коричневого высококалорийного сланца (ОВ — 30%). На плоскостях напластования присыпки тонкого известкового материала и раковинного дегрита. Мощность слоя — 0,9 м. Переход к вышележащему слою постепенный, граница достаточно четкая.

27. Интервал 103,6–105,1 м

Глина коричневато-серая, сапропелевая (ОВ — 6–18%), с прослойями серых и голубовато-серых известковых глин. Участками наблюдаются крупные ходы роющих организмов, присыпки раковинного дегрита. Присутствуют гастроподы *Berlieria maeotis* (Eichw.) и многочисленные фораминиферы: *Haplophragmoides volgensis* Mjatl., *Kutsevella extentus* Dain, *Ammobaculites bellus* Jakovl., *Am. infravolgaensis* Mjatl., *Spiroplectammina vicinalis* Dain, *Lenticulina infravolgaensis* (Furss. et Pol.), *L. kovalevskii* K. Kuzn., *M. poljenovi* K. Kuzn., *Marginulinopsis embaensis* (Furss. et Pol.) и др. Мощность слоя — 1,5 м. Переход к вышележащему слою постепенный, выражен в изменении цвета и характера слоистости пород.

26. Интервал 100,8–103,6 м

Глина серая, голубовато-серая, пятнистая и прослойми более темная, известковая, пигментированная тонкодисперсным пиритом, плитчатая. Наблюдаются редкие, неопределенные остатки макрофауны. Фораминиферы разнообразны: *Lenticulina infravolgaensis* (Furss. et Pol.), *L. kaschpurica* (Mjatl.), *Astacolus obliteratus* Dain, *Marginulina pseudolinnearis* K. Kuzn., *M. poljenovi* K. Kuzn., *Haplophragmoides volgensis* Mjatl., *Kutsevella haplophragmoides* (Furss. et Pol.). Мощность слоя — 2,8 м. Граница с вышележащим слоем резкая.

25. Интервал 100,3–100,8 м

Горючий сланец зеленовато-серый с коричневатым оттенком, слоистый, про-

слойми коричневый и желтовато-коричневый высококалорийный (ОВ — 30–45%), глинисто-известковый, легкий. При высыхании растрескивается на тонкие плитки. На поверхности плиток наблюдаются белый известковистый налет и остатки раковин двустворчатых моллюсков *Buchia cf. rugosa* (Fischer de Waldheim). Мощность слоя — 0,5 м. Контакт с вышележащим слоем четкий.

24. Интервал 98,6–100,3 м

Глина светло-серая, пятнами более темная, известковая, массивная, очень плотная, при высыхании растрескивается на плитки, участками имеет неровный полураковистый излом. Встречены аммониты *Pavlovia sp. indet.*, двустворчатые моллюски *Inoceramus pseudoretrorsus* Ger., *Oxytoma inaequivalvis* (Sow.), морские ежи *Rhabdocidaris anceps* (Rouill.). Определены фораминиферы: *Haplophragmoides volgensis* Mjatl., *Ammobaculites fontinensis* (Terquem.), *Spiroplectammina vicinalis* Dain, *Gaudryinella decurvata* Dain, *Lenticulina infravolgaensis* (Furss. et Pol.), *L. dofleini* (Kasanz.), *L. delucida* Dain, *L. rozanovi* K. Kuzn., *Saracenaria pravoslavlevi* Furss. et Pol., *Marginulinopsis embaensis* (Furss. et Pol.) и др. Мощность слоя — 1,7 м. Переход к вышележащему слою постепенный.

23. Интервал 97,3–98,6 м

Глина серая, известковая, плотная, массивная, плитчатая, содержит нечетко выраженные уплощенные ходы донных роющих организмов, наблюдаются редкие мелкие раковины моллюсков. Определены фораминиферы: *Haplophragmoides volgensis* Mjatl., *Ammobaculites infravolgensis* Mjatl., *Spiroplectammina vicinalis* Dain, *Gaudryinella decurvata* Dain, *Lenticulina infravolgaensis* (Furss. et Pol.), *Marginulinopsis embaensis* (Furss. et Pol.), *Saracenaria pravoslavlevi* Furss. et Pol., *Marginulinopsis pseudolinnearis* K. Kuzn. Мощность слоя — 1,3 м. Граница с вышележащим слоем резкая.

**Слои с *Ammobaculites infravolgensis*
Mjatl. (см. рис. 2, сл. 22–17)**

J₃V₂ 22. Интервал 96,1–97,3 м

Горючий сланец зеленовато-коричневый, прослойми серый с зеленоватым оттенком, высококалорийный (ОВ — 40–60%), слабо известковистый, участками некарбонатный, легкий, раскалывается на тонкие плитки. Встречены остатки двустворчатых моллюсков *Inoceramus pseudotetrorsus* Ger., *Oxytoma inaequivivalvis* (Sow.), морских ежей *Rhabdocidaris anceps* (Rouill.). Присутствуют также мелкие колпачковидные гастроподы и чешуя рыб. Мощность слоя — 1,2 м. Граница с вышележащим слоем резкая.

21. Интервал 95,2–96,1 м

Глина серая, сапропелевая (ОВ — 8–14%) известковистая, неравномерно алевритистая, с мелким раковинным детритом. Фораминиферы: *Lenticulina infravolgaensis* (Furss. et Pol.), *L. kaschpurica* (Mjatl.), *L. biexcavata* (Mjatl.), *L. delucida* Dain, *Saracenaria pravoslavlevi* Furss. et Pol., *S. kasanzevi* (Furss. et Pol.), *Marginulina nupera* K. Kuzn., *Pseudolamarckins volgensis* Dain, *Haplophragmoides volgensis* Mjatl., *Ammobaculites infravolgensis* Mjatl. Мощность слоя — 0,9 м. Переход к вышележащим сланцам постепенный, выражен в увеличении содержания ОВ.

20. Интервал 94,0–95,2 м

Горючий сланец серый с едва заметным коричневатым оттенком, высококалорийный (ОВ — 37–42%), слабо известковистый, прослойми некарбонатный, легкий, раскалывается на плитки с ровными поверхностями. На плоскостях напластования наблюдаются редкие уплощенные ходы донных роющих организмов, выполненные темным глинистым веществом, а также мелкие (1–2 мм) раковинки двустворчатых моллюсков *Oxytoma inaequivivalvis* (Sow.) и гастропод *Berlieria*

maeotis (Eichw.). Мощность слоя — 1,2 м. Переход к вышележащему слою резкий.

19. Интервал 93,5–94,0 м

Глина серая известковистая, легко раскалывается на плитки с ровными поверхностями скола, с редкими раковинами двустворчатых моллюсков. Фораминиферы: *Haplophragmoides volgensis* Mjatl., *Ammobaculites infravolgensis* Mjatl., *Am. bellus* Jakovl., *Lenticulina rozanovi* K. Kuzn., *L. munsteri* (Reuss.), *Marginulina nupera* K. Kuzn. и др. Мощность слоя — 0,5 м. Переход к вышележащему слою выражается в повышении содержания ОВ и изменении окраски, граница резкая.

18. Интервал 92,7–93,5 м

Глина темно-серая, сапропелевая, известковистая, пластичная, с мелкими пиритизированными остатками фауны двустворчатых моллюсков. Фораминиферы: *Haplophragmoides volgensis* Mjatl., *Ammobaculites infravolgensis* Mjatl., *Lenticulina infravolgaensis* (Furss. et Pol.), *Saracenaria pravoslavlevi* Furss. et Pol. Мощность слоя — 0,8 м. Контакт с вышележащим слоем четкий.

17. Интервал 89,4–92,7 м

Глина светло-серая, известковая, плотная, массивная, с неровным полураковистым изломом, иногда раскалывается на толстые плитки. Содержит редкие остатки фауны: аммониты — *Zaraiskites tschernyschovi* (Mich.), морские ежи — *Rhabdocidaris anceps* (Rouill.), брахиоподы *Reussiella eichwaldi* (Lehm.). Комплекс фораминифер разнообразен: *Lenticulina dofleini* (Kasanz.), *L. rozanovi* K. Kuzn., *L. kovalevskii* K. Kuzn., *L. infravolgaensis* (Furss. et Pol.), *Kutsevella haplophragmoides* Furss. et Pol. Мощность слоя — 3,3 м. Граница с вышележащим слоем резкая, фиксируется по изменению окраски и текстуры пород в результате увеличения примеси ОВ.

Слои с Haplophragmoides volgensis inviolatus Dain (см. рис. 2, сл. 16–11)

$J_3 V_2 P_3$ 16. Интервал 87,4–89,4 м

Горючий сланец серо-коричневый высококалорийный, известковый. Содержание ОВ в сланце изменяется от 35 до 40%, наблюдаются ходы донных роющих организмов, выполненные глинистым материалом. Отмечаются прослои горючего сланца темно-серого низкокалорийного, с плитчатой отдельностью, глины (до 0,2 м) серой известковой, глины сапропелевой с высоким содержанием ОВ (до 14%), известковистой. Переходы между разностями пород постепенные. Наблюдаются многочисленные остатки двустворчатых моллюсков: *Astarte tnevnikensis* (Milasch.), *Phacoides fischerianus* (Orb.), *Oxytoma inaequivalvis* (Sow.), *Protocardia concinna* (Buch), *Entolium* sp. indet.; аммонитов: *Pavlovia cf. pavlovi* Mich., *Zaraiskites cf. scythicus* (Vischn.) (имеют место скопления мелких ювенильных форм аммонитов); скафопод *Dentalium cf. pellati* Lor. Фораминиферы: *Haplophragmoides volgensis* Mjatl., *Ammobaculites infravolgensis* Mjatl., *Gaudryinella decurvata* Dain, *Lenticulina kaschpurica* (Mjatl.), *L. delucida* Dain, *Marginulina nupera* K. Kuzn., *Citharina raricostata* (Furss. et Pol.). Мощность слоя — 2,0 м. Граница с вышележащим слоем резкая.

15. Интервал 85,6–87,4 м

Глина светло-серая, в нижней части слоя — серая, известковистая, с неравномерной примесью алевритового материала (в том числе обломков кристаллического кальцита), массивная, с неровным изломом. Остатки макрофауны редки. Определены двустворчатые моллюски *Buchia mosquensis* (Pavl.), *Astarte dubosiana* Orb. Фораминиферы: *Haplophragmoides volgensis* (Mjatl.), *H. volgensis inviolatus* Dain, *Ammobaculites bellus* Jakovl., *Kutsevella haplophragmioidea* Furss. et Pol., *Lenticulina delucida* Dain, *L. ex gr.*

translucens Dain, *Marginulinopsis embaensis* (Furss. et Pol.), *Marginulina planulariformis* K. Kuzn., *M. nupera* K. Kuzn. и др. Мощность слоя — 1,8 м. Переход к вышележащему слою выражен в изменении состава и окраски породы, граница резкая.

14. Интервал 85,3–85,6 м

Глина серая сапропелевая (ОВ — 5%), известковая, алевритистая, плитчатая, с редкими остатками фауны двустворчатых моллюсков. Фораминиферы: *Haplophragmoides volgensis* Mjatl., *Kutsevella haplophragmioidea* Furss. et Pol., *Marginulinopsis embaensis* (Furss. et Pol.), *Lenticulina infravolgaensis* (Furss. et Pol.). Мощность слоя — 0,3 м. Переход к вышележащему слою постепенный, граница нерезкая.

13. Интервал 83,8–85,3 м

Горючий сланец темно-серый с коричневатым оттенком, в нижней части слоя высококалорийный (ОВ — до 34%). В верхах слоя низкокалорийный (ОВ — 15–28%). Наблюдается прослой глины, мощностью 0,4 м, темно-серой, сапропелевой (ОВ — 7–12%), известковистой, тонкослоистой, тонкоплитчатой. В сланце и глине определены аммониты *Zaraiskites cf. scythicus* (Vischn.), *Pavlovia* sp. indet., двустворчатые моллюски *Oxytoma inaequivalvis* (Sow.), *Astarte tnevnikensis* (Milasch.), *Phacoides fischerianus* (Orb.); гастроподы — *Berlieria maeotis* (Eichw.); брахиоподы — *Lingula demissa* Ger., скафоподы — *Dentalium cf. pellati* Lor. Много ювенильных форм аммонитов и двустворчатых моллюсков, наблюдаются чешуя и кости рыб. Фораминиферы: *Lenticulina kaschpurica* (Mjatl.), *L. delucida* Dain, *L. biexcavata* (Mjatl.), *Saracenaria pravoslavlevi* Furss. et Pol. Мощность слоя — 1,5 м. Переход к вышележащему слою постепенный.

12. Интервал 82,2–83,8 м

Глина серая, слюдистая, слабо известковая, линзами некарбонатная, массивная, участками неяснослоистая, раскалы-

вается на толстые плитки. Присутствуют обломки раковин моллюсков, тонкий раковинный детрит. Фораминыферы: *Lenticulina delucida* Dain, *L. infravolgaensis* (Furss. et Pol.), *L. kaschpurica* (Mjatl.), *Marginulina robusta* Reuss, *Citharina rari-costata* (Furss. et Pol.). Мощность слоя — 1,6 м. Граница с вышележащим слоем нечеткая.

11. Интервал 80,5–82,2 м

Глина серая, известковая, неравномерно алевритистая, с обломками кристаллического кальцита, массивная, с редкими неопределенными остатками макрофaуны. Фораминыферы: *Lenticulina delucida* Dain, *L. infravolgaensis* (Furss. et Pol.), *Marginulinopsis embaensis* (Furss. et Pol.), *Saracenaria ilovaiskii* Furss., *S. inobserabilis* K. Kuzn., *Marginulina nupera* K. Kuzn., *M. formosa* Mjatl., *Haplophragmoides volgensis* Mjatl., *H. volgensis inviolatus* Dain, *Kuts-evelia haplophragmoides* Furss. et Pol., *Ammoscalaria* sp. indet. Мощность слоя — 1,7 м. Переход к вышележащему слою постепенный.

Слои с *Marginulina formosa* Mjatl. (см. рис. 2, сл. 10–3)

$J_3 V_2^p$ 10. Интервал 79,9–80,5 м

Алеврит серый, известковый, глинистый, сложен обломками кристаллического кальцита, кварца, полевых шпатов, с глауконитом, имеет массивную текстуру, слабо сцементирован. Фораминыферы: *Marginulinopsis embaensis* (Furss. et Pol.), *Lenticulina translucens* Dain, *L. infravolgaensis* (Furss. et Pol.), *Marginulina formosa* Mjatl., *Saracenaria pravoslavlevi* Furss. et Pol. Мощность слоя — 0,6 м. Граница с вышележащими породами резкая.

9. Интервал 78,56–79,9 м

Горючий сланец светло-коричневый и желтовато-коричневый высококалорийный (OB — 33–54%), в верхней части — бу-

рый низкокалорийный (OB — 15%), неравномерно известковистый, линзовиднослойственный, с чередованием горизонтальных, пологоволнистых и косослоистых серий, со следами оползания; по напластованию — с редкими крупными остатками моллюсков. Встречены аммониты — *Zaraikites* sp. indet., двустворчатые моллюски *Oxytoma inaequivalvis* (Sow.), *Buchia* sp. indet., гастроподы *Berlieria maeotis* (Eichw.). Наблюдается большое число остатков ювенильных аммонитов. Фораминыферы: *Lenticulina infravolgaensis* (Furss. et Pol.), *L. kaschpurica* (Mjatl.), *Marginulina formosa* Mjatl. Мощность слоя — 1,3 м. Переход к вышележащему слою постепенный.

8. Интервал 77,36–78,56 м

Глина серая сапропелевая (OB — 6%), алевритистая, известковистая, с нечетко обособленными ходами донных роющих организмов. При высыхании порода раскальвается на толстые плитки. Определены остатки моллюсков: аммониты *Zaraikites zarajskensis* (Mich.), двустворчатые моллюски *Astarte mnevnicensis* (Milasch.), *Inoceramus pseudoretrorsus* Ger., *Oxytoma inaequivalvis* (Sow.), *Phacoides fischerianus* (Orb.), гастроподы *Berlieria maeotis* (Eichw.). Фораминыферы: *Haplophragmoides volgensis* Mjatl., *Lenticulina infravolgaensis* (Furss. et Pol.), *L. biexcavata* (Mjatl.), *L. ex gr. translucens* Dain, *Marginulina formosa* Mjatl., *M. kasahstanica* K. Kuzn., *Saracenaria pravoslavlevi* Furss. et Pol. Мощность слоя — 1,2 м. Граница с вышележащим слоем резкая.

7. Интервал 75,36–77,36 м

Алевролит светло-серый до голубовато-серого, глинистый, известковистый, массивный, слабо сцементированный, с прослойми известняков, с редкими мелкими остатками двустворчатых моллюсков, раковинным детритом. Определены фораминыферы: *Lenticulina infravolgaensis* (Furss. et Pol.), *L. ponderosa* Mjatl., *L. dofleini* (Kasanz.), *L. ex gr. uralica* (Mjatl.),

L. kovalevskii K. Kuzn, *Marginulina formosa* Mjatl, *Astacolus polyhimneus* (Furss. et Pol.), *Saracenaria pravoslavlevi* Furss. et Pol. и др. Присутствуют остракоды. Мощность слоя — 2 м. Переход к вышележащему слою резкий, граница выражена очень четко.

6. Интервал 75,21–75,36 м

Глина серая сапропелевая (ОВ — 7%), алевритистая, известковистая, массивная, с редкими остатками макрофaуны. Состав фораминифер аналогичен комплексу слоя 7. Присутствуют остракоды. Мощность слоя — 0,15 м. Переход к вышележащему слою постепенный.

5. Интервал 74,06–75,21 м

Глина темно-серая, сапропелевая неравномерно известковистая, с плитчатой отдельностью. Содержит прослои некарбонатных глин мощностью до 5 см, а также прослои (или линзы?) черных низкокалорийных (ОВ — 21%) глинисто-известковистых горючих сланцев мощностью 10–15 см. Сланцы содержат многочисленные остатки фауны — очень мелкие раковины двустворчатых моллюсков, аммонитов, чешую и мелкие косточки рыб. Определены аммониты: *Zaraiskites cf. quenstedti* (Rouill. et Fahr.), *Z. cf. scythicus* (Vischn.), *Pavlovia cf. pavlovi* (Mich.), *Dorsoplanites* sp. indet.; двустворчатые моллюски: *Oxytoma inaequivalvis* (Sow.), *Astarte mnevnikensis* (Milasch.), *Phacoides fischerianus* (Orb.), *Buchia cf. mosquensis* (Sow.), *Entolium nummularis* (Fisch.), лопатоногие моллюски — *Dentalium cf. pellati* Lor., фораминыферы: *Lenticulina kaschpurica* (Mjatl.), *L. biexcavata* (Mjatl.), *L. infravolgaensis* (Furss. et Pol.), *L. delucida* Dain, *Astacolus polyhimneus* (Furss. et Pol.). Мощность слоя — 1,15 м. Переход к вышележащему слою постепенный, граница достаточно четкая за счет изменения текстурных особенностей пород.

4. Интервал 73,76–74,06 м

Глина темно-серая сапропелевая массивная, слабо известковистая, алевритис-

тая, слюдистая, с небольшим количеством полурастворенных раковин двустворчатых моллюсков. Определены фораминыферы: *Lenticulina biexcavata* (Mjatl.), *L. kaschpurica* (Mjatl.), *L. infravolgaensis* (Furss. et Pol.), *Saracenaria pravoslavlevi* Furss. et Pol., *Citharina raricostata* (Furss. et Pol.), *Tristix temirica* Dain. Мощность слоя — 0,3 м. Переход к вышележащему слою постепенный, граница нерезкая.

3. Интервал 70,46–73,76 м

Глина серая, известковистая, алевритистая, с многочисленными уплощенными ходами роющих организмов, выполненными более темной глиной. Пятнами глина обогащена алевритовыми частицами или ОВ. Текстура породы массивная, участками плитчатая. Наблюдаются прослои темно-серой некарбонатной глины. В серой глине присутствуют мелкие раковины моллюсков. В прослоях с плитчатой отдельностью — обилие крупных аммонитов и других моллюсков. Здесь содержатся: аммониты *Zaraiskites scythicus* (Vischn.), *Z. cf. quenstedti* (Rouill. et Vos.), *Dorsoplanites* sp. indet., двустворчатые моллюски *Inoceramus pseudo-retrorsus* Ger., *Astarte mnevnikensis* (Milasch.), *Buchia cf. gracilis* (Pavl.), *Entolium nummularis* (Fisch.), скафоподы *Dentalium cf. pellati* Lor., гастраподы *Berlieria maeotis* (Eichw.) и др. Определены фораминыферы: *Lenticulina infravolgaensis* (Furss. et Pol.), *L. kaschpurica* (Mjatl.), *L. ponderosa* Mjatl., *Marginulina formosa* Mjatl., *Saracenaria pravoslavlevi* Furss. et Pol., *Haplophragmoides* sp. indet. Мощность слоя — 3,3 м. Граница с вышележащим слоем четкая.

Слон *Virgatites virgatus* (см. рис. 2, сл. 2–1)

$J_3 v_2^V$ 2. Интервал 69,46–70,46 м

Алевролит серый, крупнозернистый глинистый, слабо известковистый массивный, в нижней части с линзами некарбонатного материала. Наблюдается пятнистое распределение обломочного материа-

4. СТРАТИГРАФИЯ

Средневолжский подъярус.

Зона *Dorsoplanites panderi* — *J₃V₂P*.

В разрезе зоны *Dorsoplanites panderi*, как упоминалось выше, выделяются слои с фораминиферами, сменяющие друг друга в следующей последовательности (снизу вверх): слои с *Mironovella gemina* Dain; слои со *Spiroplectammina vicinalis* Dain; слои с *Ammobaculites infravolgensis* Mjatl., слои с *Haplophragmoides volgensis inviolatus* Dain; слои с *Marginulina formosa* Mjatl.

Слои с *Mironovella gemina* Dain (Городищенский разрез) залегают на отложениях зоны *Ilowaischia pseudoscythica* нижневолжского подъяруса согласно и без следов перерыва, стратиграфическая граница проводится по палеонтологическим данным (рис. 1 а).

Слои с *Mironovella gemina* Dain — *J₃V₂P*.

Типовой разрез — обнажение на правом берегу р. Волги в 1 км. ниже д. Городище Ульяновской области (лектостратотип волжского яруса (Герасимов, Михайлов, 1966). Слои представлены светло-серыми мергеливидными и темно-серыми, в различной степени обогащенными ОВ глинами; наблюдаются прослои горючих сланцев (сл. 1–11, см. рис. 1 а).

Комплекс фораминифер (фототаб. I–II), характеризующий данное подразделение, содержит свыше 50 видов, в числе которых *Mironovella gemina* Dain, вид-индекс (большое количество), *Astacolus obliteratus* Furss., *Saracenaria kasanzevi* (Furss. et Pol.), *S. pravoslavlevi* Furss. et Pol., *S. ilovaiskii* F., *Lenticulina ornatissima* (Furss. et Pol.), *L. undorica* K. Kuzn., *L. dofleini* (Kasanzev.), *L. ex. gr. tynsteri* (Roem.), *L. rosanovi* K. Kuzn., *L. perrara* K. Kuzn., *L. infravolgaensis* (Furss. et Pol.), *Marginulinopsis embaensis* (Furss. et Pol.), *Haplophragmium subaequalis* (Mjatl.), *H. disseptum* (E. Byk.), *Haplophragmoides volgensis* Mjatl., *Flabellamina jurassica* Mjatl., *Spiroplectammina vicinalis* Dain, *Gaudryinella decurvata* Dain, *Kutsevella extentus* Dain, *K. haplophragmoides* (Furss. et Pol.) и др. (фототаб. I–II).

Граница с зоной *Ilowaischia pseudoscythica* определяется появлением фораминифер *Kutsevella extentus* Dain. С этого стратиграфического уровня отмечается появление видов *Kutsevella extentus* Dain, *Haplophragmoides volgensis* Mjatl., *Lenticulina infravolgaensis* (Furss. et Pol.), *L. rozanovi* K. Kuzn., *L. perrara* K. Kuzn., широко распространенных и в вышележащих слоях. Здесь же постепенно сокращаются в числе и исчезают *Pseudolamarckina polonica* (Biel. et Pozar.), *Haeglundina praereticulata* (Mjatl.), *Lenticulina undorica* K. Kuzn. Не переходят вверх вид-индекс

Mironovella gemina Dain и, также характерная для этого стратона, *Lenticulina ornatissima* (Furss. et Pol.).

Из макрофаунистических остатков здесь присутствуют аммониты *Pavlovia pavlovi* (Mich.), *Zaraiskites scythicus* (Vischn.), *Z. zarajskensis* (Mich.), *Z. michelshii* (Mitta), *Z. quenstedti* (Rouill. et Fahr.), *Z. miatschkoviensis* (Mich.), *Z. pilicensis* (Mich.), *Dorsoplanites panderi* (Orb.), *D. dorsoplanus* (Vischn.); многочисленные белемниты: *Lagonibelus magnificus* (Orb.), *L. parvula* (Gust.), *Pachyteuthis cf. russiensis* (Orb.); гастроподы *Berlieria maeotis* (Eiciw.); двустворчатые моллюски *Phacoides fischerianus* (Orb.), *Oxytoma inaequivalvis* (Sow.) и др., скафоподы, остатки морских лилий и морских ежей.

Мощность слоев *Mironovella gemina* в типовом разрезе — 6,4 м.

Слои со *Spiroplectammina vicinalis*

Dain — $J_3 v_{2\frac{1}{2}}$

Данный стратон выделен в разрезе скважины 559 (интервал 164,3–97,3 м, слои 50–23, рис. 2). Рассматриваемое подразделение залегает здесь со стратиграфическим несогласием и следами размытия на предположительно батских образованиях, представленных голубовато-зелеными песчаниками с редкими прослойями глин и алевритов (сл. 51). Органических остатков в этих породах не обнаружено. Батский возраст устанавливается по четкой литологической корреляции с другими разрезами, где идентичные породы датированы палинологическим комплексом. По данным Е. Д. Орловой (НИИ Геологии Саратовского университета), он характеризуется доминированием спор семейства *Dicksoniaceae* (до 33%); присутствием представителей семейств *Osmundaceae* (до 4,5%), *Selaginellaceae* (до 3,5%), *Lycopodiaceae* (до 2,5%), *Matoniaceae* (до 3,5%), *Leiotriletes* (до 3,5%). Из пыльцы значительны хвойные семейства *Pinaceae* и

Podocarpaceae, древние хвойные единичны.

Слои со *Spiroplectammina vicinalis* представлены ритмичным чередованием мощных пластов глин (7–10 м) светло-серых и голубовато-серых известковых; серых известковистых сапропелевых глин (до 5 м); зеленовато-серых и коричневых с различными оттенками горючих сланцев. Их мощность колеблется от 0,5–0,9 (верхняя часть) до 2–3 м (нижняя часть).

В основании толщи располагается фосфоритовый горизонт — зелено-серые песчаники с мелкими фосфоритами. Его принадлежность к зоне *panderi* доказывается как палеонтологическими данными, так и корреляцией с другими разрезами, в которых присутствуют аммониты *Dorsoplanites panderi* (Orb.), *D. dorsoplanus* (Vischn.) (Кулемова, 1987).

В состав комплекса фораминифер, характеризующего слои со *Spiroplectammina vicinalis* Dain (вид-индекс), входят *Haplophragmoides volgensis* Mjatl., *Ammobaculites infravolgensis* Mjatl., *Kutsevella extensus* Dain, *Flabellamina jurassica* Mjatl., *Haplophragmium disseptus* (E. Byk.), *H. subaequalis* (Mjatl.), *Gaudryinella decurvata* Dain, *Lenticulina infravolgaensis* (Furss. et Pol.), *L. kaschpuriga* (Mjatl.), *L. biexcavata* (Mjatl.), *L. rozanovi* K. Kuzn., *Marginulinopsis embaensis* (Furss. et Pol.), *Astacolus polyhymneus* (Furss. et Pol.), *Saracenaria pravoslavlevi* Furss. et Pol., *Quinqueloculina mitchurini* Dain, *Sigmoiina subpanda* (Lloyd) (фототаб. III).

Эти фораминиферы являются наиболее типичными для описываемых слоев. В данной ассоциации присутствуют виды, появившиеся только с зонального момента *panderi* и получившие широкое распространение выше по разрезу. К таким относятся: *Haplophragmoides volgensis* Mjatl., *Ammobaculites infravolgensis* Mjatl., *Kutsevella extensus* Dain, *Lenticulina infravolgaensis* (Furss. et Pol.), *L. kaschpurica* (Mjatl.), *L. biexcavata* (Mjatl.), *L. rozanovi* K. Kuzn., *Marginulinopsis embaensis* (Mjatl.),

Astacolus polyptyneus (Furss. et Pol.), *Sarazenaria pravoslavlevi* Furss. et Pol. и др. Вместе с ними в комплексе встречены *Spiroplectammina vicinalis* Dain, *Haplophragmium subaequalis* (Mjatl.), *H. disseptus* (Е. Byk.), распространенные в нижневолжских отложениях и здесь присутствующие незначительно. Совместное присутствие названных видов в определенном интервале разреза и позволяет выделить слои со *Spiroplectammina vicinalis* Dain.

Помимо фораминифер в породах, относимых к слоям со *S. vicinalis* Dain, присутствуют характерные для зоны *Dorsoplanites panderi* макрофаутические остатки. Это — аммониты *Dorsoplanites panderi* (Orb.), *Zaraiskites quenstedti* (Rouill. et Fahr.), *Pavlovia* sp. indet.; белемниты *Lagonibellus* cf. *magnificus* (Orb.); двустворчатые моллюски *Phacoides fischerianus* (Orb.), *Oxytoma inaequivalvis* (Sow.), *Astarte mnevnikensis* (Mich.), *Buchia mosquensis* (Pavl.), *Inoceramus pseudoretrorsus* (Ger.) и др., гастроподы *Berlieria maeotis* (Eichw.), скафоподы *Dentalium pellati* Lor., брахиоподы *Rhynchonella rouillieri* Macr., *Lingula demissa* Ger., морские ежи *Rhabdocidaris anceps* (Rouill.). Мощность слоев *Spiroplectammina vicinalis* составляет 67,0 м.

Слои с *Ammobaculites infravolgensis*

Mjatliuk — $J_3 v_2^p_2$

Выделены в интервале 97,3–89,5 м (слои 22–17, рис. 2). Представлены в нижней части чередующимися пластами горючих сланцев зеленовато-коричневых и коричнево-серых, мощностью 1,2 м, и серых известковистых глин (0,5–0,9 м); вверху наблюдается пачка (3,3 м) светло-серых известковых глин с несколькими тонкими (0,15–0,2 м) прослойками горючих сланцев.

Комплекс фораминифер, присутствующих в данном подразделении, обширен и разнообразен: *Haplophragmoides volgensis* Mjatl., *Ammobaculites infravolgensis* Mjatl., *Am. fontinensis* Terquem., *Kutsevella haplophragmoides* (F. et P.), *Gaudryinella*

decurvata Dain, *Lenticulina infravolgaensis* (Furss. et Pol.), *L. rozanovi* K. Kuzn., *L. kaschpurica* (Mjatl.), *Marginulina pseudolinnearis* K. Kuzn., *Marginulinopsis embaensis* (F. et P.) и др. (фототаб. IV).

Виды *Ammobaculites infravolgensis* Mjatl., *Gaudryinella decurvata* Dain, *Lenticulina rozanovi* K. Kuzn., присутствующие в слоях с *vicinalis*, здесь заканчивают свое существование. Впервые появляются в рассматриваемых слоях виды *Lentigulina delucida* Dain, *Pseudolamarckina volgensis* Dain, *Marginulina nupera* K. Kuzn. Совместное нахождение вышеназванных видов является характерным только для слоев с *Ammobaculites infravolgensis* Mjatl.

Из макрофаутических остатков в слоях присутствуют аммониты *Pavlovia* cf. *pavlovi* Mich., *Zaraiskites* cf. *scythicus* (Vischn.), *Z. tschernyschovi* (Misch.); двустворчатые моллюски *Inoceramus pseudoretrorsus* Ger., *Phacoides fischerianus* (Orb.), *Oxytoma inaequivalvis* (Sow.); гастроподы *Berlieria maeotis* (Eichw.), лопатоногие *Dentalium* cf. *pellati* Lor., брахиоподы *Russiella eischwaldi* (Lechm.), морские ежи *Rhabdocidaris anceps* (Rouill.).

Мощность слоев с *Ammobaculites infravolgensis* Mjatliuk — 7,8 м.

Слои с *Haplophragmoides volgensis*

Dain — $J_3 v_2^p_3$

Рассматриваемый стратон (сл. 16–11, интервал 89,5–80,5 м, рис. 2) слагается преимущественно глинами двух типов — серыми известковыми, в разной степени обогащенными алевритовым материалом (до 1,8 м), и серыми глинами слабо известковистыми и бескарбонатными, слюдистыми (1,6 м). Подчиненное положение в толще занимают пласти горючих сланцев сложного строения.

Нижний пласт (2,0 м) — серо-коричневые сланцы, существенно известковистые, прослойками переходящие в темно-серые сланцы, коричневато-серые сапропелевые глины и серые известковые глины. Горючие

сланцы средней части разреза (1,5 м) темно-серые, линзами бескарбонатные, с прослоем темно-серой сапропелевой глины.

Комплекс фораминифер, содержащийся в породах рассматриваемых слоев, обширен и разнообразен, содержит следующие виды: *Kutsevella extensus* Dain, *Ammobaculites haplophragmoides* (Furss. et Pol.), *Haplophragmoides volgensis* Mjatl., *H. volgensis inviolatus* Dain, *Saracenaria pravoslavlevi* Furss. et Pol., *S. kasanzevi* (Furss. et Pol.), *Lenticulina infravolgaensis* (Furss. et Pol.), *L. kaschpuriga* (Mjatl.), *L. biexcavata* Mjatl., *Marginulinopsis embaensis* (F. et P.), *Marginulina nupera* K. Kuzn., *Tristix temirica* Dain и др. Основу комплекса составляют виды широкого вертикального распространения. Однако большинство видов аглютинирующих фораминифер, широко развитых в нижележащих слоях, здесь не встречено. В наиболее массовом количестве из песчанистых форм присутствуют *Haplophragmoides volgensis* (Mjatl.) и *H. volgensis inviolatus* Dain (в несколько меньшем количестве экземпляров), появляющиеся здесь впервые. Характерными для слоев являются виды *Marginulina nupera* K. Kuzn., встречающийся только здесь, и *Lenticulina ex gr. translucens* Dain, появляющийся в разрезе с этого уровня (фототаб. V).

Остатки макрофауны в слоях с *Haplophragmoides volgensis inviolatus* в принципе идентичны таковым из подстилающих частей разреза, это — аммониты *Pavlovia* sp. indet., *Zaraikites cf. scythicus* (Vischn.); двустворчатые моллюски *Oxytoma inaequivalvis* (Sow.), *Astarte tnevnikensis* (Milasch.), *Phacoides fischerianus* (Orb.); гастроподы *Berlieria maeotis* (Bichw.); скапофоды *Dentalium cf. pellati* Lor.; брахиоподы *Lingula demissa* Ger.

Мощность слоев с *Haplophragmoides volgensis inviolatus* Dain составляет около 9 м.

Слои с *Marginulina formosa* Mjatl. —

$I_3 v_2^p$

Данное стратиграфическое подразделение представлено в основном чередова-

нием глин и алевролитов (сл. 10-3, интервал 80,5–69,46 м, см. рис. 4). Среди глин преобладают серые и темно-серые сапропелевые разности, обогащенные карбонатным и алевритовым материалом (мощность прослоев — от 0,15 до 1,5 м), с темными прослойками темно-серых горючих сланцев и некарбонатных глин. Самый мощный пласт (3,3 м) располагается в кровле разреза (глины серые известковые алевритистые с многочисленными ходами донных роющих организмов). Алевролиты серые и светло-серые (0,6 и 2 м), известковые и глинистые. Для этой части разреза характерно присутствие мощного пласта (1,3 м) высококалорийных легких горючих сланцев желтовато-коричневого цвета, обладающих мелкой косой слоистостью.

Состав фораминифер слоев с *Marginulina formosa* весьма разнообразен. Здесь присутствует много видов, общих для всех вышеописанных подразделений: это — *Ammobaculites haplophragmoides* (Furss. et Pol.), *Am. gracilissimus* Dain, *Haplophragmoides volgensis* Mjatl., *Lenticulina infravolgaensis* Mjatl., *L. kaschpurica* Mjatl., *L. biexcavata* Mjatl., *Saracenaria pravoslavlevi* Furss. et Pol., *S. kasanzevi* (Furss. et Pol.), *Marginulina robusta* Reuss, *Geinitzina nodulosa* (Furss. et Pol.), *Tristix temirica* Dain и др. Только для данного подразделения характерно появление вида-индекса — *Marginulina formosa* Mjatl., широко распространенного во всех литотипах пород, и вида *Lenticulina ponderosa* Mjatl., расцвет которых приходится уже на время *Virgatites virgatus*. Характерным для комплекса является также присутствие «песчанистых» фораминифер *Eoumarssonella* sp. indet., *Verneulinoides* sp. indet. (фототаб. VI).

Особенностью данных слоев является присутствие в массовом количестве, но с минимальным систематическим разнообразием (2–3 вида), представителей песчанистых фораминифер родов *Glomospirella* и *Haplophragmoides* и крупных лентикулин, в том числе *L. ponderosa* Mjatl. Очевидно, что эти виды, как и в предыдущем подразделении, являются вторичными, обусловленными присутствием в разрезе песчанистых пород.

видно, эти особенности обусловлены фациальными причинами, но свойственны они только рассматриваемому биостратиграфическому подразделению.

Состав макрофaуны в слоях с *M. formosa* весьма богат и разнообразен, присутствуют остатки аммонитов *Zaraiskites cf. quenstedti* (Rouill. et Fahr.), *Z. zaraiskensis* (Mich.), *Z. scythicus* (Vischn.), *Pavlovia cf. pavlovi* (Mich.), *Dorsoplanites* sp. indet., двустворчатых моллюсков *Oxytoma inaequivalvis* (Sow.), *Astarte tenevnikensis* (Milasch.), *Phacoides fischerianus* (Orb.), *Inoceramus pseudoretrorsus* Ger., *Entolium numularis* (Fisch.), *Buchia cf. gtacilis* (Pavl.), *B. cf. mosquensis* (Sow.), брюхоногих моллюсков *Berlieria maeotis* (Eichw.) и лопатоногих *Dentalium cf. pellati* Lor.

Мощность слоев с *Marginulina formosa* составляет 10,04 м.

Общая мощность зоны *Dorsoplanites panderi* в гипостратотипическом разрезе скважины 559 составляет 93,84 м. Выше залегают породы зоны *Virgatites virgatus*, представленные серыми и светло-серыми алевролитами с прослойми известняков (сл. 2,1, интервал 70,46–65,75 м) с остатками виргатитов и других моллюсков. Суммарная мощность гипостратотипа, включая слои *Mironovella gemina* городищенского обнажения и разрез скважины 559 составляет 100,24 м. Установленная последовательность стратиграфических уровней — слои с фораминиферами в наиболее полных разрезах в районе г. Перелюб опубликована в бюллетене РМСК (Кулева и др., 1992).



западном южном краю седиментарного бассейна Маньчжурии о доказано то что в южной части Маньчжурии в зоне южного магнитного полюса в эпоху отложения этого яруса в Южной Маньчжурии азимутальный градиент извращен вправо в южном направлении. В южной части Маньчжурии азимутальный градиент извращен вправо в южном направлении. В южной части Маньчжурии азимутальный градиент извращен вправо в южном направлении.

5. ПАЛЕОМАГНИТНАЯ ХАРАКТЕРИСТИКА

В палеомагнитном отношении колонка зоны *panderi* в лектостратотипическом разрезе волжского яруса представляет собой монолитный в целом интервал обратной полярности I_n , являющийся продолжением крупной магнитозоны обратной полярности, протягивающейся из верхов кимериджа и нижневолжского подъяруса (Молостовский, 1986).

Вся толща городищенского разреза, включающая слои с *Mironovella gemina* и низы слоев с *Spirolectammina vicinalis* (см. рис. 1 а, 2), сложена породами, имеющими следующие координаты I_n : $D_{cp} = 190^\circ$, $J_{cp} = 36^\circ$. Скорее всего, только один фактор — слабый уровень магнитности пород, не позволил добиться в процессе магнитных чисток коллекции разреза выделения в них наклонений естественной остаточной намагниченности с обратным знаком. В связи с этим обратная полярность пород здесь выделяется в известной мере предположительно.

Уровень магнитности пород коллекции, представляющей разрез скв. 559, оказался достаточным для их палеомагнитного изучения. Однако полученные материалы при интерпретации теряли часть своей надежности за счет того, что в расчет принимался только один из полярных параметров — магнитное отклонение I_n . Это оказалось обусловлено отсутствием у образцов азимутальной ориентировки, почечу в палеомагнитной колонке скважины

— недостаточно. Весь цикл скважин (высотой 900 м) — это неотъемлемая часть магнитного цикла Южной Азии. В южной части Маньчжурии в зоне южного магнитного полюса в эпоху отложения этого яруса в Южной Маньчжурии азимутальный градиент извращен вправо в южном направлении. В южной части Маньчжурии азимутальный градиент извращен вправо в южном направлении.

Палеомагнитный разрез скважины начинается снизу сравнительно крупным интервалом обратной полярности, охватывающим слои 38–50. В его средней части наблюдаются три сближенных узких прослоя с I_n противоположного знака. Единичные образцы из этого интервала показывают как прямую, так и обратную полярность.

Начиная с 36 слоя и выше, вплоть до границы с зоной *virgatus*, в разрезе преобладает прямая полярность пород, которая образует крупную магнитозону. Ее разрез осложнен серией подчиненных субзон обратной полярности. Сравнительно крупные из них приурочены к границе 34 и 35 слоев, охватывают весь 31 слой, выявлены в толще с 21 по 26 слои и в пределах 8–10 слоев разреза. Их мощности соответственно составляют 3, 2, 8 и 4 метра. Характерно, что две последние приурочены к микрофаунистическим границам: *S. vicinalis* — *A. infravolgensis* в первом случае и *H. volgensis inviolatus* — *M. formosa* во втором.

Начиная от границы с зоной *panderi*, толща, относимая к зоне *virgatus*, видимой мощностью около пяти метров, охвачена единственным интервалом обратной полярности.

Таким образом, магнитостратиграфический разрез гипостратотипа зоны *Dorsoplanites panderi*, складывающийся из колонок городищенского разреза (слои с *M.*

gemina) и скважины 559, представлен двумя крупными магнитозонами — нижней, преимущественно обратной полярности и верхней, преимущественно прямой полярности. R-зона охватывает весь объем слоев с *M. gemina* и нижнюю часть слоев с *S. vicinalis*. Она также включает несколько микроинтервалов прямой полярности, стратиграфическое значение которых пока остается неясным. Граница N- и R-зон пока не установлена из-за пропусков в опробовании, и располагается внутри интервала, объединяющего слои 36–37 скважины, а стратиграфически — приблизительно в средней части слоев со *S. vicinalis*.

N-магнитозона включает верхнюю половину слоев со *S. vicinalis*, слои с *A. infravolgensis*, с *H. volgensis inviolatus* и с *M. formosa*. Заканчивается она, видимо, в кровле зоны *panderi*. В пределах магнитозоны прямой полярности выделены четыре подчиненных интервала противоположного знака I_n. Два наиболее крупных из них приурочены к участкам разреза,

содержащим наиболее мощные пласти сланцев.

Магнитостратиграфические исследования подтверждают вывод о значительной неполноте разреза зоны *panderi* в лектостратотипе волжского яруса, из которого выпадают аналоги верхов R-зоны и вся N-зона. Кроме того, выявление в пределах средневолжского подъяруса крупной магнитозоны прямой полярности позволяет снять одно из самых существенных противоречий, имеющихся в юрской части мировой магнитостратиграфической шкалы. Оно заключалось в преобладании прямой полярности в средней части титона (приблизительно наш средневолжский подъярус), в то время как в лектостратотипе средневолжский подъярус до последнего времени характеризовался только обратной полярностью (Молостовский, 1986). Материалы данного исследования полностью снимают указанное противоречие и дают возможность прямой корреляции титона и волжского яруса.



6. ЛИТОТИПЫ, ОРИКТОКОМПЛЕКСЫ И УСЛОВИЯ ОСАДКОНАКАПЛЕНИЯ

В процессе минералого-геохимического изучения гипостратотипического разреза выделено 11 литотипов пород, каждый из которых характеризуется определенными признаками, несущими информацию об условиях образования. К этим признакам относятся текстурные, структурные и наростструктурные особенности, минеральный и гранулометрический состав, особенностя аутигенного минералообразования, состав глинистых минералов, содержание макро- и микроэлементов и др. Выделение литотипов проводилось по конкретным слоям изученного разреза. Однако, следует отметить, что далеко не всегда порода, слагающая тот или иной пласт, полностью соответствует определяющему литотипу. В последних отражены лишь наиболее типичные характеристики пород сланцевой толщи. Аналоги литотипов, выделенные по материалам скв. 559, прослеживаются и в обнажении у с. Городище. Однако, породы данного разреза подвержены интенсивным гипергенным изменениям, что значительно степени затруднило выявление в них первично седиментационных генетических признаков.

Наряду с изучением особенностей вещественного состава пород, ценную информацию об условиях седиментации дает изучение остатков фауны, встречающихся практически в каждом слое разреза. Это представители различных групп, в основ-

ном моллюсков (двусторчатых, брюхоногих, головоногих, лопатоногих), изредка наблюдаются брахиоподы, редко и единично — морские ежи. Видовой состав макрофaуны однообразен по всему разрезу (табл. 1). Из микрофaуны постоянны фораминиферы, довольно часты остракоды. Все фаунистические остатки являются весьма благоприятными объектами эколого-тафономических исследований, способствующих выяснению физико-географических параметров среды, например, глубины, динамики вод, температуры и т. д.

Тафономический анализ захоронений остатков макрофaуны (ориктокомплексов) в породах исследуемого разреза выявил их автохтонный характер. Это дает основание рассматривать их в качестве основы сообществ: «... группировка ископаемых организмов, связанная единым комплексом факторов внешней среды (биотоп) и составляющая часть данного биоценоза, сохранившуюся в ископаемом состоянии» (Мерклин, 1950, с. 34). При экологической интерпретации остатков макрофaуны, помимо типичных бентоносных форм, использовались аммониты, поскольку в своем образе жизни они придерживались дна и в какой-то мере зависели от эдафических факторов.

Для характеристики микрофaуны современных морей первостепенное значение придается выявлению численности

Таблица 1. Распределение макрофауны в стратиграфическом разрезе зоны *Dorsoplites panderi*.

Таксономический состав		Слои по фораминиферам				
	д. Городище	Mironovella gemina Dain	Spiroplectammina vicinalis Dain	Ammobaculites infravolgensis Mjatl.	Haplophragmoides vulgensis inviolatus Dain	Marginulina naformosa Mjatl.
1	2	3	4	5	6	
<i>Dorsoplites panderi</i> (Orb.)						
<i>D. cf. panderi</i> (Orb.)	+					
<i>D. cf. dorsoplatus</i> (Vischn.)	+	+				
<i>Dorsoplites</i> sp. indet.	+	+	+			
<i>Zaraikites scythicus</i> (Vischn.)			+			
<i>Z. zariskensis</i> (Mich.)				+		
<i>Z. quenstedti</i> (Rouil. et Fehr.)					+	
<i>Z. tscherynschovi</i> (Mich.)						+
<i>Z. miaschkoviense</i> (Mich.)						
<i>Z. pilicensis</i> (Mich.)						
<i>Z. michelshii</i> Mittte						
<i>Zaraikites</i> sp. indet.						
<i>Pavlovia pavlovi</i> (Mich.)						
<i>P. cf. pavlovi</i> (Mich.)						
<i>Pavlovia</i> sp. indet.						
<i>Cylindrotheleus</i> (<i>Lagonibelus</i>) <i>magnificus</i> (Orb.)						
<i>C. (L.) cf. magnificus</i> (Orb.)						
<i>C. (L.) parvula</i> Gust.				+	+	
<i>C. (L.) submagnificus</i> Gust.				+	+	
<i>C. porrecta</i> (Phill.)				+	+	
<i>Pachyteuthis</i> cf. <i>russiensis</i> (Orb.)				+	+	
<i>P. gorodiechensis</i> Gust.				+	+	
<i>Astarte mnevnicensis</i> (Milasch.)				+	+	
<i>A. duboisiana</i> Orb.						+
<i>Buchia mosquensis</i> (Pavl.)						
<i>B. rugosa</i> (F. Waldh.)						
<i>B. cf. rugosa</i> (F. Waldh.)						
<i>B. russiensis</i> (Pavl.)						

	1	2	3	4	5	6
<i>B. cf. gracilis</i> (Pavl.)						
<i>Buchia</i> sp. indet.						
<i>Liosstrea plastica</i> Trd.						
<i>Oxylioma inaequivalvis</i> (Sow.)						
<i>Phacooides fischerianus</i> (Orb.)						
<i>Inoceramus pseudoretrorsus</i> (Geb.)						
<i>Inoceramus</i> sp. indet.						
<i>Entolium demissum</i> (Phil.)						
<i>E. erraticum</i> (Fieb.)						
<i>E. nummulare</i> (Fisch.)						
<i>Entolium</i> sp. indet.						
<i>Paralleloodon</i> cf. <i>probuctum</i> (Rouill.)						
<i>Protocardia concinna</i> (Buch)						
<i>Cyprina</i> sp. indet.						
<i>Campstonectes</i> sp. indet.						
<i>Berlieria maeotis</i> (Eichw.)						
<i>Dentalium pellattii</i> Lor.						
<i>Dentalium</i> sp. inbet.						
<i>Rhynchonella</i> sp. indet.						
<i>R. rouillieri ufanovskii</i> Macr.						
<i>R. cf. concentrico-striata</i> Gurn.						
<i>Reussiella eichwaldii</i> (Lehm.)						
<i>Lingula demissa</i> Ger.						
<i>Rhabdocidaris anceps</i> (Rouill.)						
<i>R. spinigera</i> (Rouill.)						

Таблица 1. Окончание.

фауны на определенный объем осадка и количественному учету таксонов. Полученные таким образом данные используются уже для любых сравнительных работ по систематическому составу, распространению, экологическим группировкам и т. д. При выполнении данного исследования также проводился количественный учет микрофлоры с последующей статистической обработкой результатов. Статистические данные сводились к следующим величинам.

1. Общая численность комплекса. По В. В. Фурсенко (1978) и А. А. Грилясу (1985): комплекс — совокупность захороненных в осадке фораминифер, установленных в образце породы. Комплекс, как правило, составляют особи видов различных родов и семейств.

2. Систематический состав (количество экземпляров каждого вида).

3. Соотношение численности разных таксонов.

4. Соотношение экологических группировок.

При анализе орнитокомплексов учитывались особенности сохранности фоссилий

(деформация, окатанность и т. д.), характер скульптуры. Общая численность комплекса определялась в каждом образце и приводилась к единому показателю — фораминиферовому числу (количество раковин на 100 г первоначального веса сухой породы). Некоторые разности пород исследуемого разреза не содержали достаточно го количества раковин фораминифер, вследствие чего вес образца увеличивался до 200 г и делался соответствующий пересчет. Соотношение различных таксонов (видов, родов) рассчитывалось от общего количества экземпляров в процентах. Также в процентах от числа раковин подсчитывалось содержание форм каждого экологического типа и соотношение между ними. Количественная оценка состава комплексов фораминифер позволила привести к единому показателю данные по каждому образцу и тем самым получить более объективные данные.

Среди фораминифер сланценосной толщи зоны пандери присутствуют только бентосные формы, принадлежащие двум экологическим типам: 1) агглютинирующий бентос — семейства *Ammodiscidae*, *Lituolidae*, *Textularidae*, *Trochamminidae*, *Verneuilinidae*, *Ataxophragmidae*; 2) секреционный бентос — семейства *Nodosariidae*, *Lenticulinidae*, *Vaginulinidae*, *Polytmorphinidae*, *Ceratobuliminidae*. В качестве основного критерия выделения сообществ фораминифер бралось соотношение названных экологических типов.

В сланценосной толще выделен ряд литологических типов пород (Букина, 1988; Кулева и др., 1989; Яночкина и др., 2000).

Песчаник неравномерно-зернистый полимиктовый (существенно лититовый) известково-глинистый, участками сильно глинистый с мелкими желваками фосфоритов, приурочен к основанию слоев со *Spiroplectammina vicinalis*. Он характеризуется массивной текстурой, ихнитовой микротекстурой и кокколитовой наноструктурой в участках, обогащенных глинисто-известковым веществом. По составу

порода резко отличается от подстилающих батских песчаников, практически не содержащих элементов переотложенного известкового ила.

В массе плохо отсортированных и неравномерно окатанных алевро-песчаных частиц размером 0,08–0,4 мм более 50% составляют обломки плотных кремнистых пород с тонкозернистой, неравномерно кристаллической и реликтовой биогенной структурой, около 20% — кварц, менее 10% — полевые шпаты, 10–15% — фрагменты относительно рыхлых кремнисто-глинистых и глинистых пород, в том числе туфогенных с реликтовой витрокластической структурой. В виде единичных зерен отмечаются обломки хлорит-кварцевых, мусковит-хлоритово-кварцевых микроланцев и эфузивов среднего состава, ильменит, другие акцессорные минералы.

Глауконит (10%) преимущественно аутигенный, отчасти переотложенный, со следами окатанности. Судя по реликтовым структурам, он образован в результате замещения железосодержащих глинистых пород, туфов и эфузивов ряда андезита или андезито-дацита с равномерной призматически-зернистой структурой.

Согласно теоретическим разработкам Н. М. Страхова (1960, 1962), трансформация железосодержащих пород и минералов в глауконит обычно протекает в поверхностной пленке осадка с неустойчивым окислительно-восстановительным потенциалом (Eh), когда внутри слоя, обогащенного ОВ, развиваются восстановительные процессы раннего диагенеза, не позволяющие распространяться окислительным процессам даже в придонных иловых водах. В этих условиях почти все железо ниже границы раздела осадок — вода переходит в пирит. Агрегаты пирита в рассматриваемом песчанике составляют до 11,8% от веса псаммитовых частиц. Об участии бактерий в процессе их образования свидетельствуют характерные хорошо сохранившиеся и реликтовые фрамбоидальные наноструктуры, что отражено в рабо-

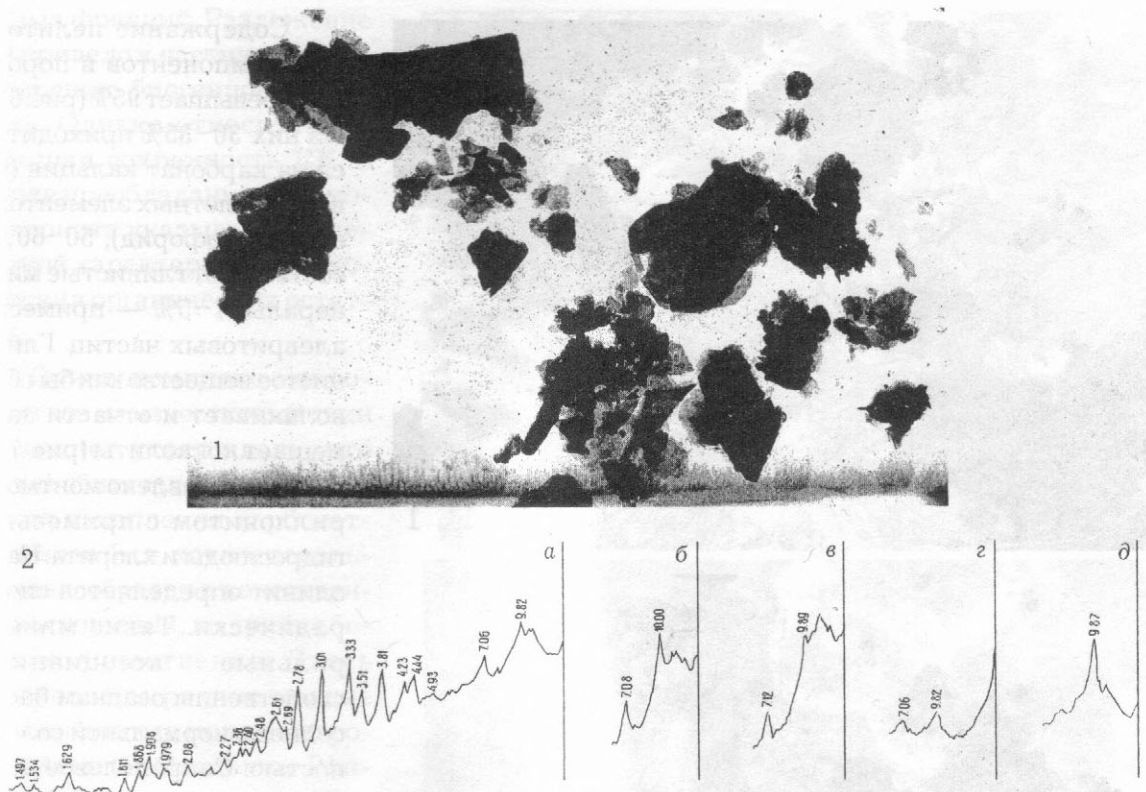


Рис. 3. Каолинит в составе пелитовой фракции песчаников. 1 — ПЭМ, $\times 6000$; 2 — дифрактограмма: а — естественного неориентированного, б — ориентированного, в — обработанного 10% HCl, г — насыщенного глицерином, д — прокаленного при 600° С образца.

тах Л. Я. Кизильштейна и Л. Г. Минаевой (1972), Л. Я. Кизильштейна и Н. Г. Погребновой (1985).

Фосфаты, широко представленные в песчаниках, различны по происхождению. Среди них угадываются окатанные костные остатки, обломки спикул губок, фораминифер, копролитовые комочки, чешуя и зубы рыб, фосфатизированные обломки древних радиолярий и аутигенные желвачки (присутствуют фрагменты «домиков» трубокожилов из таких желвачков), а также зональные оолиты (фототаб. VII).

Псаммитовый материал погружен в неравномерно известковистое глинистое вещество, пронизанное ходами илоедов, выполненных в одних случаях преимущественно глинистым материалом, в других — преимущественно карбонатным с кокколитами (КК). Глинистое вещество в основном пред-

ставлено гидрослюдой и монтмориллонитом, являющимися продуктами гидратации биотита и мусковита. Электронно-микроскопическими исследованиями установлено также присутствие в пелитовой составляющей аллотигенного каолинита (рис. 3), лизардита, амезита и пальгорскита (рис. 4). Совместное присутствие глинистых минералов, образующихся как в гумидных, так и в аридных обстановках свидетельствует о размыве и переотложении в песчаных осадках одновременно раннеюрских сероцветов и пермо-триасовых красноцветов.

Гранулометрический состав осадков и следы многократной переработки вещества илоядными организмами свидетельствуют о накоплении их в зоне мелководного шельфа. Совместное присутствие глауконита, пирита и фосфатов свойственно зонам с крайне низкой скоростью осадко-

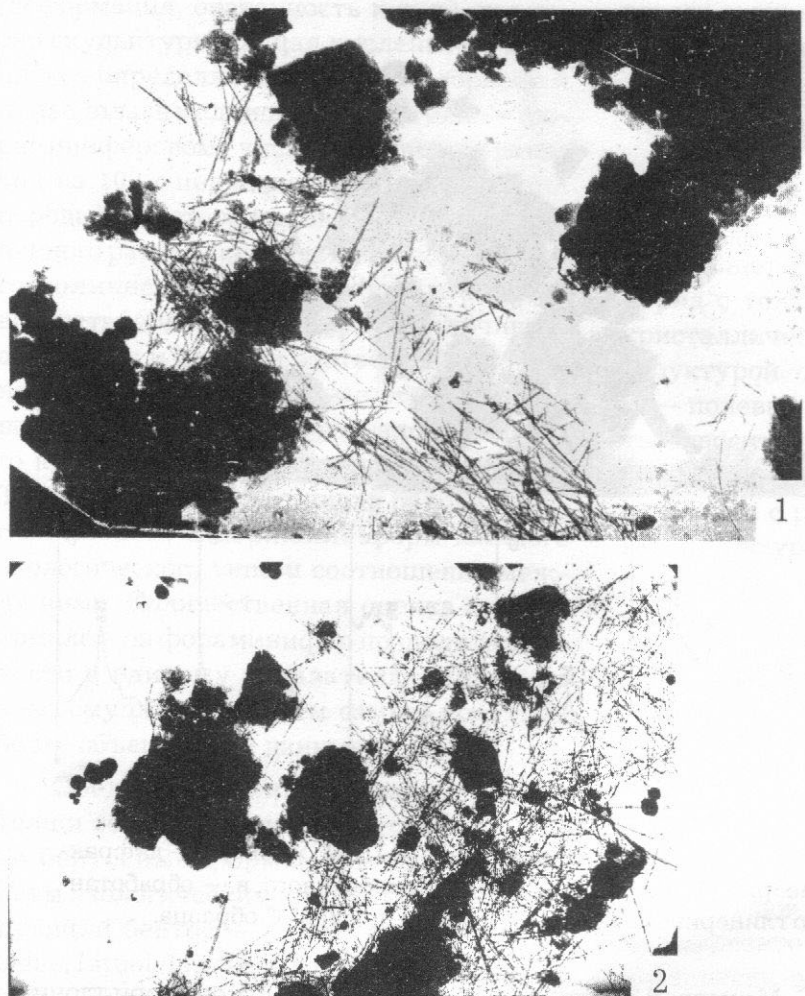


Рис. 4. Палыгорсит в пелитовой фракции песчаников, 1 — ПЭМ, $\times 7500$, 2 — ПЭМ, $\times 6000$.

накопления, которые обычно называют зоной «hard ground» (твердого дна) или подводного выветривания (Фролов, 1978, 1992, 1993, 1995). Особенno активно фосфатонакопление проявляется в зонах смешения сгонных и восходящих течений (Лисицын, 1988).

Глины известковые (кокколитовые) светло-пепельно- и голубовато-серые, массивные и неяснослоистые с неориентированными микротекстурами. Наноструктура глин кокколитовая с беспорядочным расположением частиц (рис. 5). Данный литотип наиболее характерен для слоев *Spiroplectammina vicinalis*.

Содержание пелитовых компонентов в породах превышает 95% (рис. 6). Из них 30–35% приходится на карбонат кальция (в виде скелетных элементов кокколитофорид), 50–60% составляют глинистые минералы, 1–5% — примесь алевритовых частиц. Глинистое вещество как бы обволакивает и отчасти замещает кокколиты (рис. 7). Оно представлено монтмориллонитом с примесью гидрослюды и хлорита. Каолинит определяется спорадически. Такие минеральные ассоциации свойственны осадкам бассейнов с нормальной соленостью. Сапропелевое вещество в известковых глинах присутствует в виде несущественной примеси (см. рис. 6). Это, в основном, сапроколлинит, образовавшийся при частичном распаде элементов водорослей. Не исключено появление вторичных гуминовых кислот и хитиновых элементов за счет

продуктов разрушения органической матрицы скелетов кокколитофорид (ККФ), как это показано С. Н. Голубевым (1981).

Суммарная концентрация микроэлементов в глинах незначительна, повышены только содержания стронция, поскольку основными породообразующими компонентами рассматриваемых пород являются известковые щитки кокколитофорид — кокколиты. Диагенетические преобразования исходных компонентов осадков протекали в резко восстановительных условиях, о чем можно судить по высоким содержаниям аутигенного пирита и по отсутствию лимонита в составе тя-

желых фракций. Разложение ОВ привело к частичному растворению биогенного кальцита. Однако относительно хорошая сохранность КК, а также преобладание монтмориллонита указывает на щелочной характер среды захоронения органических остатков.

Орбитокомплекс макроостатков из известковых глин позволяет утверждать, что состав обитателей бассейна во время накопления карбонатных илов был, хотя и довольно разнообразен в качественном отношении, но крайне беден количественно. Здесь установлены редкие мелкие двустворчатые моллюски родов *Astarte*, *Oxytoma*, *Phacoides*, более крупные — *Vicchia*, *Inoceramus*, а также редкие, единичные брахиоподы *Reussiella*, *Rhynchonella*, *Lingula*, лопатоногие моллюски *Dentalium* и морские ежи *Rhabdocidaris*.

Преобладающие двустворчатые моллюски являлись преимущественно сестонофагами (табл. 2). Это предполагает слабую гидродинамику придонных вод, обуславливающую наличие тонкой пищевой взвеси — сестона. В пищевые цепи были также включены головоногие (в орбитокомплексах присутствуют редкие остатки аммонитов и белемнитов) и морские ежи. Фауна однозначно указывает на нормальный газовый и солевой режимы вод. Зарывающиеся и полузарывающиеся формы (*Lingula*, *Phacoides*, *Dentalium*) свидетельствуют о таких же условиях в верхних слоях осадка.

В некоторых разностях пород, относимых к данному литотипу, присутствуют

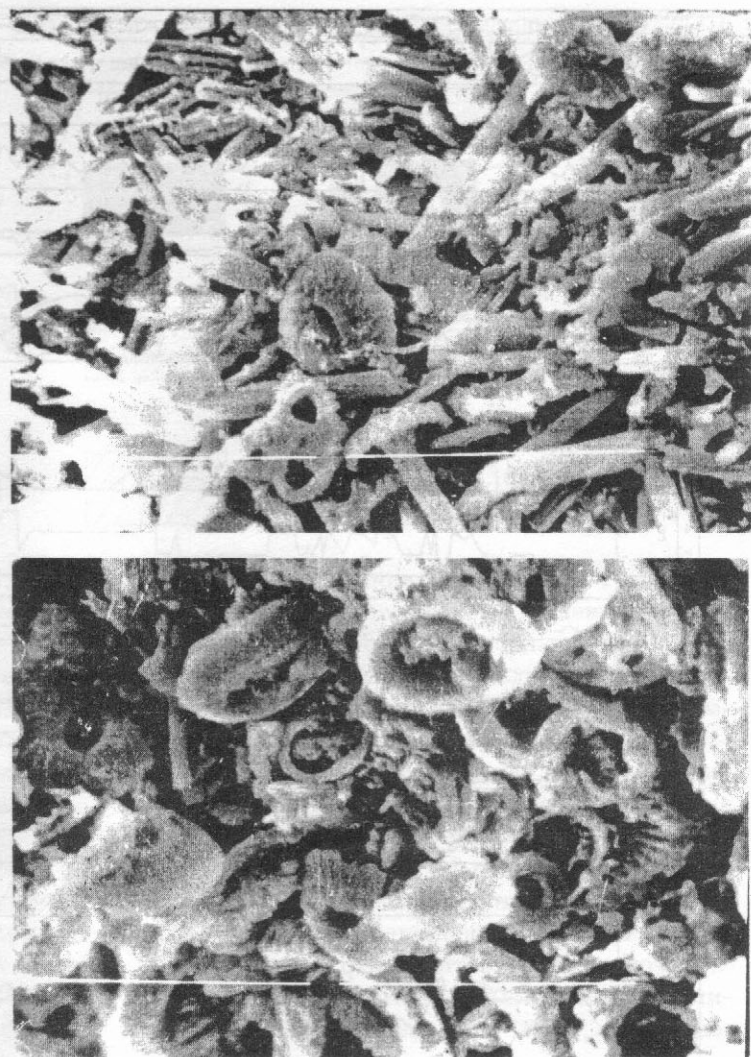


Рис. 5. Кокколитоваяnanoструктура известковых глин с беспорядочным расположением плаколитов, рабдолитов и зиголитов, РЭМ, $\times 5000$.

лишь ходы донных роющих организмов (безвыворочно заглатывающих детритофагов), что, вероятно связано с увеличением глубины бассейна (~ до 200 м, зона глинистой сублиторали).

Комплекс фораминифер в кокколитовых глинах богат и разнообразен, характеризуется высоким фораминиферовым числом (от 500 до 9000 экземпляров на 100 граммов породы) и максимальным видовым разнообразием (свыше 50 видов). На рис. 8 отражено распределение численности основных представителей комплекса.

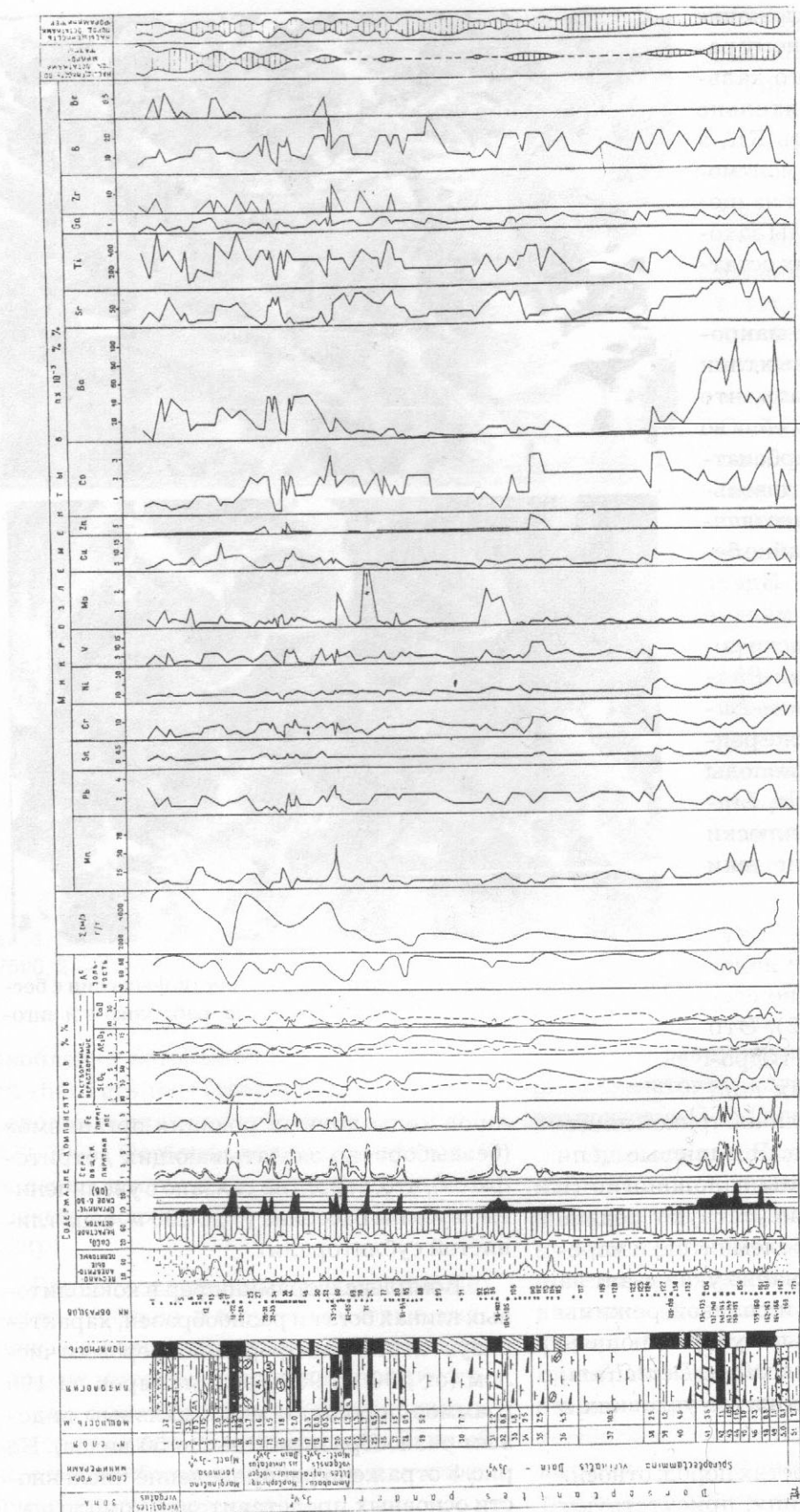
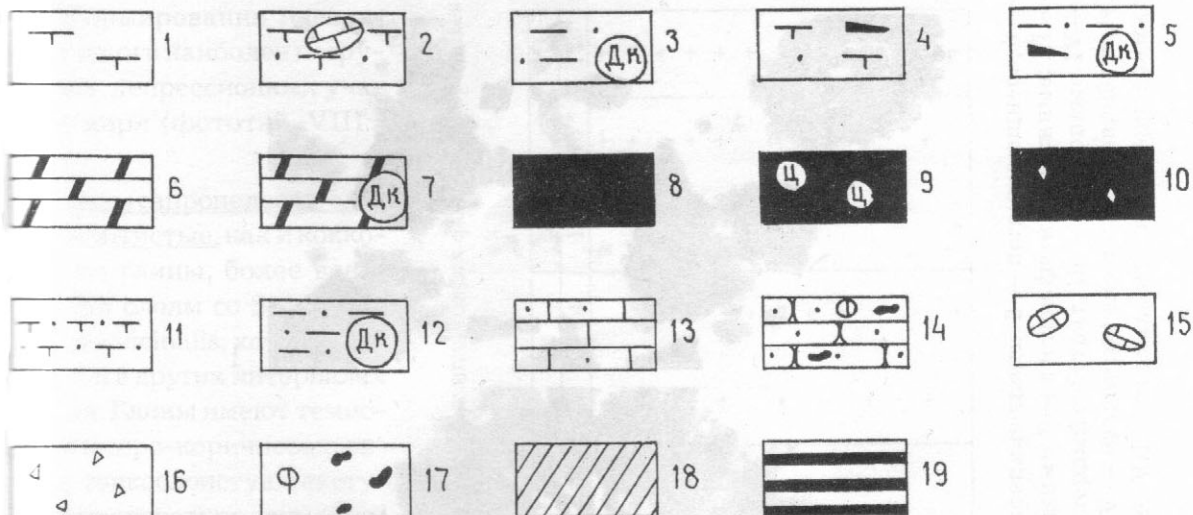


Рис. 6. Литограмма разреза зоны *Dorsoplanites panderi* (см. 559).



Условные обозначение к рис. 6: 1–14, литологические типы пород: 1–5, глины: 1 — известковые (кокколитовые); 2 — известковые (кокколитовые) алевритистые и алевритовые; 3 — алевритистые и алевритовые слабо известковистые, линзами бескарбонатные; 4 — сапропелевые с низким содержанием алевритового материала; 5 — сапропелевые алевритистые и алевритовые, неравномерно известковистые; 6–10, горючие сланцы: 6 — низкокалорийные альгинито-сапро-коллинитовые глинисто-алевритисто-известковистые; 7 — низкокалорийные альгинито-сапро-коллинитовые алевритисто-глинистые, неравномерно известковистые с линзами бескарбонатных сланцев; 8 — высококалорийные альгинитовые глинисто-известковистые с низким содержанием алевритовых примесей; 9 — те же сланцы с явлением цеолитизации вещества; 10 — высококалорийные альгинитовые известковые и карбонатизированные, с низким содержанием глинисто-алевритовых примесей; 11–12, алевролиты: 11 — глинисто известковые; 12 — глинистые бекарбонатные; 13 — известняки глинисто-алевритистые; 14 — песчаники с желваками фосфоритов; 15–17, включения: 15 — микрообломки карбонатного и глинисто-карбонатного состава с реликтовой кокколитовой nanoструктурой; 16 — пирокластика; 17 — желваки фосфоритов; 18–19, магнитозоны: 18 — прямой полярности; 19 — обратной полярности.

Преобладающей группировкой является агглютинирующие фораминиферы (группа Б на рис. 8) — в образцах присутствуют от 70 до 94% песчаных форм. Обращает на себя внимание наличие в комплексах очень крупных раковин видов *Ammodiscus giganteus* Mjatl., *Halophragmium subaequalis* (Mjatl.), *H. disseptum* (E. Вук.), *Triplasia elegans* Mjatl., *Flabellamina jurassica* Mjatl. (фототаблицы VIII, IX). Слабо представлены или почти отсутствуют представители рода *Lenticulina*. В большом количестве встречаются разнообразные нодозарииды — представители родов *Dentalins*, *Nodosaria*, *Lagenia*, количества которых достигает 25%. Сохран-

ность раковин хорошая. Секреционные формы часто интенсивно пиритизированы.

Богатство и разнообразие фораминиферовых сообществ, очевидно, было возможным лишь при благоприятных условиях обитания и, в первую очередь, связано с пищей. Фораминиферы — всеядные животные, но одним из главных источников их питания является фитопланктон (кокколитофориды, диатомеи и др.), который во время накопления кокколитовых илов присутствовал в изобилии. Наличие большого количества фитопланктона создавало режим насыщения воды кислородом. Накапливавшиеся в это время илы можно именовать фораминиферово-кокколитовыми.

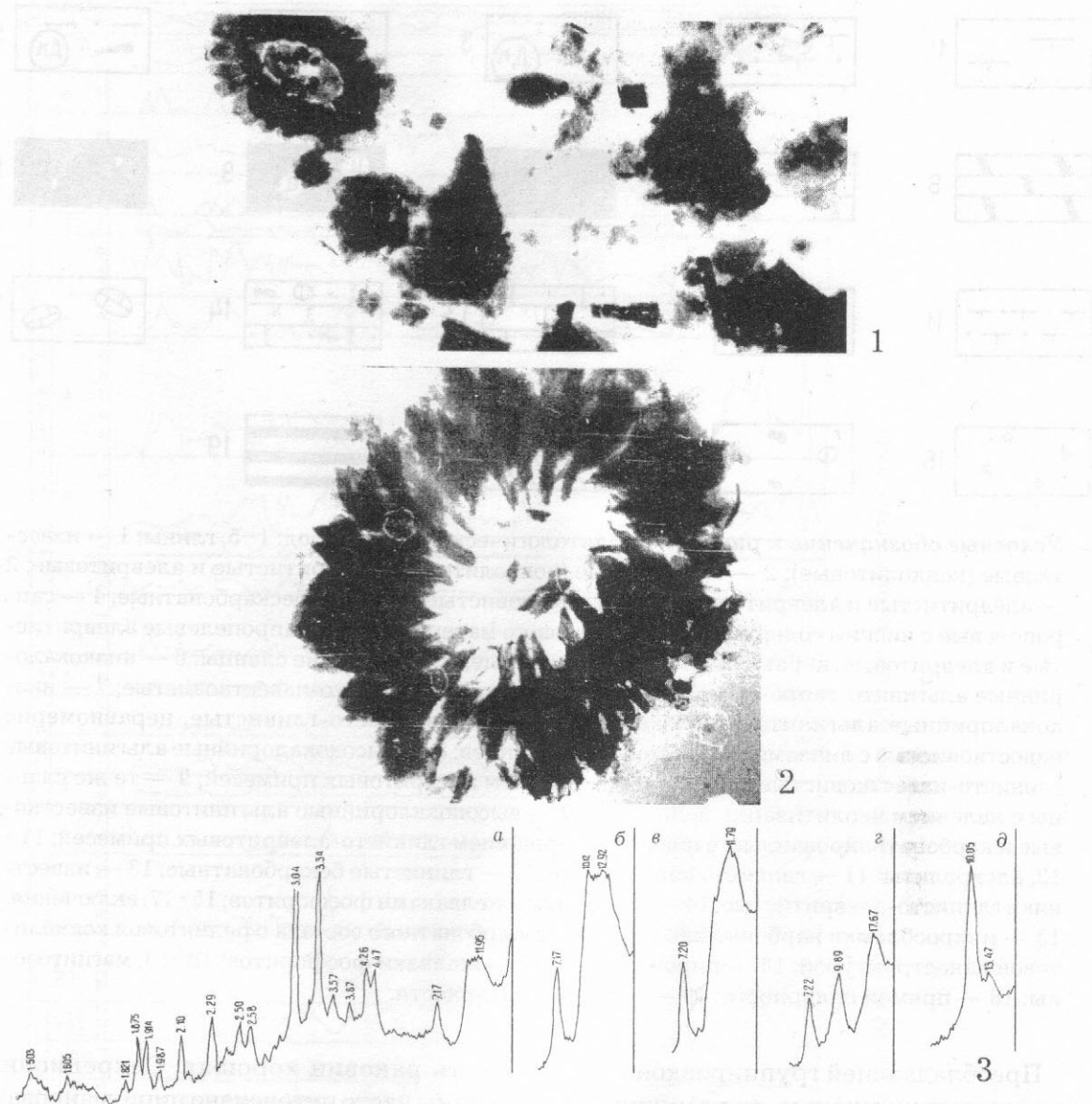


Рис. 7. Замещение кокколитов поликомпонентными агрегатами глинистых минералов.
 1 — глинистые частицы в перефирической зоне кокколита, прозрачной для электронов; ПЭМ, $\times 5000$; 2 — полная псевдоморфоза глинистых минералов по кокколиту; ПЭМ, $\times 18000$; 3 — дифрактограмма: а — естественного неориентированного, б — ориентированного, в — обработанного 10% HCl, г — насыщенного глицерином, д — прокаленного при 600°C образца.

Среди фораминифер присутствовало, судя по орнитокомплексу, сравнительно небольшое количество секреционных форм, имеющих известковую, в основном кальцитовую, раковину. Вероятно, это связано с относительно глубоководными условиями, низкой температурой вод и недо-

статочным количеством в них CaCO_3 для построения известковых раковин. Максимально высокое фораминиферовое число говорит также, вероятно, о низком темпе осадконакопления в условиях глубокого шельфа.

Приведенные данные свидетельству-

ют о формировании известковых глин в наиболее погруженных, депрессионных участках моря (фототаб. VIII–XI).

Глины сапропелевые слабо алевритистые, как и кокколитовые глины, более всего присущи слоям со *Spiroplectammina vicinalis*, хотя встречаются и в других интервалах разреза. Глины имеют темно-серую и серо-коричневую окраску, тонкослоистую текстуру. Микротекстура глин обусловлена чередованием округло-уплощенных обособлений глинистого, сапропелевого вещества и кокколитов; наноструктура четко ориентированная хлопьевидно- и лепестково-кокколитовая (рис. 9). В составе глинистых минералов преобладает смешаннослоистая фаза (монтмориллонит-гидрослюдя) с подчиненной ролью гидрослюды, хлорита, каолинита. Более детальная их диагностика затруднена в связи с невозможностью полного выделения пелитовых компонентов из органо-минеральных сростков.

Органическое вещество ($C_{\text{опр.}} 5-10 \%$) представлено альгинитом и окисленным сапро-коллинитом, а также небольшим количеством УРО в виде аттрита и фрагментов тканей растений, попавших в бассейн седиментации с островов и (или) с континента. Ориентированное расположение органо-минеральных хлопьев свидетельствует о их спокойном осаждении в глубоких частях водоема.

Таблица 2. Экологическая классификация двусторчатых моллюсков, гастropод, брахиопод и иглокожих фазы Dorsoplanites panderi.

	1	2	3	4	5	6	7	8	9	10	11	12	13	14	15	16	17
	I	II	III	IV	V	VI	VII										
<i>Astarte</i>	+																
<i>Bucania</i>	+	+															
<i>Oxytoma</i>																	
<i>Inoceramus</i>	+																
<i>Phacoides</i>																	
<i>Entolium</i>																	
<i>Parallelodon</i>																	
<i>Cyprina</i>																	
<i>Berlieria</i>																	
<i>Dentalium</i>																	
<i>Rhynchonella</i>																	
<i>Lingula</i>																	
<i>Rhabdocidaris</i>																	

Условные обозначения: I–IV, I–17 — экологические группы; I — этиологические: 1 — прикрепляющиеся; 2 — погружающиеся; 3 — перемещающиеся; II — трофические: 4 — фитофаги, хищники; 5 — сестонофаги неподвижные; III — эдафические: 7 — предпочитающие песчано-илистые грунты; 8 — илистые грунты; 9 — твердый субстрат; 10 — эвритопные. IV — гидродинамические: 11 — предпочитающие слабую гидродинамику; 12 — реофильные. V — батиметрические: 13 — эврибатные; 14 — мелководные; VI — кислородные: 15 — стенооксигибонтные; 16 — эвриоксигибонтные. VII — термальные: 17 — эвритермные (Сакс, Захаров, 1979).

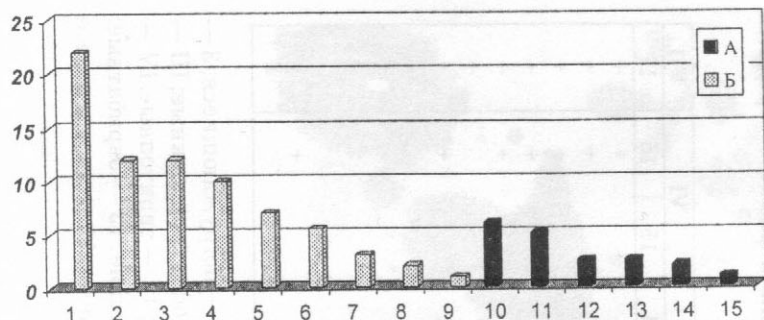


Рис. 8. Состав комплекса фораминифер в кокколитовых глинах. А — секреционный бентос, Б — агглютинирующий бентос; виды: 1 — *Ammobaculites infravolgensis* Dain, 2 — *Kutsevella haplophragmiooides* (Furss. et Pol.), 3 — *Spiroplectammina vicinalis* Dain, 4 — *Ammobaculites bellus* Jakovl., 5 — *Haplophragmiooides volgensis* Mjatl., 6 — *Gaudryinella decurvata* Dain, 7 — *Haplophragmium subaequalis* (Mjatl.), 8 — *Ammodiscus giganteus* Mjatl., 9 — *Triplasia elegans* Mjatl., 10 — *Sigmoilina subpanda* (Lloyd), 11 — *Lenticulina infravolgaensis* (Furss. et Pol.), 12 — *Saracenaria pravoslavlevi* (Furss. et Pol.), 13 — *S. mirabilissima* (Furss. et Pol.), 14 — *Marginulinopsis embaensis* (Furss. et Pol.), 15 — *Quinqueloculina mitchurini* Dain.

Относительно хорошая сохранность кокколитов и альгинита, вероятно, связана с их быстрым захоронением и со значительным разбавлением алевро-пелитовыми частицами.

Диагенетические процессы протекали в окислительных и окислительно-востановительных условиях — наряду с пиритом в осадках образовывался глауконит, отмечаются следы трехвалентного железа.

Сапропелевые глины, по сравнению с кокколитовыми, являются относительно мелководными образованиями, однако, судя по хорошей сортировке частиц, отлагались в акватории, удаленной от берега. Относительно низкие концентрации микроэлементов ($\Sigma C \approx 1200$ г/т, см. рис. 6), по-видимому, связаны с незначительным поступлением пирокластического материала в период их формирования.

Оритокомплекс макроостатков рассматриваемого литотипа представлен единичными крупными раковинами двусторчатых моллюсков, гастропод, аммонитов (*Pavlovia*, *Zaraiskites*). Иногда наблюдаются ходы донных роющих организмов. Та-

фономический тип орбито-комплекса рассеянный, что указывает на спокойную гидродинамику. По-видимому, с этим же связана обедненность придонных вод сестоном и, как следствие, малочисленность бентосного биоценоза, состоящего из неподвижных сестофафов — бухий и иноцерамов. Так же немногочисленны и аммониты вследствие скучности пищевых ресурсов.

Тафономические и экологические особенности свидетельствуют вероятнее всего о достаточно большой глубине и в общем не противоречат выводу по минералого-геохимическим данным о возможном формировании вмещающих образований в депрессионных впадинах. Присутствие гастропод-фитофагов (*Berlieria taeotis*), характеризует достаточную для развития макрофитов освещенность, что при глубинах до 150–200 м может быть обеспечено прозрачностью вод и, следовательно, также индексирует спокойную гидродинамику.

В сапропелевых глинах рассматриваемого литотипа содержится довольно большое количество остатков фораминифер. Фораминиферовое число колеблется от 150 до 500 единиц; количество видов достигает 25. Состав близок комплексу кокколитовых глин, но имеются отличия — отсутствуют крупные песчаные формы, такие как *Ammodiscus giganteus* Mjalt., *Haplophragmium subaequalis* (Mhatl.), *H. dissepsum* (E. Byk.) *Triplasia elegans* Mjatl. и др. Характерной особенностью палеооценоза является значительное количество лентикулинов (20 %), среди которых *Lenticulina kaschpurica* (Mjatl.), *L. biexcavata* (Mjatl.) обычно встречаются в сапропелевых глинах с довольно высоким содержанием ОВ (рис. 10).

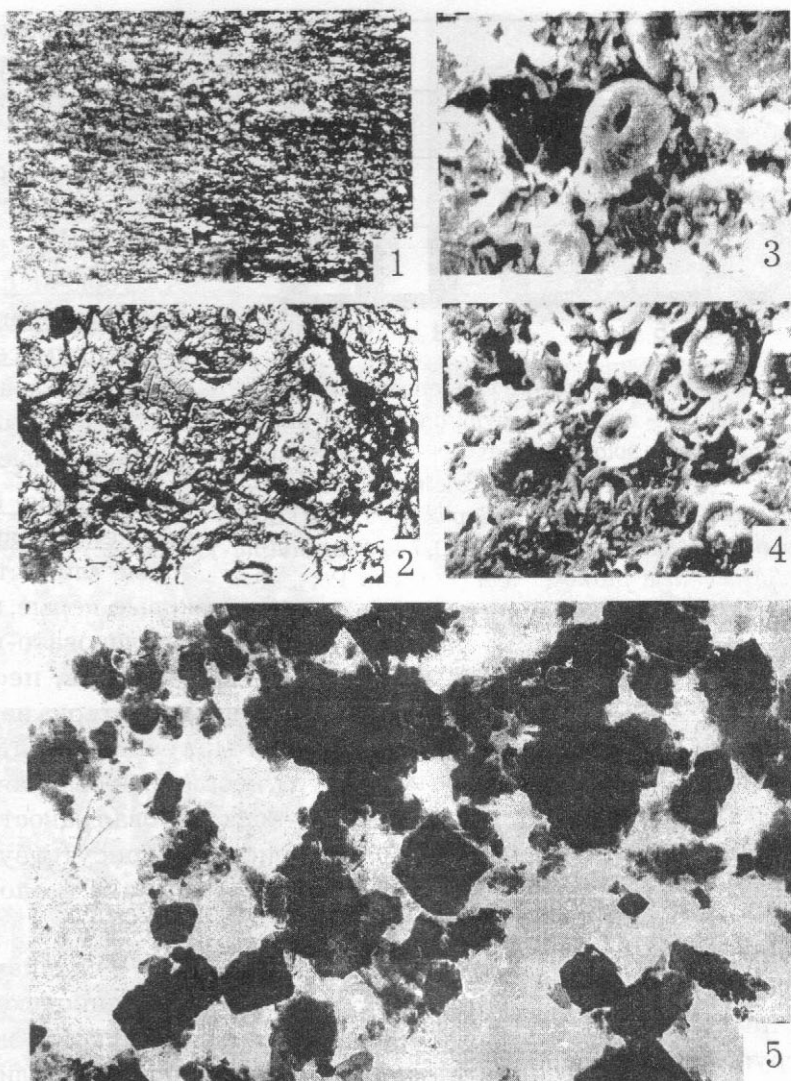


Рис. 9. Глины сапропелевые с низким содержанием алевритового материала. 1 — микролинзовое строение глин, поляризационный микроскоп, $\times 100$, светлое — скопления кокколитов, темное — микролинзы альгинита и сапроколлинита; 2 — ПЭМ, реплика, $\times 5000$; 3—4 — относительно упорядоченная хлопьевидно- и лепестково-кокколитоваяnanoструктура глин: 3, 4 — РЭМ, $\times 3000$, 5 — ШЭМ, $\times 7500$; 6 — дифрактограмма: а — естественного неориентированного, б — ориентированного, в — обработанного 10% HCl, г — насыщенного глицерином, д — прокаленного при 600°C образца.

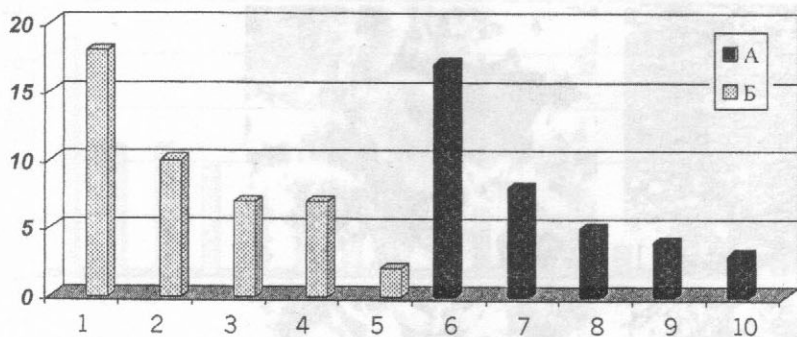


Рис. 10. Состав комплекса фораминифер в сапропелевых глинах. А — секреционный бентос, Б — агглютинирующий бентос; названия видов: 1 — *Haplophragmoides volgensis* Mjatl., 2 — *Ammobaculites infravolgensis* Mjatl., 3 — *Spiroplectammina vicinalis* Dain, 4 — *Gaudryinella decurvata* Dain, 5 — *Kutsevella haplophragmoides* (Furss. et Pol.), 6 — *Lenticulina infravolgaensis* (Furss. et Pol.), 7 — *Marginulina robusta* (Reuss), 8 — *Saracenaria pravoslavlevi* (Furss. et Pol.), 9 — *Nodosaria raphanus* Reuss, 10 — *Lenticulina perrara* K. Kuzn.

Соотношение экологических типов примерно равное. В разных пробах наблюдаются расхождения до 2–4 %. Сохранность раковин и их размеры не остаются постоянными. В нижней части разреза преобладают мелкие песчаные формы, часто деформированные, пиритизированные. Секреционные формы здесь также очень мелкие со сглаженной скульптурой. В слоях *Ammobaculites infravolgensis*, напротив, лидирующей группировкой являются крупные ребристые цитарии и фарфоровидные лентикулины и сараценарии с массивными ребрами.

Разнородный экологический состав фораминифер, в общем нормальные размеры и хорошая сохранность раковин, вероятно, могут указывать на относительно глубоководные условия, достаточную аэрацию и нормальную соленость вод, оптимальную температуру, спокойную гидродинамику. Возможно, преобладание агглютинирующих форм и их мелкие размеры в сапропелевых глинах низов разреза связано с более низкими температурами и затрудненным газообменом в соответствующий интервал времени. Из изложенного следует, что сапропелевые слабо алевритистые глины формировались, вероятнее

всего, в относительно глубоких, возможно, депрессионных участках морского бассейна с нормальной соленостью, но ограниченной проточностью вод (фототаб. XIII).

Горючие сланцы с низким содержанием алевритовых примесей подразделяются на два подтипа: а) высококалорийные; б) низкокалорийные.

Горючие сланцы высококалорийные альгинитовые глинистые, известковые, серые, коричневых и зеленовато-коричневых оттенков, цеолитизированные. Для них характерна нечеткая микролинзовая микротекстура, пелитовая структура, неориентированная рыхлая лепестково-кокколитоваяnanoструктура вещества (рис. 11). Присутствуют в слоях *Mironovella gemina* и в слоях *Ammobaculites infravolgensis*.

Содержание C_{opt} в сланцах изменяется от 21 до 29 %. Органическое вещество представлено свежим светло-желтым альгинитом, образующим микролинзы толщиной от 0,1 до 0,3 мм, уплощенные и выпуклые, что свидетельствует о слабой деформации их в период уплотнения (Кулева и др., 1989; Букина и др., 1985; Букина, 1988). Благодаря таким условиям сохранились хорошо определяемые коккосферы (рис. 12 (1)), редкие остатки талломов сине-зеленых водорослей, осциллятории, изящные кокколиты ($< 0,005$ мм) (рис. 12 (2)). Возможность участия в образовании ОВ различных фотосинтезирующих организмов рассмотрена В. М. Горленко и Н. Б. Погребновой (1987).

Зольность сланцев составляет 50–60 % (см. рис. 6). Она обусловлена наличием тонкодисперсного глинистого вещества, известковых кокколитов, отчасти замещенных клиноптилолитом (рис. 13) (Яночкина, Бу-

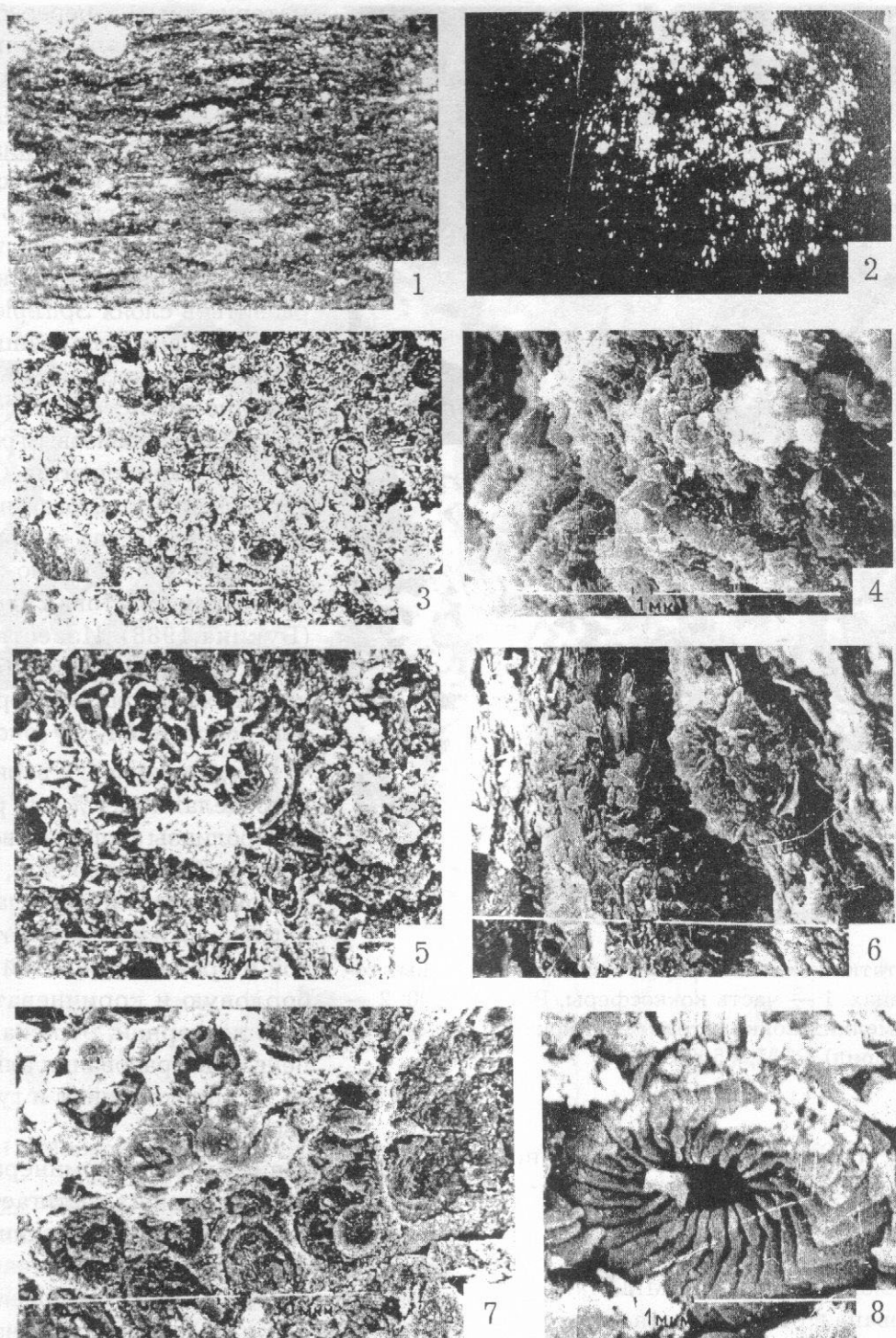


Рис. 11. Высококалорийные альгинитовые горючие сланцы. 1 — тонкое микролинзовое строение горючих сланцев, поляризационный микроскоп, $\times 250$, поляроиды скрещены; темное — альгинит, светлое — микролинзы, переполненные кокколитами, вверху слева — крупная коккосфера; 2 — то же в плоскости, параллельной напластованию, видна округлая форма и лучистое угасание известковых кокколитов; 3—6 — рыхлая лепестково-кокколитовая наноструктура сланцев: 3 — РЭМ, $\times 2000$; 4—6 — РЭМ, $\times 4000$, 7 — остаток крупной коккосферы, РЭМ, $\times 4000$; 8 — строение кокколита, РЭМ, $\times 10000$.

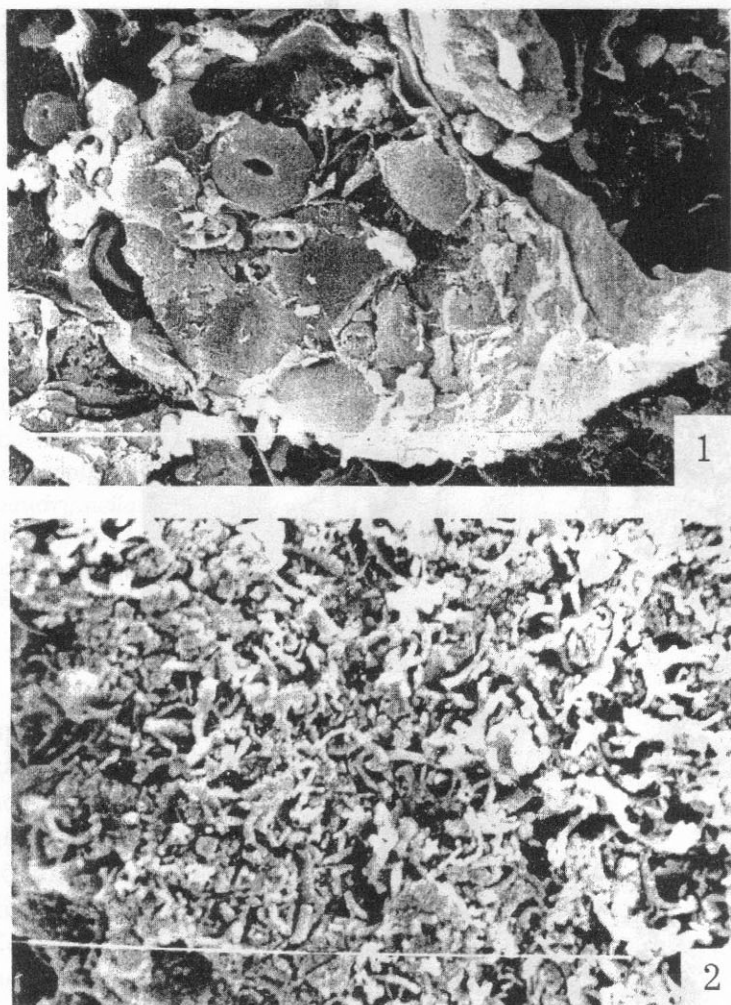


Рис. 12. Остатки кокколитофорид в высококалорийных горючих сланцах. 1 — часть коккосферы, РЭМ, $\times 3000$; 2 — скопления мелких кокколитов (гаметофитных поколений кокколитофорид), РЭМ, $\times 5000$.

кина, 1985), тончайших осколков вулканического стекла и камуфлированной пирокластики. В составе глинистых частиц преобладают гидрослюдя, монтмориллонит и смешаннослойная фаза ГС-ММ. Часть из них образована в результате гальмиролиза пепловых компонентов. Роль аллотигенных глинистых минералов (каолинита и хлорита) снижена. Аномально высокие содержания свинца, молибдена, кобальта, бора, а также значительные количества растворимой кремнекислоты (см. рис. 6), по-видимому, также связаны с пепловым

материалом и его переработкой. Аналогичные явления описаны в баженовской свите Западной Сибири (Ван, Казанский, 1985).

Горючие сланцы низкокалорийные альгинито-сапроколлинитовые глинисто-алевритово-известковистые темносерые, и серо-коричневые; развиты в слоях *Spiroplectammina vicinalis*. Для сланцев характерна тонкослоистая и линзовидно-слоистая текстура с четким микролинзовидным распределением компонентов. Структура алевро-пелитовая, наноструктура вещества — ориентированная хлопьевидно-лепестково-кокколитовая (рис. 14) (Букина, 1988). Известковистость пород связана с обилием крупных кокколитов спорофитных поколений ККФ (рис. 15).

Содержание $C_{\text{опр.}}$ варьирует в пределах 9–24 % (см. рис. 6). Микролинзы сапропелевого вещества более плоские, чем в высококалорийных сланцах, окраска их изменяется от желтой и оранжево-желтой через бордовую и коричневато-бурую до черной, отражая степень преобразования альгинита в сапроколлинит и гуминовые кислоты.

Содержание глинистых минералов в низкокалорийных сланцах достигает 60 %, но выделение их путем отмучивания затруднено, поскольку пелитовые частицы образуют сростки с ОВ на субмолекулярном уровне. При просмотре суспензий на ПЭМ определяется смешаннослойная фаза (ГС-ММ), гидрослюдя и хлорит. Многие частицы, импрегнированные ОВ, становятся непрозрачными для электронов (рис. 16). Алевритовый материал в сланцах очень тонкий ($< 0,05$ мм) и неоднородный. В одних прослоях преобладают слюды,

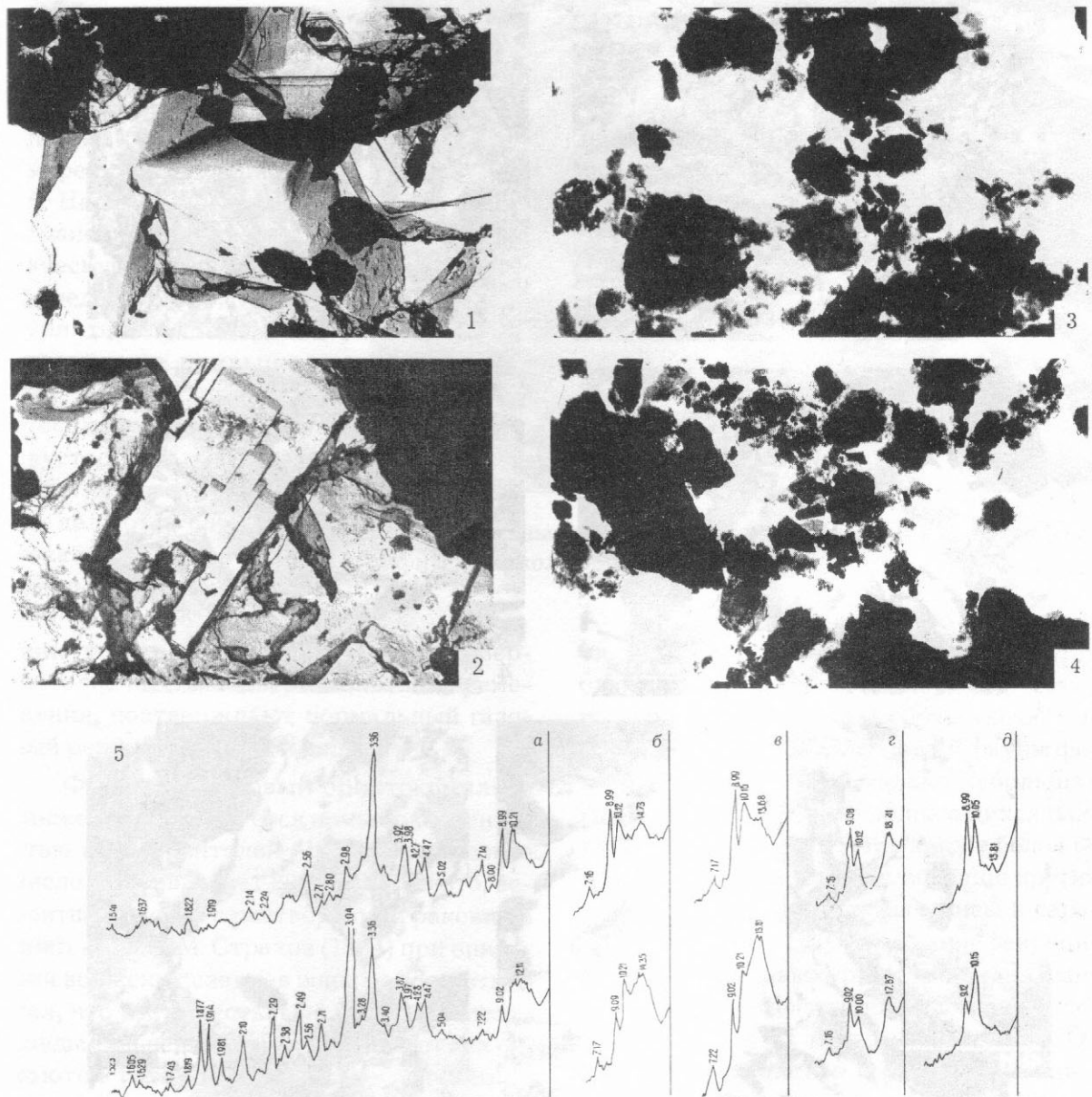


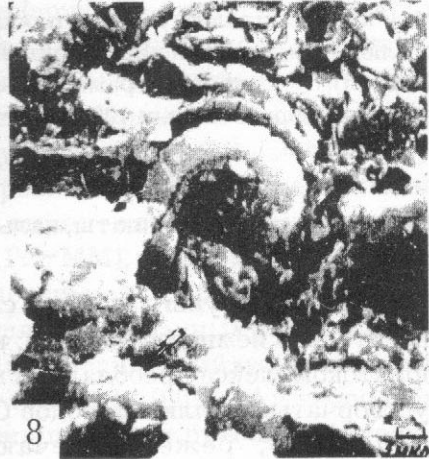
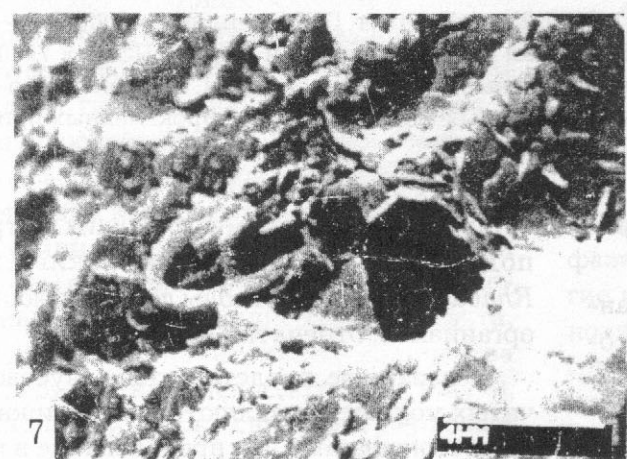
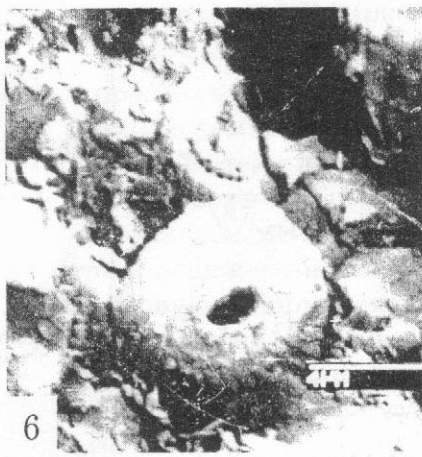
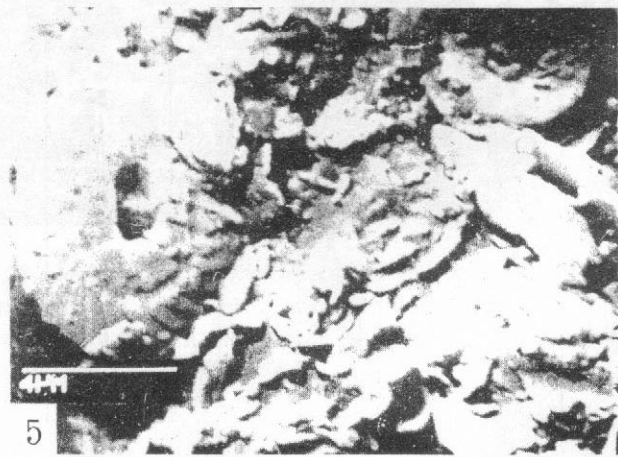
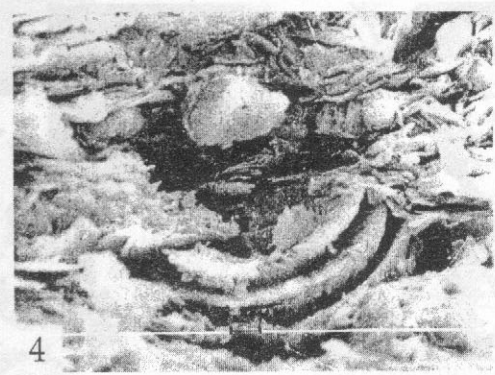
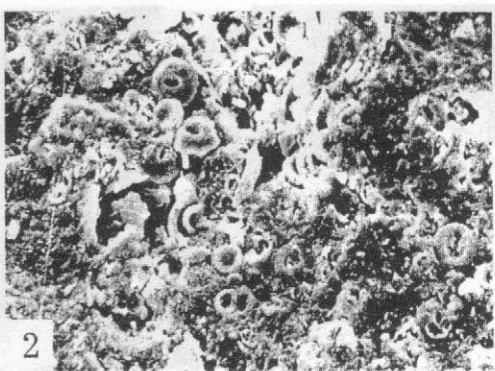
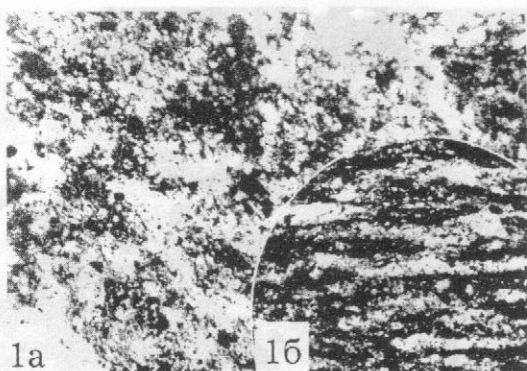
Рис. 13. Минеральный состав дисперсных компонентов высококалорийных горючих сланцев. 1 — клиноптилолит, ПЭМ, реплика, $\times 6000$; 2 — гейландит, ПЭМ, реплика, $\times 6000$; 3,4 — гидрослюдя, монтмориллонит, смешанно-слойная фаза — ГС-ММ и другие, ПЭМ, $\times 7500$ (сuspension); 5 — дифрактограммы: а — естественных неориентированных, б — ориентированных, в — обработанных 10% HCl, г — насыщенных глицерином, д — прокаленных при 600°C образцов.

других — кварц, полевые шпаты, кальцит, обломки кремнистых пород.

Остатки макрофaуны в горючих сланцах относительно немногочисленны, в составе орнитокомплекса преобладают мелкие двустворчатые моллюски родов *Oxytoma*, *Phacoides*, реже встречаются

астарты, иноцерамы, много мелких гастропод *Berlieria*, единичны морские ежи *Rhabdocidaris*, редки ходы донных роющих организмов, отпечатки водорослей.

Указанные представители двустворчатых моллюсков являются неподвижными сестонофагами. Их преобладание в па-



леобиоценозе, наряду с тафономическими признаками (тип орбитокомплекса — неравномерно-рассейанный) указывает на умеренную гидродинамику. Наличие фитофагов-берлиерий фиксирует фотическую зону пелагиали и, следовательно, глубины сублиторальной области бассейна не привышали 100–150 м. Преимущественно мелкие размеры двустворчатых и брюхоногих моллюсков, возможно, являются следствием локальных и кратковременных застойных явлений на грунте, тогда как

присутствие аммонитов, способных совершать значительные вертикальные перемещения, подтверждают нормальный газовый режим придонных вод.

Фораминиферовый орбитокомплекс также характеризуется немногочисленностью представителей (фораминиферовое число не превышает 200). Отчасти это, вероятно, связано с растворением раковин в диагенезе. Н. М. Страхов (1934) при описании волжских сланцев зоны *panderi* отмечал, что все известковые раковины несут следы сильнейшего растворения, от них остаются только отпечатки с тончайшей кальцитовой пленкой. И далее он отмечает: «раковины растворились в процессе диагенеза под влиянием обильно выделявшегося CO_2 ; первоначально они захоронялись в своем нормальном виде». На поверхнос-

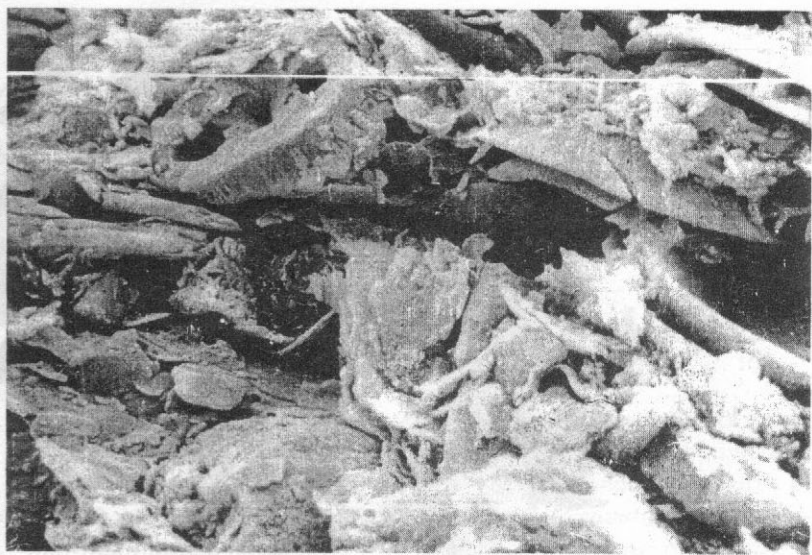


Рис. 15. Крупные ориентированные известковые кокколиты (спорофитных поколений), РЭМ, $\times 6000$.

ти пластов сланцев часто наблюдаются следы раковин фораминифер, разрушающихся при технической обработке образцов, и из комплекса обитающей фауны фораминифер остается только небольшая группа лентикулинов, не поддающихся разрушению. Видовой состав также беден (> 10 видов), кроме лентикулинов чаще других присутствуют маргинулинописцы и сарацинарии (рис. 17). Преобладание секреционных известковых форм, очевидно, свидетельствует о достаточно высокой температуре вод и их насыщенности CaCO_3 . Бедность комплекса, видимо, связана с влиянием кратковременных застойных явлений.

Изложенные данные указывают на особенности формирования горючих сланцев с низким содержанием алевритовых

← Рис. 14. Низкокалорийные горючие сланцы, подтип “б”. 1 а, б — микролинзовое строение сланцев. Поляризационный микроскоп, $\times 100, 200$; а — вид в плоскости, перпендикулярной напластованию; б — вид в плоскости, параллельной напластованию; светлое — скопление кокколитов; темное — альгинит и сапро-коллинит в сростках с глинистым веществом. Поляроиды скрещены. 2–8 — ориентированная хлопьевидно-лепестково-кокколитоваяnanoструктура сланцев; 2 — РЭМ, $\times 2000$; 3–8 — РЭМ, $\times 4000–5000$.

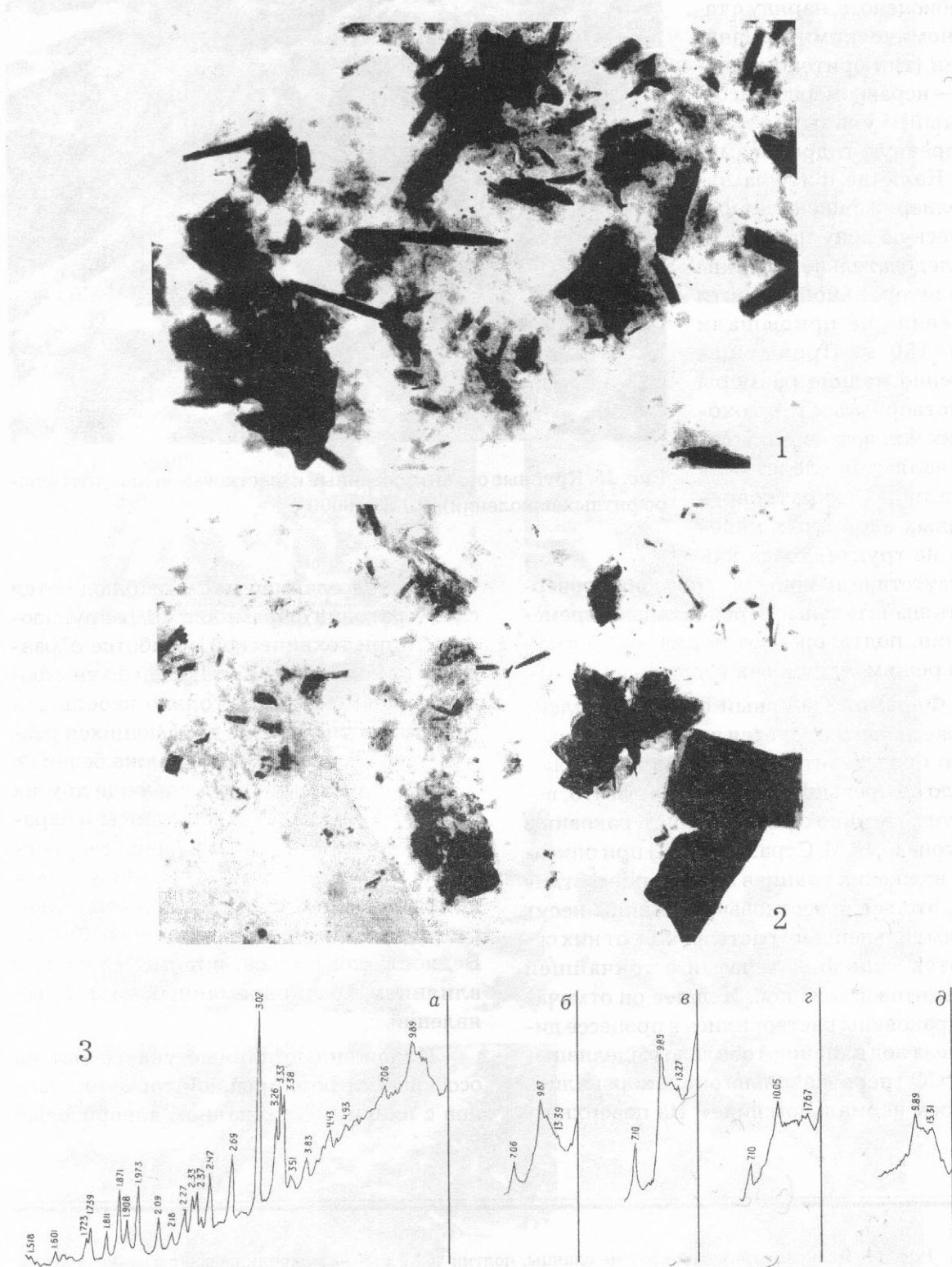


Рис. 16. Глинистые частицы, импрегнированные ОВ. Смешаннослойная фаза (ГС-ММ), щепковидная гидрослюда, хлорит, и галлуазит, ПЭМ 1 — $\times 18000$; 2 — $\times 12000$; 3 — дифрактограмма: а — естественного неориентированного, б — ориентированного, в — обработанного 10% HCl, г — насыщенного глицерином, д — прокаленного при 600° С образца.

примесей. Вероятно, в засушливых, относительно глубоководных и депрессионных участках морского бассейна, оно сопровождалось пеплопадами в периоды активизации вулканической деятельности. Для обстановки образования подтипа «б» характерны повышенные скорости накопления алевро-глинистых компонентов и скелетных элементов кокколитофорид при пониженной продуктивности этих водорослей.

Глины известковые (кокколитовые) алевритистые и алевритовые светло-серые, массивные с беспорядочной микротекстурой, неоднородной тонкообломочной и кокколитовой наноструктурой, распространены в большей или меньшей степени по всему разрезу зоны *Dorsoplanites panderi*, но чаще приурочены к ее верхней части.

По сравнению с известковыми глинами более древних стратонов, в них увеличено содержание частиц алевритовой размерности при относительном сходстве химического состава (см. рис. 6). В массе глинистого вещества и рассеянных кокколитов наблюдаются осколки призматического слоя раковин, окатанные фрагменты кокколитового ила, мелкие копролиты, кварц, полевые шпаты, глауконит, обломки кремнистых пород (аксессории редки). Резко снижено содержание халько- и литофильных элементов (Co, Zn, Cu, V, Cr, Ti, рис. 6). Повышенены концентрации марганца и стронция — элементов, изоморфно связанных с кальцитом скелетов кокколитофорид и другой органики.

Глинистая составляющая полиминеральная (гидрослюдя + монтмориллонит + каолинит) с примесью хлорита, галлуазита (рис. 18). Наличие кальциевого поглощенного комплекса в межслоевых проме-

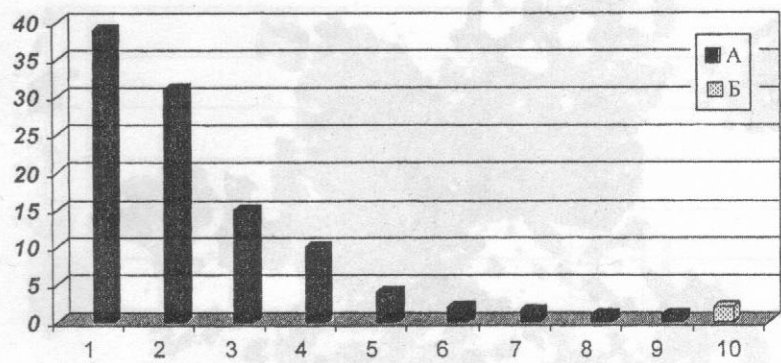


Рис. 17. Состав комплекса фораминифер низкокалорийных горючих сланцев. А — секреционный бентос, Б — агглютинирующий бентос; название видов: 1 — *Lenticulina infravolgaensis* (Furss. et Pol.), 2 — *L. kaschpurica* (Mjatl.), 3 — *L. biexcavata* (Mjatl.), 4 — *Marginulinopsis embaensis* (Furss. et Pol.), 5 — *Astacolus polyptymneus* (Furss. et Pol.), 6 — *Saracenaria mirabilissima* (Furss. et Pol.), 7 — *Marginulina robusta* (Reuss), 8 — *Citharina raricostata* (Furss. et Pol.), 9 — *Tristix temirica* Dain, 10 — *Haplophragmoides sp.*

жутках монтмориллонита и сохранность аутигенного пальгорскита свидетельствуют о щелочном характере среды седimentации с нормальной соленостью ($\text{Sr}/\text{Ba} \geq 1$).

Содержание в породах C_{opt} не превышает 2%. Тип ОВ — сапропелевый с примесью гуминовых компонентов. Количество ОВ, однако, было достаточным, чтобы в осадках поддерживались восстановительные условия, об этом свидетельствуют высокие содержания пирита в тяжелой фракции (98%). Среда диагенеза способствовала сохранению раковин фораминифер и других органических остатков.

В породах рассматриваемого литотипа присутствуют многочисленные остатки разнообразных моллюсков, среди которых доминируют двустворчатые. В оркитокомплексах установлены представители родов *Buchia*, *Astarte*, *Inoceramus*, *Entolium*, *Phacoides*, *Oxytoma*, *Protocardia*, скафоподы *Dentalium*, гастроподы *Berlieria*, аммониты и белемниты. В некоторых оркитокомплексах наблюдаются скопления мелких форм аммонитов и берлиерий. Распределение остатков неравномерно-рассеянное, сохранность хорошая.

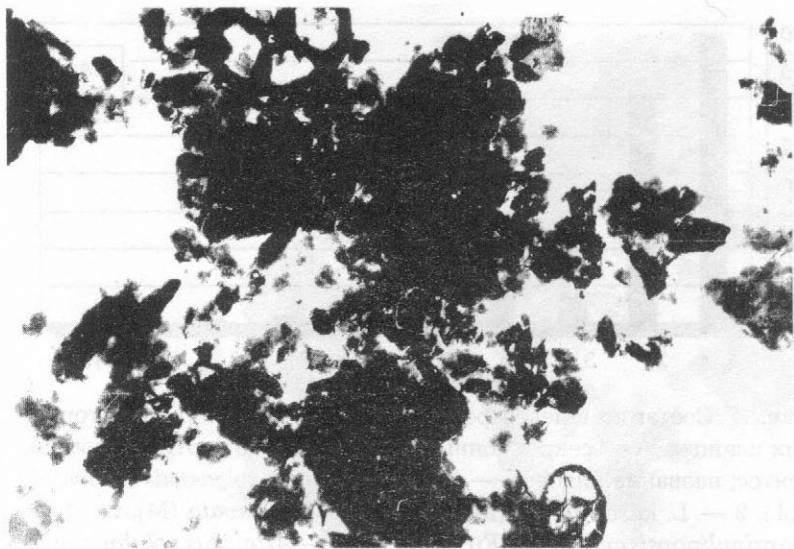


Рис. 18. Агрегированные глинистые минералы: гидрослюд, монтмориллонит, каолинит и кокколиты в известковых алевритовых глинах, ПЭМ, $\times 7500$.

Тафономические признаки орбитокомплекса свидетельствуют об умеренной гидродинамике среды. Это подтверждается и резким преобладанием, судя по орбитокомплексу, среди донного населения двусторчатых моллюсков-сестонофагов (в основном, неподвижных), что обеспечивалось достаточным количеством сестона. Обилие аммонитов было обусловлено, в свою очередь, богатством «пастбищ» и указывает на нормальный солевой и газовый режим вод, однако скопления аммонитовой молоди и мелких берлиерий, а также общая мелкорослость моллюсков (кроме головоногих) возможно связана с кратковременными застойными явлениями. Большое количество фитофагов-берлиерий, очевидно, обусловлено значительным развитием донных водорослей, развитием «лугов» и, следовательно, хорошей освещенностью толщи вод. Глубины, по-видимому, не превышали 50–80 м.

Общая численность фораминифер в комплексах данного литотипа — от 150 до 1500 экземпляров (фораминиферовое число). Количественно преобладают секреционные формы — от 75 до 80%. Они же доминируют и по видовым представителям:

среди 25–30 установленных видов, примерно 20 принадлежат секреционному бентосу. Распределение доминантных видов отражено на рис. 19.

Характерной особенностью комплекса является большое количество хорошо развитых крупных лентикулин — *Lenticulina infravolgaensis* (Furss. et Pol.), *L. sublenticularis* (Schwager), *L. delucida* Dain, *L. translucens* Dain. Раковины фарфоровидные, массивные, плохой сохранности, представлены в основном видом *Kutsevella haplophragmoides* (Furss. et Pol.). Много остракод.

Наличие в палеоценозе большого количества секреционных видов, особенно разнообразных и крупных лентикулин, может говорить о благоприятных условиях обитания этой группы, которая предпочитает хорошо аэрируемые участки с теплой водой, с высоким содержанием CaCO_3 (фототаб. XV–XVI). Присутствие остракод, питающихся в основном водорослями, остатками растений и животных и органическим веществом грунта, позволяет сделать вывод о том, что бассейн был достаточно мелководным, поскольку эти представители ракообразных обычно обитают не глубже фотической зоны.

Судя по всем имеющимся данным, формирование рассматриваемых глин проходило в открытых, хорошо прогреваемых заливах мелководного бассейна с нормальной соленостью и с умеренной гидродинамикой. С окружающей суши в бассейн поставлялся неоднократно переотложенный пелитовый и алевритовый материал. Существенное значение имел перенос слабо литифицированного глинисто-кокколитового ила с близрасположенных отмелей. Приуроченные алевритовые глины в основном к слоям с *Marginulina formosa*,

формировались в условиях мелководного бассейна и получили широкое распространение в пределах зоны *Virgatites virgatus*.

Глины серые и темно-серые слабо известковистые, линзами бескарбонатные, неравномерно алевритистые, массивные и неяснослоистые. Присутствуют в виде мало-мощных прослоев в основном в верхней части разреза. Микроструктура породы микролинзовая с субпараллельной оптической ориентировкой глинистых частиц,nanoструктура — хлопьевидная и реликтовая кокколитовая. По данным рентгеноструктурного анализа в составе глин преобладает монтмориллонит (> 50%) с магниевым поглощенным комплексом ($d_{\text{ест. неор.}} = 14,39 \text{ \AA}$, $d_{\text{ест. оп.}} = 14,88 \text{ \AA}$), присутствует гидрослюдя (~ 25%) с разбухающими пакетами, каолинит (~ 15%), хлорит (5–10%). Глинистые минералы часто образуют псевдоморфозы по кокколитам (см. рис. 7). Некоторые из них имеют явно аутигенную природу, а аллотигенные частицы существенно трансформированы. Это явилось результатом активного диагенеза на ранней стадии литификации осадка (Букина, 1988). Примесь алевритовых частиц в отдельных прослоях и пятнах варьирует от 2 до 30%. Материал представлен фрагментами глинисто-кокколитового ила (30%), кальцитом (15%), кварцем (37%), полевыми шпатами (2%) и обломками кремнистых частиц (1,2%). Аксессории встречаются в виде единичных зерен черных рудных минералов, циркона, турмалина.

Высокий коэффициент устойчивости минеральных ассоциаций является показателем поступления материала глубоко выветрелых пород. Выход тяжелой фракции достигает 7–8%. Она почти на 99% состоит из пирита. Это еще раз подчеркивает масштабы восстановительных реакций,

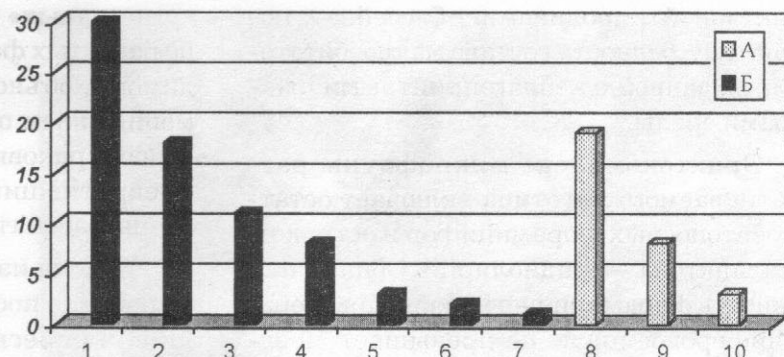


Рис. 19. Состав комплекса фораминифер в известковых кокколитовых глинах. 1 — *Lenticulina infravolgaensis* (Furss. et Pol.), 2 — *Saracenaria pravoslavlevi* (Furss. et Pol.), 3 — *Marginulinopsis embaensis* (Furss. et Pol.), 4 — *Marginulina robusta* Reuss, 5 — *Lenticulina delucida* Dain, 6 — *Saracenaria mirabilissima* (Furss. et Pol.), 7 — *L. ex gr. translucens* Dain, 8 — *Kutsevella haplophragmoides* (Furs. et Pol.), 9 — *Haplophragmoides volgensis* Mjatl., 10 — *H. volgensis inviolatus* Dain.

причиной которых были высокие концентрации ОВ в осадках.

Содержание $C_{\text{орг.}}$ в рассматриваемых глинах колеблется от 3 до 6% (см. рис. 6). Сапро-коллинит и вторичные гуминовые кислоты не образуют здесь линзовидных скоплений, как в других типах пород, а диффузно рассеяны по всей массе вещества. Возможно, они представляют собой продукты микробиальной переработки альгината. Количество гуминовых кислот в аналогичных глинах Чаганской площади достигает 12–15% (Кулева и др., 1989).

Приведенные данные свидетельствуют о неблагоприятных обстановках для консервации ОВ в исходных осадках, что, скорее всего, связано с опреснением депозиционных вод за счет активации речного стока и временного прекращения связи с океаном. Эти явления были наиболее свойственны времени формирования слоев с *Haplophragmoides volgensis* и концу времени *Marginulina formosa*.

В рассматриваемых глинах из макрофаунистических остатков зафиксирован тонкий рассеянный раковинный детрит и редкие обломки раковин, что позволяет более или менее определенно судить лишь

об активной гидродинамике бассейна и, по-видимому, бедности состава макрообитателей, связанной с неблагоприятными факторами среды.

Ориктомокомплекс микрофауны рассматриваемого литотипа включает остатки бентоносных фораминифер и остракод, из планктона — радиолярий. Общая численность фораминифер небольшая, фораминиферовое число не превышает 50 экземпляров, видовой состав беден — не более 10 видов. Характерно, что и количество раковин, и систематический состав в комплексах не выдержаны по разрезу — наблюдается чередование комплексов, состоящих в основном из мелких песчаных форм, с таковыми только из секреционных представителей с фарфоровидными, хорошо скульптированными раковинами.

Агглютинирующий бентос представлен очень мелкими полуразрушенными или деформированными *Haplophragmoides* sp. indet., *Verneuilinoides* sp. indet., *Trochammina* sp. indet., *Kutsevella haplophragmoides* (Furss. et Pol.). Вместе с ними встречаются единичные мелкие и крупные форфоровидные *Lenticulina infravolgaensis* (Furss. et Pol.), *Saracenaria mirabilissima* (Furss. et Pol.) и другие секреционные формы.

В комплексах секреционных видов песчаные формы не встречены: присутствуют мелкие и крупные фарфоровидные и тонкие, прозрачные, ребристые *Marginulinopsis embaensis* (Furss. et Pol.), *Saracenaria mirabilissima* (Furss. et Pol.) и крупные фарфоровидные *Lenticulina* группы *infravolgaensis* (Furss. et Pol.).

Указанная изменчивость состава фораминиферовых комплексов, на наш взгляд, связана с меняющимися условиями осадконакопления в регрессирующем бассейне. Как известно (Мятлюк, 1974), в регressiveную стадию видовой состав комплексов резко обедняется, раковины становятся мелкими, тонкостенными за счет опреснения бассейна и изменения солевого режима в нем. Наличие среди мелких

«угнетенных» раковин, крупных нормально развитых фарфоровидных форм, по-видимому, объясняется интенсивным перемешиванием осадков в период штормов и заносов раковин других биотопов в осадок, превратившийся на стадии диагенеза в глины рассматриваемого литотипа.

Исходя из изложенных данных, формирование последнего литотипа происходило в опресненных лагунах и заливах мелководного регрессирующего бассейна с неустойчивым гидродинамическим режимом — от умеренно-активного до застойного. Возможно, имело место некоторое понижение температуры вод, что способствовало растворению кокколитов, раковин фораминифер и моллюсков.

Глины сапропелевые, алевритистые и алевритовые, неравномерно известковистые, характерны, главным образом, для верхней части разреза, но довольно часто наблюдаются и в слоях *Spiroplectammina vicinalis*. Окраска пород темно-серая, с коричневатым и зеленоватым оттенками, текстура линзовидно-слоистая, нарушенная в отдельных участках ходами роющих организмов. Для них характерна слабая сортировка материала, менее упорядоченная, чем в сапропелевых глинах с низким содержанием алевритовых примесей, микротекстура и неоднороднаяnanoструктура с чередованием хлопьевидно-кокколитовых, реликтово-кокколитовых и существенно хлопьевидных элементов (рис. 20) (Букина, 1988). Последнее обусловлено менее прочными связями глинистых минералов с ОВ.

В составе глинистых минералов фиксируется гидрослюдя с примесью монтмориллонита, хлорита и каолинита, либо смешанно-слойная фаза (гидрослюдя-монтмориллонит) (Кулева и др., 1983 и др.). В глинах низов разреза существенна примесь накрита, галлуазита и метагаллуазита, диккита вместе с пальгорским и амезитом (рис. 21, 22). В слоях *Haplophragmoides volgensis inviolatus* и *Marginullina formosa*, по сравнению с низами разреза, в

глинах увеличивается количество новообразованных и трансформированных в ходе диагенеза глинистых минералов, хлорита и каолинита. Последний обычно служит индикатором распространения, наряду со щелочными, кислых сред, характерных для опресненных бассейнов (Страхов, 1960). Вероятное опреснение вод подтверждается также наличием реликтовых кокколитовых наноструктур, отражающих растворение первичноседиментационных карбонатов в иловых водах с $\text{pH} < 7$ (Букина, 1988).

В то же время хорошая сохранность кокколитов (рис. 22) в существенно известковистых разностях указывает на периодическую нормализацию солености вод либо во всем объеме, либо в придонной части. Подобная стратификация соленых и пресных вод — нередкое явление в сланцеродных бассейнах прошлых эпох (Жмур, 1967, 1989). Неустойчивый химический режим, по мнению этого автора, стимулировал расцвет микроводорослей — сланцеобразователей. Содержание C_{opr} в рассматриваемых глинах достигает 5–12%. Продуктивность ОВ была явно высокой, но его сохранность, вследствие мелководности бассейна или в результате влияния подводных течений, не обеспечивалась. Улучшение аэрации вод вызывало переход альгината в сапроколлинит и гуминовые кислоты. Процесс, скорее всего, был связан с деятельностью бактерий-деструкторов, в результате чего формировались тесные сростки ОВ с глинистыми частицами. В

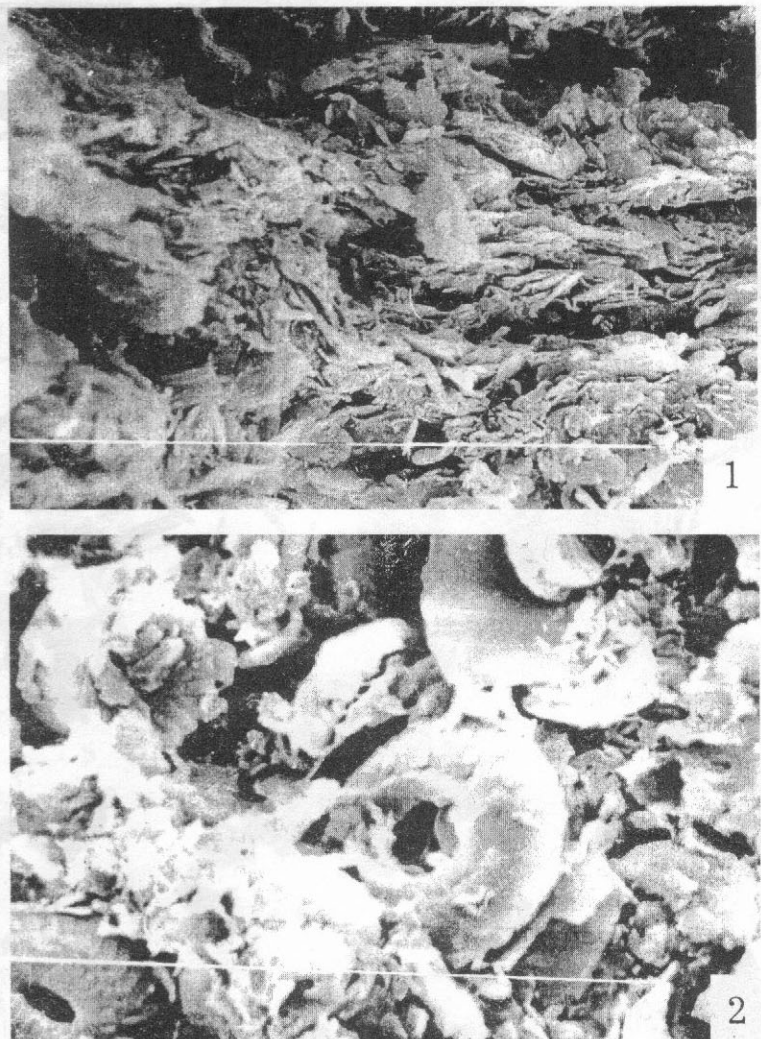


Рис. 20. Неоднородная наноструктура сапропелевых глин. 1 — хлопьевидно-кокколитовая наноструктура с субпараллельной ориентировкой частиц; 2 — нечетко ориентированная наноструктура с обособленным расположением КК и хлопьев глинисто-сапропелевого вещества, ПЭМ (сuspension), $\times 5000$.

осадке в начале диагенеза поддерживалась резко восстановительная среда (98% тяжелой фракции представлено пиритом). Исключение составляют обстановки, связанные с образованием пород, сопряженных со сланцами самого верхнего пласта (см. рис. 6, слой 9), в которых содержание пирита снижено до 15%, а количество лимонита достигает 20%. Это показатель резкого обмеления бассейна и окисления осадков. Подобные явления в бассейнах седимента-

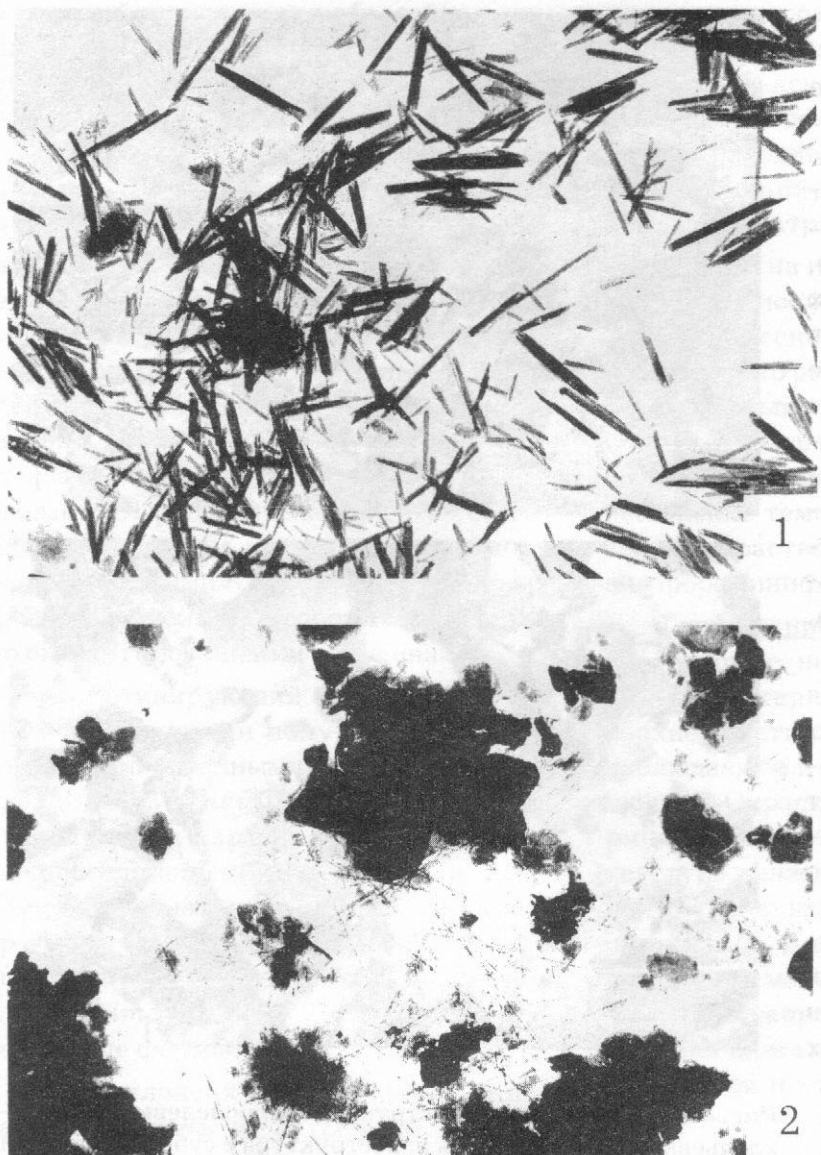


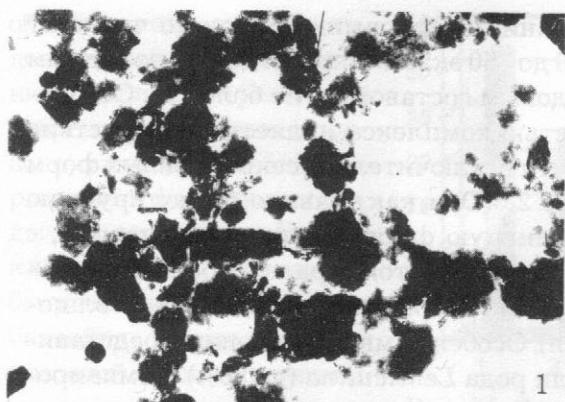
Рис. 21. Аллотигенные глинистые минералы в сапропелевых глинах низов разреза. 1 — галлуазит, ПЭМ (сuspensия), $\times 22500$; 2 — каолинит, хлорит, палыгорскит, ПЭМ (сuspensия), $\times 7500$.

ции были рассмотрены Б. Ф. Игнатовым (1967).

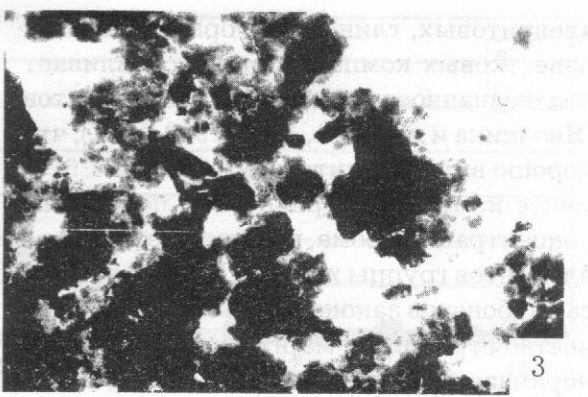
В некоторых случаях альгинит сохранялся, но сильно разбавлялся глинисто-алевритовым материалом, что является закономерным, при увеличении темпа седиментации (Назаркин, 1979). Усиление привноса терригенного материала подтверждается повышением в некоторых прослоях количества фрагментов глин (44–70%) и кварца (7–38%), а в глинах самых верхов разреза — увеличением спектра акцессорных минералов с участием лейкоксена, рутила, сфена, антаза, черных рудных, граната и др.). В сапропелевых глинах других интервалов разреза акцессории крайне редки, поскольку основным источником сноса в позднеюрское время служила пенепленизированная суша с широким развитием кор выветривания (Гуцаки и др., 1969).

Неравномерное распределение в рассматриваемых породах

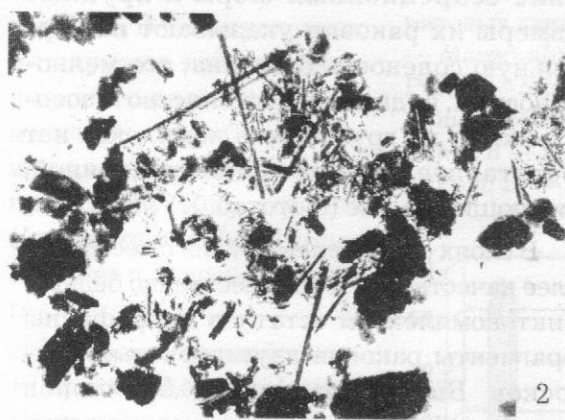
Рис. 22. Глинистые частицы, импрегнированные ОВ. 1 — монтмориллонит и гидрослюдя; 2 — монтмориллонит, хлорит, гидрослюдя, галлуазит; заметна трансформация хлорита, новообразования галлуазита; ПЭМ (сuspensия), $\times 7500$; 3 — сростки монтмориллонита и смешанно-слойной фазы (ГС-ММ) с сапроколлинитом, следы хлорита; 4 — хорошо сохранившийся кокколит в известковой разности сапропелевых глин; 5 — дифрактограммы: а — естественных неориентированных, б — ориентированных, в — обработанных 10% HCl, г — насыщенных глицерином, д — прокаленных при 600°C образцов.



1



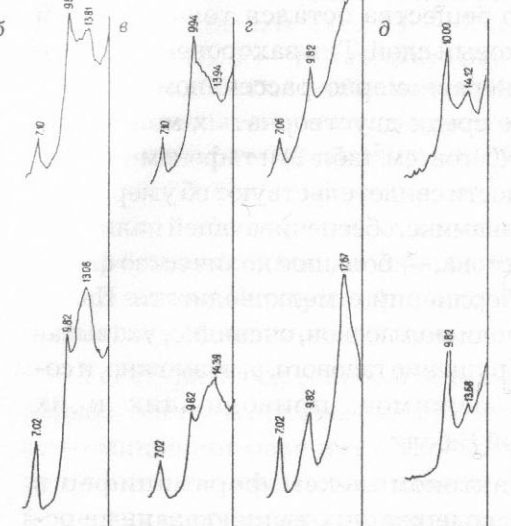
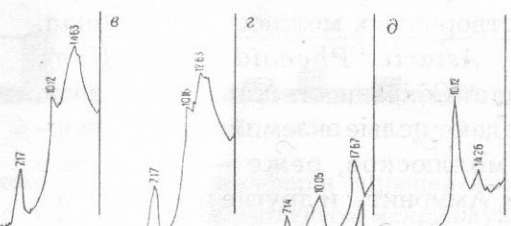
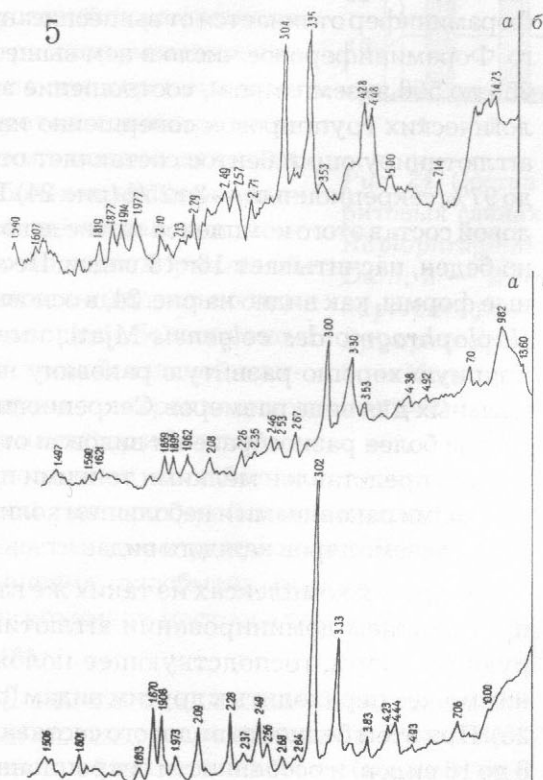
3



2



4



алевритовых, глинистых, органических и известковых компонентов обуславливает неоднозначное поведение микроэлементов (Яночкина и др., 1981, 1982, 1983, 1987), что хорошо видно на литограмме (см. рис. 6). В менее измененных разностях повышенены концентрации хрома, ванадия, кобальта — элементов группы железа. В случае выноса карбонатов закономерно снижено количество стронция и марганца. Все это подчеркивает неустойчивость условий седиментации.

Наиболее типичным для глин, относимых к данному литотипу, является обилие и разнообразие содержащихся в них остатков макрофауны. Это — аммониты, двустворчатые, брюхоногие и лопатоногие моллюски, брахиоподы, косточки и чешуя рыб, ходы илоедов. Много остатков молодых особей, в основном аммонитов и двустворчатых, брюхоногих *Berlieria*. Участками они сплошь покрывают поверхность напластования, обуславливая плитчатую отдельность пород. Разнообразен и таксономический состав орбитокомплексов, особенно среди двустворчатых моллюсков: *Oxytoma*, *Buchia*, *Astarte*, *Phacoides*, *Entolium*, *Inoceramus*. Сохранность остатков хорошая, преобладают целые экземпляры двустворчатых моллюсков, реже — отдельные створки. Аммониты и другие представители также не фрагментированы, но от раковинного вещества остался только тонкий известковый слой. Тип захоронения ближе всего к неравномерно-рассеянному. Преобладание среди двустворчатых моллюсков сестонофагов (см. табл. 2) и тафономические особенности свидетельствуют об умеренной гидродинамике, обеспечивающей наличие в воде сестона, — большое количество фитофагов-берлиерий о мелководности. Наличие молоди моллюсков, очевидно, указывает на нарушение газового, а, возможно, и солевого режимов, приводивших к их массовой гибели.

Орбитокомплексы фораминифер в глинах, содержащих вышеуказанные остатки макрофауны, характеризуются ко-

лебаниями фораминиферового числа от 150 до 350 экземпляров и довольно бедным видовым составом — не более 15. Особенностью комплекса является присутствие почти исключительно секреционных форм (рис. 23). Они, как правило, имеют крупную массивную фарфоровидную раковину, с хорошо развитой и разнообразной скульптурой (ребра, кили, пупочные утолщения). Особенно многочисленны представители рода *Lenticulina* (до 50%). Доминирование секреционных форм и крупные размеры их раковин указывают на нормальную соленость бассейна, его мелководность и, видимо, непостоянство газового режима на грунте — в комплексе нет представителей с песчаной раковиной, обитающих на дне (фототаб. XV, XVI).

В слоях сапропелевых глин с несколько более качественно и количественно бедным орбитокомплексом остатков макрофауны (фрагменты раковин двустворчатых моллюсков *Buchia* sp. indet., брахиопод *Rhynchonella* sp. indet., скафоподы, мелкие берлиерии, чешуя и косточки рыб) комплекс фораминифер отличается от вышеописанного. Фораминиферовое число в нем выше (от 250 до 500 экземпляров), соотношение экологических группировок совершенно иное: агглютинирующий бентос составляет от 75 до 97%, секреционный — 3–25% (рис. 24). Видовой состав этого комплекса также довольно беден, насчитывает 16–18 видов. Песчаные формы, как видно на рис. 24, в основном *Haplophragmoides volgensis* Mjatl., имеют крупную хорошо развитую раковину нормальных для вида размеров. Секреционный бентос более разнообразен в видовом отношении, представлен мелкими тонкими прозрачными раковинами и небольшим количеством экземпляров каждого вида.

В других комплексах из таких же глин, при прежнем доминировании агглютинирующих форм, господствующее положение может переходить к другим видам (рис. 25). При этом бедность видового состава (от 8 до 16 видов) и особенности секреционных форм сохраняются. Количественное пре-

обладание одного-двух видов песчанистых фораминифер при слабо развитом секреционном бентосе связано, очевидно, с неблагоприятными факторами среды для последнего. Не исключено, что это могло быть некоторое опреснение бассейна, не вполне нормальный газовый режим и относительная холодноводность. В таких условиях и получают возможность широкого расселения немногие эврибионтные виды, к которым относятся представители родов *Haplophragmoides*, *Ammobaculites* и некоторые другие.

Указанные особенности орнитокомплексов макро- и микрофауны свидетельствуют о неустойчивости условий формирования глин рассматриваемого литотипа, что хорошо коррелируется с минералого-геохимическими данными. Наиболее четко определяются две обстановки: 1 — мелководная с нормальной соленостью и довольно теплыми водами, большим количеством бентосной макрофауны и секреционных фораминифер и 2 — также мелководная, но с более

низкой температурой вод и изменениями солености в сторону опреснения. Локальные нарушения газообмена на грунте, вероятнее всего имели место и в тех и в других условиях.

Горючие сланцы альгинито-сапроколлинитовые алеврито-глинистые, не-равномерно известковистые с линзами не-карбонатных сланцев, темно-серые с ко-

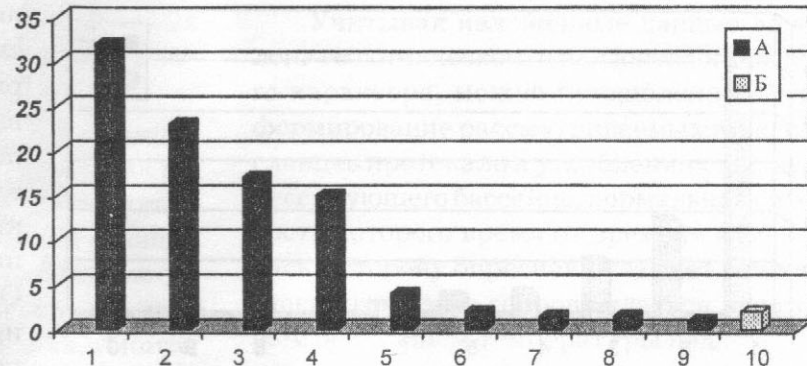


Рис. 23. Состав комплекса фораминифер в сапропелевых алевритовых глинах. 1 — *Lenticulina infravolgaensis* (Furss. et Pol.), 2 — *Marginulina formosa* Mjatl., 3 — *Citharina raricostata* (Furss. et Pol.), 4 — *Saracenaria pravoslavlevi* (Furss. et Pol.), 5 — *Marginulina robusta* Reuss, 6 — *Lenticulina aff. rotulata* Reuss, 7 — *L. ponderosa* Mjatl., 8 — *L. delucida* Dain, 9 — *Saracenaria mirabilissima* (Furss. et Pol.), 10 — *Haplophragmoides volgensis* Mjatl.

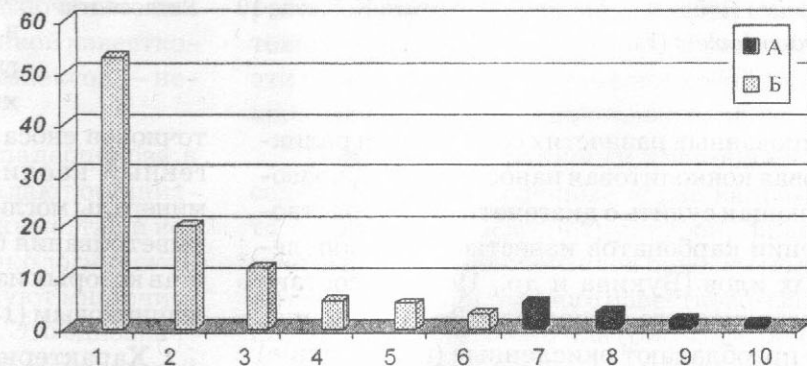


Рис. 24. Состав комплекса фораминифер в сапропелевых алевритовых глинах с бедным орнитокомплексом макрофауны. 1 — *Haplophragmoides volgensis* Mjatl., 2 — *Gaudryinella decurvata* Dain, 3 — *Ammobaculites fontinensis* Terg., 4 — *Kutsevella haplophragmoides* (Furss. et Pol.), 5 — *K. extensus* (Dain), 6 — *Spiroplectammina vicinalis* Dain., 7 — *Denticulina perrara* K. Kuzn., 8 — *Marginulina robusta* Reuss, 9 — *Saracenaria pravoslavlevi* (Furss. et Pol.), 10 — *Lenticulina infravolgensis* (Furss. et Pol.).

ричневатым оттенком до черных; присутствуют в слоях *Haplophragmoides volgensis inviolatus* и *Marginulina tormosa*.

Текстура пород тонкослоистая, линзо-виднослоистая и листоватая, микротекстура — микролинзовая и сгустковая; структура — алевро-пелитовая, наноструктура вещества ориентированная хлопьевидно-лепестково-кокколитовая. В декарбонати-

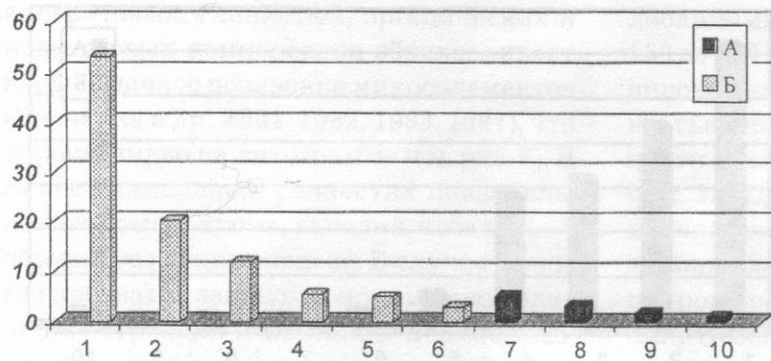


Рис. 25. Состав комплекса фораминифер в сапропелевых алевритовых глинах с бедным орнитокомплексом макрофaуны (видны различия (см. рис. 24) несмотря на постоянство литологического состава) 1 — *Spiroplectammina vicinalis* Dain, 2 — *Gaudryinella decurvata* Dain, 3 — *Kutsevella haplophragmiooides* (Furss. et Pol.), 4 — *Ammobaculites fontinensis* Terg., 5 — *Kutsevella extensus* (Dain), 6 — *Haplophragmoides volgensis* Mjatl., 7 — *Lenticulina infravolgaensis* (Furss. et Pol.), 8 — *Marginulina robusta* Reuss, 9 — *Lenticulina perrara* K. Kuzn., 10 — *Saracenaria pravoslavlevi* (Furss. et Pol.)

зированных разностях сохраняется реликтовая кокколитовая наноструктура, позволяющая судить о диагенетическом растворении карбонатов известково-сапропелевых илов (Букина и др., 1987). В составе органического вещества (13–24%, см. рис. 6) преобладают окисленные (побуревшие) сапропелевые микрокомпоненты с примесью углефицированных растительных остатков и вторичных гуминовых кислот, образованные при разложении альгината аэробными бактериями в ходе диагенеза. Однотипность исходного ОВ с сапропелевым веществом других разновидностей горючих сланцев подтверждена данными рентгеноструктурного анализа и ИК-спектроскопии выделенного из них керогена (Букина и др., 1985).

Зольность рассматриваемых горючих сланцев достигает 60–65% (см. рис. 6) и связана, в основном, с высокими содержаниями глинистых минералов, образующих наряду с органо-минеральными агрегатами, самостоятельные микролинзы с однородной оптической ориентированной частиц. В пелитовой фракции рентгеноструктурным ана-

лизом определяются: гидрослюды, монтмориллонит, хлорит, каолинит, кварц, полевые шпаты, сидерит. Помимо перечисленных минералов на электронномикроскопических снимках определяются палыгорскит и галлуазит. Одновременно с ними ассоциируют в составе алевритовых частиц неустойчивые к выветриванию минералы: эпидот, роговая обманка, биотит и характерный набор литофильных микроэлементов: Cr, V, Ti (см. рис. 6). Эти компоненты пород имеют сходство с продуктами аридного литогенеза, установленными в составе песчано-алеврого-глинистых образований верхнепермско-триасовых источников сноса (Яночкина, 1966). Аллотигенный каолинит и другие глинистые минералы могли поступать из гумидных кор выветривания близлежащих регионов, состав которых изучен В. А. Гуцаки и В. В. Гудошниковым (1979).

Характерным явлением для темно-серых сланцев на стадии диагенеза была трансформация в них аллотигенных глинистых частиц, растворение карбонатов, замещение кокколитов аутогенными глинистыми минералами, в том числе каолинитом и галлуазитом. Видимо, все эти процессы были следствием опреснения бассейна ($\text{Sr} / \text{Ba} < 1$); в пресноводных обстановках могут образовываться горючие сланцы, где место пирита займет сидерит — продукт глеевого углекислотного диагенеза (Юдович, Кетрис, 1988, с. 190). В этих условиях все карбонаты неустойчивы (Curtis, 1980). Аналогичные явления отмечаются в волжских горючих сланцах бассейна р. Печоры (Романович, 1981). Периодические опреснения трактуются этим автором как катастрофические для морской фауны и выдвигаются в качестве ос-

новной причины расцвета примитивных организмов — сланцеобразователей в условиях стрессовых экосистем.

Орнитокомплексы горючих сланцев весьма близки как в качественном, так и в количественном отношении таковым сапропелевых алевритистых глин. В сланцах содержатся обильные и разнообразные остатки макробентоса, это — аммониты, двустворчатые моллюски (*Oxytoma*, *Astarte*, *Phacoides*, *Buchia*, *Entolium*), лопатоногие *Dentalium*, брюхоногие *Berlieria* и брахиоподы *Lingula*. Присутствуют также мелкие косточки рыб и чешуя. Характерны массовые скопления остатков молоди аммонитов и двустворчатых моллюсков. Все раковины и створки целые, следов переотложения не несут, однако, за счет диагенетического растворения карбонатов почти все они сохранились лишь в виде тонкой известковой пленочки. Тип орнитокомплексов — неравномерно-рассеянный.

Экологический состав палеоценоза в общем выдержан — преобладают организмы-сестонофаги как подвижные, так и неподвижные (см. таблицу экологической классификации), присутствуют многочисленные фитофаги (*Berlieria*). Это однозначно говорит об относительно мелководной обстановке (фотическая зона сублиторали), более или менее активной гидродинамике (наличие пищевой взвеси и тип захоронений), и, в целом, о нормальном солевом и газовом режимах. Само обилие фауны в орнитокомплексах свидетельствует о благоприятных условиях жизни. Однако, тут же наблюдаются скопления остатков молоди моллюсков, что можно связать и с кратковременными нарушениями аэрации придонных вод, и с отклонениями от нормальной солености.

Фораминиферы в сланцах не изучены, так как их раковинки разрушаются при технической обработке. При визуальном осмотре керна до нее на плоскостях напластования определяются крупные лентикулины.

Учитывая изложенные данные лито-геохимического и палеонтологического характера, можно предположить, что формирование рассматриваемых горючих сланцев протекало в углублениях дна регрессирующего бассейна, нормальная соленость которого время от времени изменялась в сторону опреснения за счет речного стока, что могло сопровождаться некоторым снижением температуры вод.

Алевролиты серые, светло- и голубовато-серые глинисто-известковые, развиты в слоях с *Marginulina formosa* Mjatl. и в зоне *Virgatites virgatus*, существенно детритовые, массивные и груболинзовидные, линзами бескарбонатные. Они, в основном, сложены частицами размером 0,1–0,01 мм с незначительной примесью песчаных зерен и большим количеством (до 45%) пелитовых компонентов (см. рис. 6). Участками эти образования представляют собой смешанные глинисто-алевритовые породы.

Известковые разности алевролитов содержат многочисленные зерна кальциита с кристаллической структурой, фрагменты призматического слоя раковин моллюсков, окатыши рыхлого известково-глинистого кокколитового ила (рис. 26). Среди прочих терригенных компонентов определяется около 60–80% кварца, от 13 до 40% полевых шпатов, не более 3% обломков кремнистых пород, 0,2–3,4% мусковита, единичных чешуек биотита и хлорита. Минеральная ассоциация ближе к олигомиктовой. Выход тяжелой фракции — 0,2–0,28%. В ней от 50 до 97% составляет пирит, прослойями увеличено содержание аутигенного барита (до 42%), иногда присутствует лимонит (< 5%). Аксессорные минералы представлены единичными зернами рудных, лейкоксенита, рутила, сфена, циркона, дистена, ставролита, турмалина (комплекс устойчивый). Глинистая составляющая на 75–80% сложена монтмориллонитом с примесью хлорита (5–10%), гидрослюды (10–15%), каолинита (5–10%). Гидрослюдя содержит 10–15% разбувающих

пакетов, хлорит значительно выщелочен. Рентгеноструктурными исследованиями определяется небольшое количество тонкодисперсного кварца и сидерита.

По-видимому, на стадии диагенеза часть глинистых минералов была трансформирована. Кальциевый поглощенный комплекс монмориллонита свидетельствует о щелочном характере среды осадконакопления. В линзах, не содержащих карбонатов, монтмориллонит не характерен (рис. 27), а роль каолинита увеличена, что свидетельствует о локальном и непродолжительном опреснении бассейна.

Ориктокомплекс макробентоса в алевролитах крайне беден — единичные неопределенные мелкие створки двустворчатых моллюсков, обломки мелких раковин, рассеянный раковинный детрит. Характер захоронения указывает на активную гидродинамику среды.

Комплекс фораминифер в породах, относимых к рассматриваемому литотипу, характеризуется колебаниями фораминиферового числа от 140 до 340 и представлен почти исключительно секреционными формами при относительно бедном видовом составе — 12–15 видов. Преобладают представители лентикулин, крупные фарфоровидные раковины которых обычно имеют хорошо развитую скульптуру в виде ребер, килей и пупочных утолщений. Агглютинирующие формы единичны, их раковины мелкие, нередко имеют уродливые очертания. По данным исследователей, изучающих современных фораминифер (Дигас, 1969), комплексы с преобладанием секреционных раковин обычно связаны со значительным количеством в

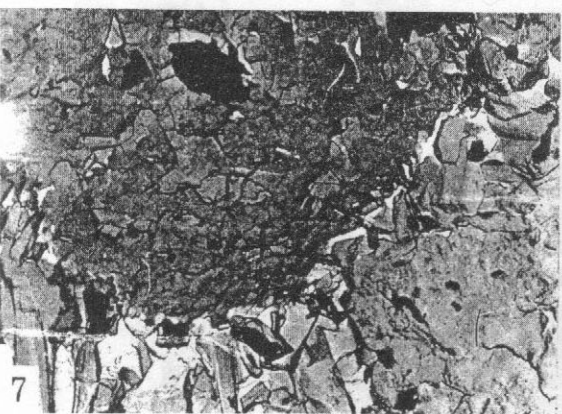
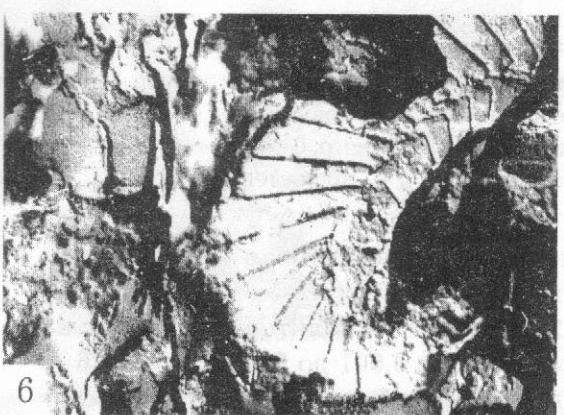
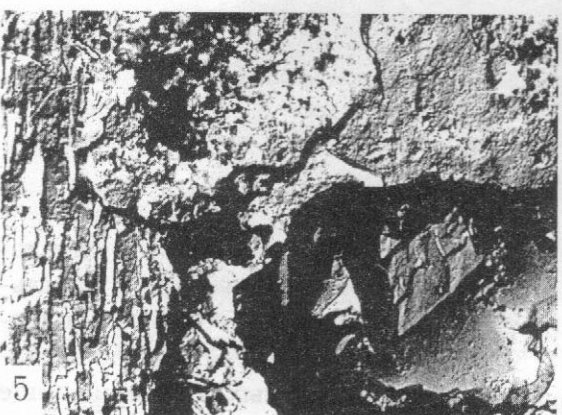
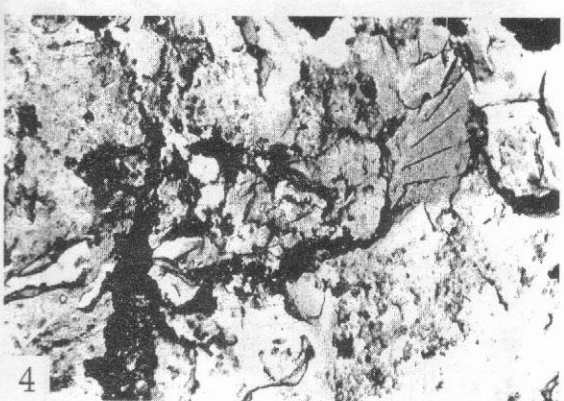
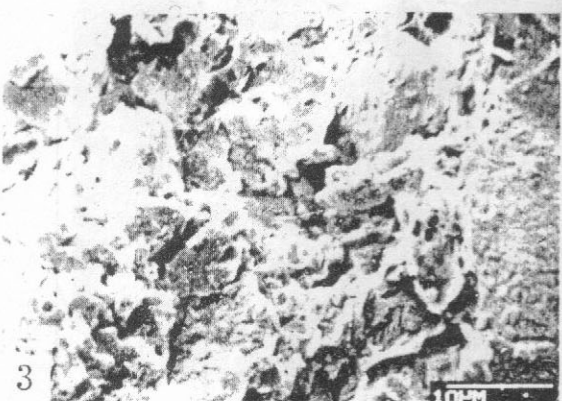
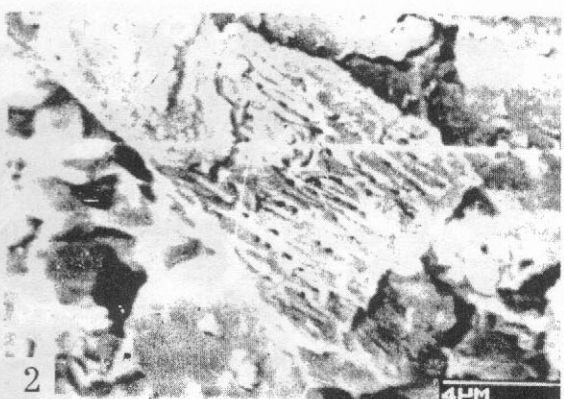
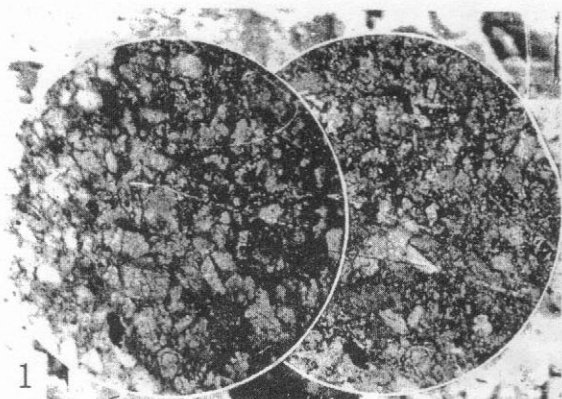
растворе углекислого кальция при достаточно высоких температурах воды. Количественное обеднение комплексов объясняется мелководными неспокойными условиями обитания.

Обилие обломочного материала в рассматриваемом литотипе пород, тафономические и другие особенности ориктокомплексов, а также преобладание фораминифер с секреционной раковиной свидетельствуют о формировании осадков в условиях отмелей в заливах регрессирующего морского бассейна, воды которого были относительно теплыми, обладали в целом нормальной соленостью (фототаб. XVII, XVIII). Однако, вероятнее всего, эта соленость, время от времени, локально и непродолжительно отклонялась в сторону опреснения. Гидродинамика бассейна, очевидно, была активной. Низкие содержания ОВ обусловлены, по-видимому, окислительными процессами в придонных водах и деятельностью разнообразных детритофагов.

Горючие сланцы высококалорийные альгинитовые, известковые и карбонатизированные с низким содержанием глинисто-алевритовых примесей, характерны для верхней части разреза — слоев с *Haplophragmoides volgensis inviolatus* и слоев с *Marginulina formosa*. Разности высокого качества ($C_{opr.}$ 21–36%) образуют пласт на глубине 78,5–79,4 м (сл. 9) (см. рис. 6).

Окраска сланцев светло-коричневая и желтовато-коричневая, текстура — линзо-видно-слоистая с чередованием горизонтальных, пологоволнистослоистых и косослоистых серий. Микротекстура характеризуется нечеткой дифференциацией микролинз альгинита. Наноструктура —

Рис. 26. Алевролиты глинисто-известковые: 1 — алевритовая структура пород, поляризационный микроскоп, $\times 100$. Различаются обломки известняков, комочки известкового ила, кристаллы кальцита, фрагменты раковин. Поляроиды параллельны. 2–8 — обломочная биогенно-детритовая структура, с фрагментами кокколитовой, волокнистой и другой наноструктуры в частицах алевритовой и пелитовой размерности, РЭМ, \times от 1500 до 10000.



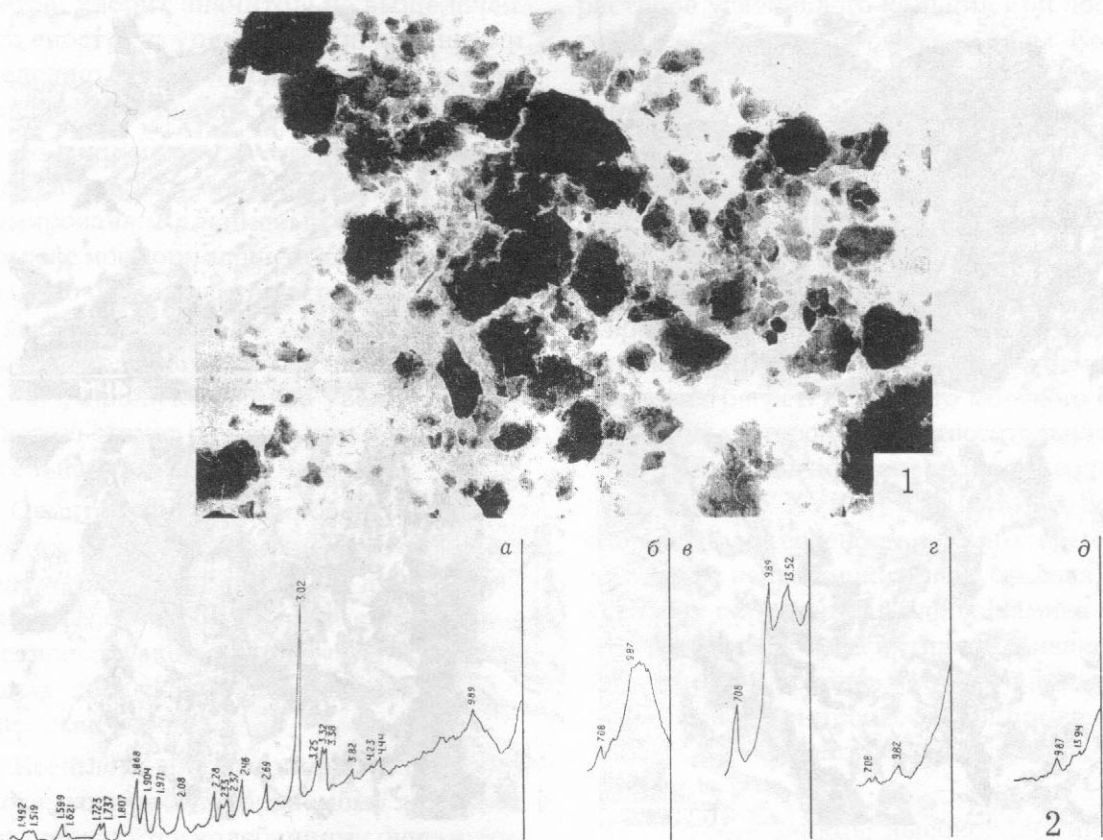
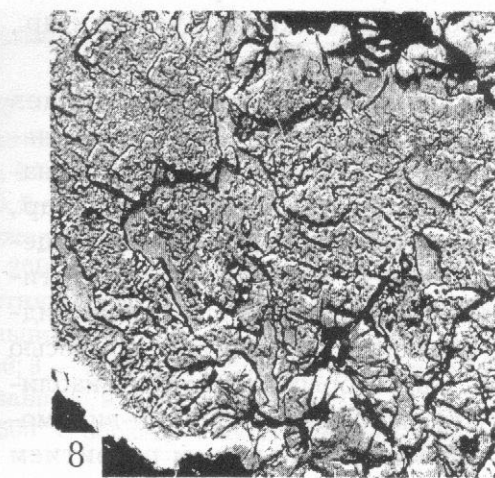
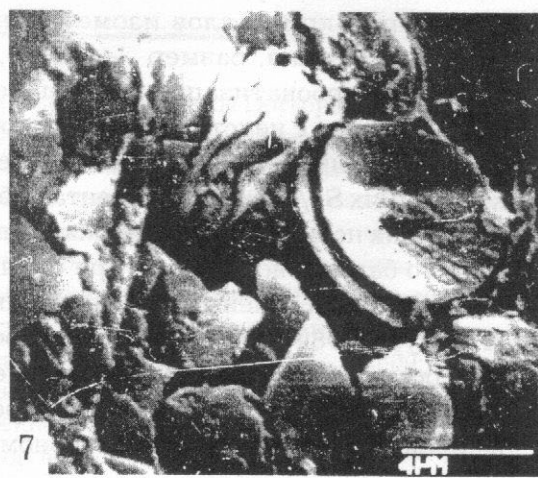
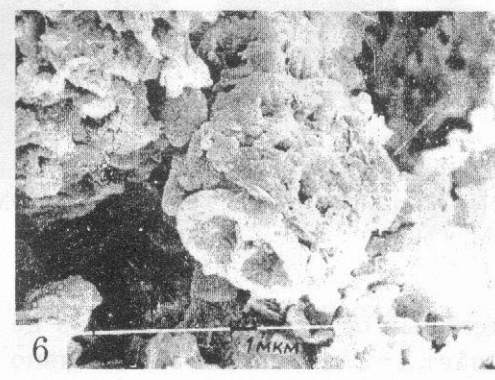
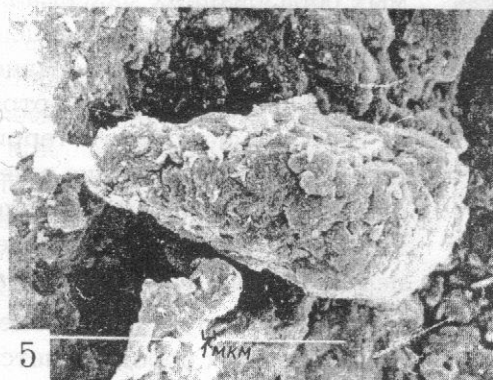
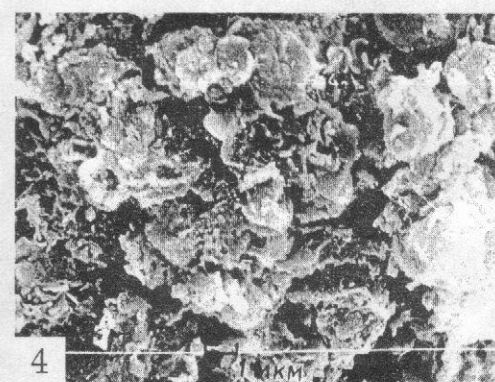
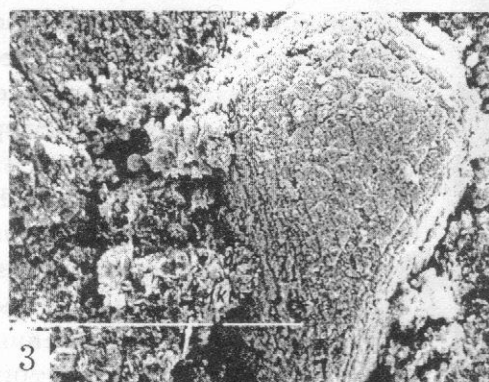
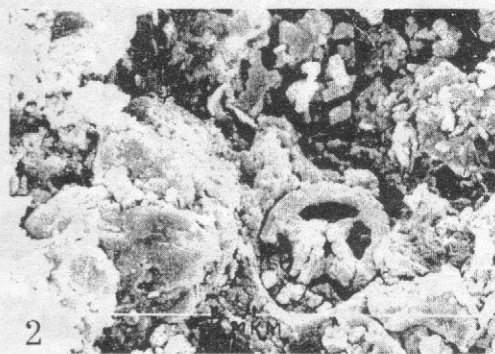
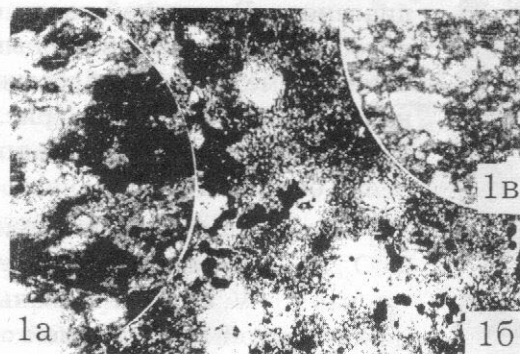


Рис. 27. Глинистая составляющая алевролитов. 1 — заметно преобладание аллотигенных минералов — гидрослюды, хлорита, каолинита, определяется плохая сортировка и слабая окатанность пелитовых частиц, ПЭМ, $\times 15000$; 2 — дифрактограмма: а — естественного неориентированного, б — ориентированного, в — обработанного 10% HCl, г — насыщенного глицерином, д — прокаленного при 600° С образца.

лепестково-кокколитовая неориентированная и кристаллически-зернистая (рис. 28, 29). Размер кокколитов в сланцах сл. 9 колеблется от 0,001 до 0,005, а в сл. 16 — 0,005–0,015 мм. Эти различия в размерах КК связанны с концентрацией в сл. 9 гаметофитных, а в сл. 16 — спорофитных поколений ККФ (Букина, 1988). Часто наблюдаются коккосферы размером 0,03–0,1 мм.

Их внутренняя часть выполнена светло-желтым или почти белым ОВ. В массе альгинита обильны мелкие ($< 0,001$ мм) клетки ККФ без кокколитов — продукты размножения гаметофитных поколений с еще неразвитым скелетом. Ранее эти образования предположительно относились к остаткам бактерий или желто-зеленых водорослей. Примесь спор, углефицированных

Рис. 28. Горючие сланцы высококалорийные альгинитовые известковые и карбонатизированные. 1 — микротекстура сланцев с нечеткой дифференциацией микролинз альгинита. Видны новообразованные кристаллы кальцита и доломита. Поляризационный микроскоп, $\times 100$ – 200 , поляроиды скрещены. 2–8 — наноструктуры сланцев: на снимках 3, 5, 8 — видна реликтовая кокколитовая НС внутри новообразованных кристаллов карбонатов; 2–7 — РЭМ, $\times 2000$ – 4000 ; 8 — ПЭМ, $\times 3000$.



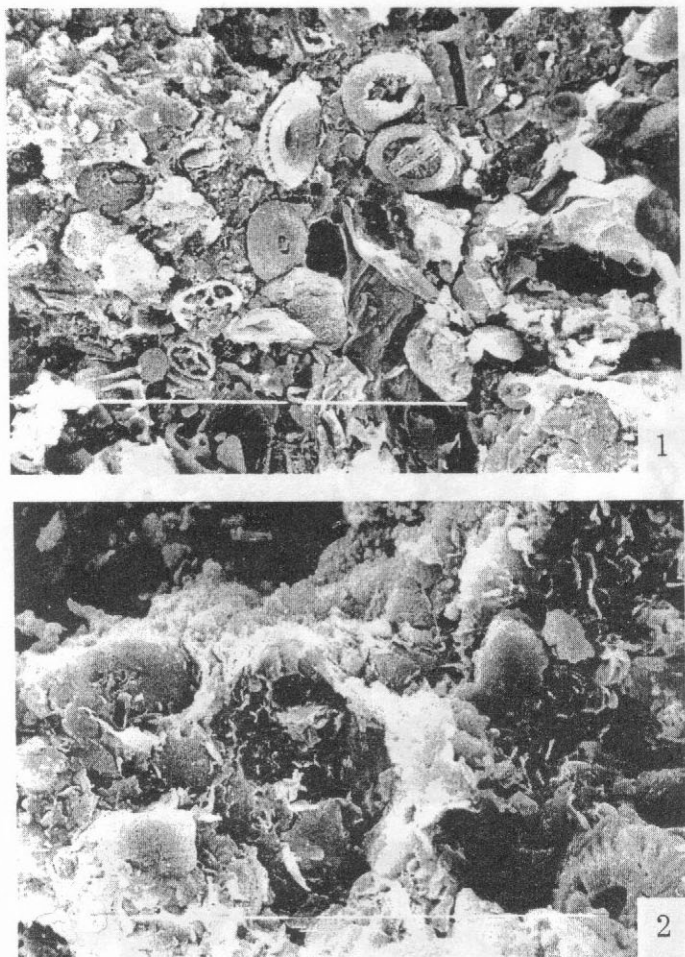


Рис. 29. Наноструктуры горючих сланцев в менее измененных (на стадии диагенеза) участках. 1 — РЭМ, $\times 3000$; 2 — РЭМ, $\times 5000$.

растительных остатков и витринита не превышает 1–2%. Накопление ОВ явно связано с экстремальным развитием кокколитофорид (Яночкина, Букина и др., 1982).

Зольность альгинитовых сланцев сравнительно низка, поскольку минеральная составляющая имеет подчиненное значение (Яночкина и др., 1982; Кулева и др., 1983; Букина и др., 1985). Глинистое вещество находится в тесных сростках с альгинитом и кокколитами. Представлено гидрослюдой и монтмориллонитом с примесью хлорита, в некоторых прослоях — каолинитом. Эта дифференциация, по-видимому, обусловлена локальным развитием

кислых и щелочных сред в раннем диагенезе. В верхней части сл. 9 преобладает новообразованный каолинит с четкими псевдогексагональными кристаллами (рис. 30), являющийся индикатором опреснения бассейна.

Породообразующие окислы (SiO_2 , Al_2O_3) и такие микроэлементы, как Cr, V, Sr и Ba связаны положительной корреляцией с C_{opr} . Это позволяет говорить о минеральных и адсорбированных формах присутствия данных элементов. С количеством органического вещества коррелируются содержания меди, молибдена, цинка и других био- и халькофильных элементов, переходящих в осадках из металлоорганических соединений в более устойчивые сульфиды. На рис. 6 видно, что содержания пиритного железа в рассматриваемых образованиях максимальные. Снижение суммарных концентраций микроэлементов по сравнению с вмещающими породами отражает сокращение притока терригенного материала особенно в период формирования горючих сланцев сл. 9 (см. рис. 6) или так называемого первого продуктивного пласта.

Характерным структурным элементом рассматриваемых пород является новообразованный (диагенетический) кальцит. Форма кристаллов изометрична и ромбоэдрическая, размер — 0,05–0,3 мм (рис. 28). Карбонатизация сланцев несомненно связана с неустойчивостью режима седиментации, зафиксированной в резких колебаниях Sr/Ba коэффициента от 5 до 8, всплесках повышенных содержаний аутигенного барита, возникших при смешивании пресных и соленых вод. По данным С. И. Жмура (1989), деструкционные процессы в осадках в какой-то мере опресненного бассейна при высоком щелочном резерве иловых вод приводили к активному пе-

перераспределению карбоната кальция и к образованию кальцита микробного происхождения (Горленко, Жмур, 1989). Аналогичным путем, по-видимому, были образованы прослои известняков в куверситах (Жмур, 1989).

Орбитокомплексы остатков макрофaуны рассматриваемых сланцев идентичны таковым сапро-коллинитовых разностей. Здесь также присутствуют остатки аммонитов, разнообразных двустворчатых моллюсков — гастропод берлиерий, скафопод. Наблюдаются массовые скопления остатков молоди аммонитов, лопатоногих, гастрапод. Состав и тафономические особенности захоронений также весьма сходны.

Из приведенных выше фактов следует, что накопление данных осадков осуществлялось в мелководном бассейне в периоды ослабления терригенного сноса в результате аридизации климата (Хрусталева, 1991), с нестабильной соленостью, изменяющейся то в сторону осолоне-

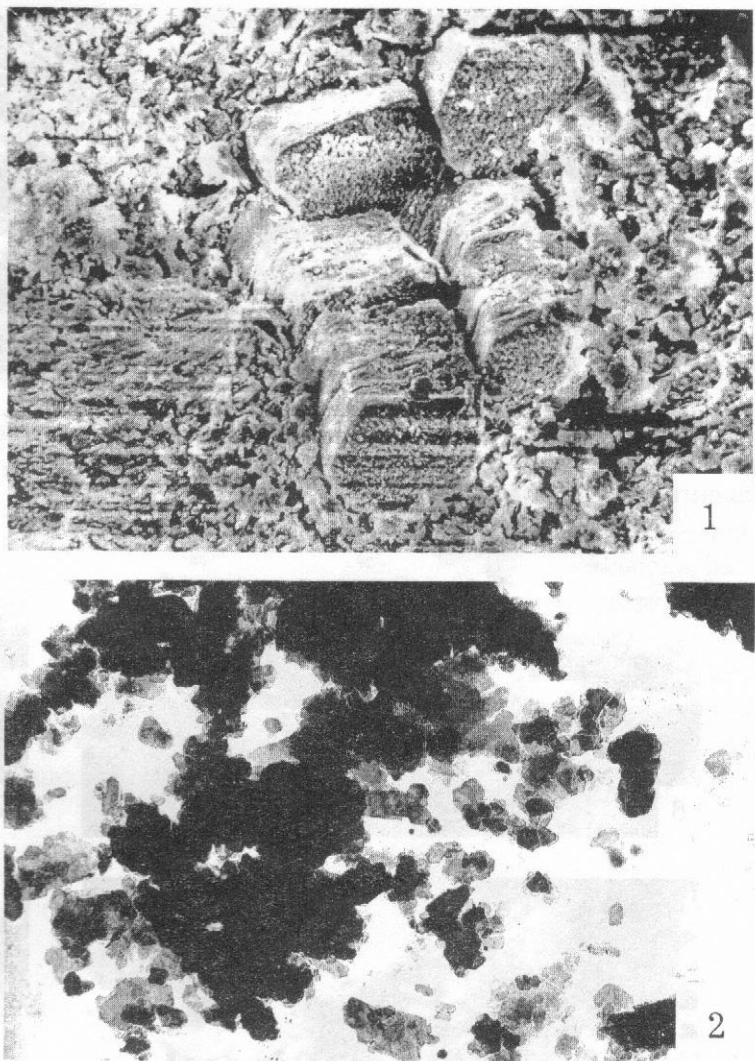
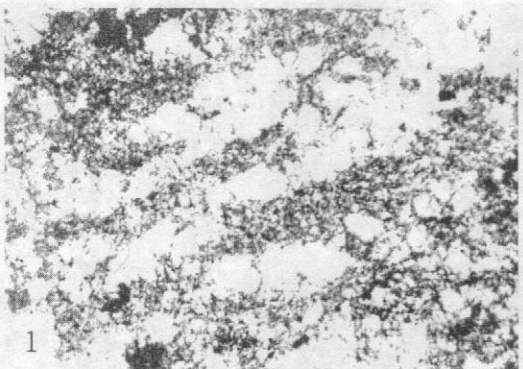
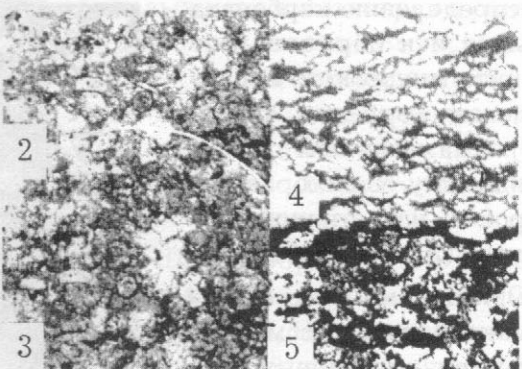


Рис. 30. Каолинит в карбонатизированных горючих сланцах. 1 — РЭМ, $\times 3000$; 2 — ПЭМ, $\times 15000$.

Рис. 31. Известняки зоны *Dorsoplanites panderi*. 1—5 — структуры известняков, наблюдавшиеся в поляризационном микроскопе; 1 — различается кристаллический кальцит вблизи остатков остракод, $\times 100$, поляроиды скрещены; 2, 3 — показана алевритовая структура биогенно-детритовых разностей известняков, $\times 100$, 2 — поляроиды параллельны, 3 — поляроиды скрещены; 4—5 — микролинзовое расположение кальцита и остаточного альгинита в известняках, развитых по горючим сланцам, $\times 250$; 4 — поляроиды параллельны, 5 — поляроиды скрещены; 6—9 — Наноструктуры известняков, наблюдаемые под электронным микроскопом (РЭМ); в массе кристаллического кальцита видны кокколиты, реликты кокколитов и мелких коккосфер; 6 — $\times 5000$; 7, 9 — 3000; 8 — 7000; 10 — дифрактограмма: а — естественного неориентированного, б — ориентированного, в — обработанного 10% HCl, г — насыщенного глицерином, д — прокаленного при 600° С образца тонкодисперсной фракции, выделенной из известняка.



1



2

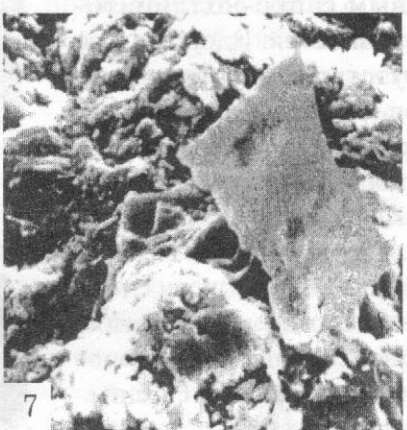
3

4

5



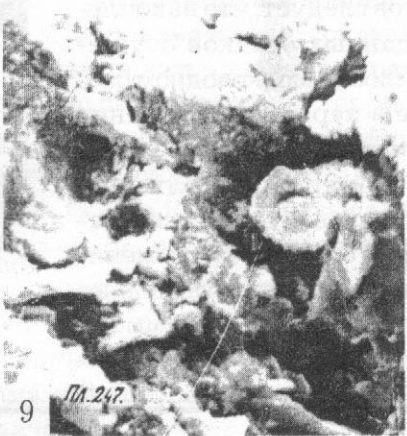
6



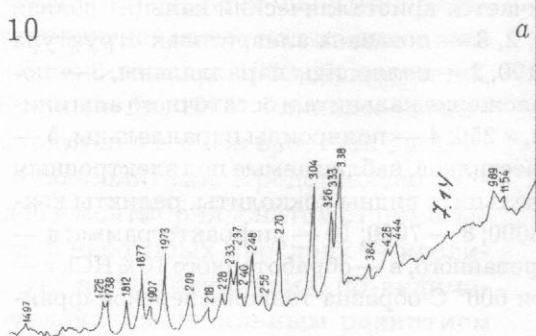
7



8



9



ния, то опреснения. Наличие аутигенного каолинита в верхней части разреза (верхи слоя 9) свидетельствует о том, что наибольшее опреснение бассейна имело место на завершающей стадии его существования. Условия аэрации также были непостоянны.

Известняки голубовато- и светло-серые, глинисто-алевритистые, биогенно-детритовые, участками - кристаллические, с массивной текстурой и со следами биотурбации. Образуют тонкие прослой и линзы в известковых алевролитах слоев с *Marginulina formosa*, более широко распространены в зоне *Virgatites virgatus*.

Содержание CaCO_3 в этих породах колеблется от 59 до 70% (рис. 31), плотность вещества резко меняется как снизу вверх по слою, так и по латерали, что обусловлено неоднородностью структуры обломочного кальцита и степенью его перекристаллизации в диагенезе.

В составе пордообразующих компонентов преобладают комочки глинисто-известкового кокколитового ила и фрагменты призматического слоя раковин (в сумме > 70%). Более редки тонкие створки остракод, обломки кристаллов кальцита. Терригенные алевритовые частицы со следами окатанности (кварц, полевые шпаты, мусковит и др.) составляют ~ 30%, акцессории при этом редки, что свидетельствует о многократном переотложении материала местного происхождения.

Органические остатки, вследствие их переработки детритофагами, в известняках малочисленны. Из макрофауны это — редкие мелкие неопределенные моллюски, рассеянный раковинный детрит, остатки и следы жизнедеятельности остракод, что позволяет предположить крайнюю бедность биоценоза времени формирования данного литотипа, в условиях отшнурованных лагун и отмелей с замедленным темпом седиментации.



ЗАКЛЮЧЕНИЕ

Выполненное исследование подводит определенные итоги изучения стратиграфии существенной части волжского яруса юго-восточной части Русской плиты — зоны *Dorsoplanites panderi*, а также условий накопления слагающих ее образований.

Весьма важным как в теоретическом, так и в практическом отношении является исследование условий образования пород, слагающих пандериевую зону, поскольку к ней приурочены горючие сланцы — важное энергохимикотехнологическое сырье. Применение комплекса литолого-геохимических и палеонтологических методов позволило выделить характерные для сланценосной толщи литологические типы пород и охарактеризовать некоторые из них на уровне генетического типа. Вопрос о ге-

незисе минеральной части пород раскрывается с большей долей достоверности, тогда как сложнейшая проблема происхождения концентрированного органического вещества в сапропелевых глинах и горючих сланцах требует дальнейшего изучения.



ЛИТЕРАТУРА

Барабошкин Е. Ю., Архангельский М. С., Гужиков А. Ю., Иванов А. В., Первушов Е. М., Сельцер В. Б. О строении волжского яруса в окрестностях г. Саратова // Труды НИИ Геологии Сарат. ун-та. Нов. сер. — Саратов: Издво «Научная книга». 2001. Т. 8. С. 62-69.

Ботвинкина Л. Н., Жемчужников Ю. А., Тимофеев П. П., Феофилова А. П., Яблоков В. С. Атлас литогенитических типов угленосных отложений среднего карбона Донецкого бассейна. — М.: Изд-во АН СССР. 1956. 368 с.

Букина Т. Ф. Седиментогенез и ранний литогенез верхнеюрских сланценосных отложений центральной части Волжского бассейна // Автореф. дисс. ... канд. геол. -мин. наук. — М., 1988. 24 с.

Букина Т. Ф., Яночкина З. А. Принципы типизации пород верхнеюрской сланценосной толщи Волжского бассейна // Литогенез, угленосность и рудогенез осадочных толщ Европейского Северо-востока СССР // Тр. геол. конф. — Сыктывкар, 1987. С. 31-34.

Букина Т. Ф., Кулева Г. В., Яночкина З. А. К вопросу о фациально-генетической природе органического вещества в породах средневолжской сланценосной толщи Общего Сырта // Органическое вещество в современных и ископаемых осадках: Тез. докл. VII Всесоюзного семинара. — Ташкент, 1982. С. 276-278.

Букина Т. Ф., Яночкина З. А., Суетнова Н. А. Наноструктуры как показатели диагенетических процессов в горючих сланцах Волжского бассейна // Геология, минералогия и литология черных сланцев. — Сыктывкар, 1987. С. 128-129.

Букина Т. Ф., Кулева Г. В., Яночкина З. А., Барышникова В. И., Троицкая Е. А. Исследование сланценосной толщи в связи с разработкой легенды крупномасштабных карт и корреляцией разрезов Перелюбского и Коцебинского месторождений горючих сланцев (Отчет по НИР НИИГ при СГУ) — Фонды ПГО «Нижневолжскогеологии», 1985. 201 с.

Ван А. В., Казанский Ю. П. Вулканический материал в осадках и осадочных породах. — Новосибирск: Наука. СО, 1985. 127 с.

Внуков А. В., Хрусталева Г. К., Винницкий А. Е. и др. Горючие сланцы Европейской части СССР // Геология, методы поисков и разведки месторождений горючих ископаемых. Обзор ВИЭМС. — М., 1983. 72 с.

Герасимов П. А., Михайлов Н. П. Волжский ярус и единая стратиграфическая шкала верхнего отдела юрской системы // Изв. АН СССР. Сер. геол., 1966. № 2. С. 53-61.

Гинзбург А. И., Явхута Г. В. Новые данные по характеристике горючих сланцев Волжского бассейна // Хим. тв. топлива, 1969. № 6. С. 49-59.

Гинзбург А. И., Лапо А. В., Летушова И. А. Рациональный комплекс петрографических и химических методов исследования углей и горючих сланцев. — Л.: Недра. ЛО, 1976. 168 с.

Голубев С. Н. Реальные кристаллы в скелетах кокколитофорид. — М.: Наука, 1981. 162 с.

Горленко В. М., Жмур С. И. Автохтонное органическое вещество диктионемовых сланцев ордовика Прибалтики // ДАН. 1989. Т. 308. № 3. С. 678-680.

Горленко В. М., Погребнова Н. Б. Участие фотосинтезирующих организмов в образовании горючих сланцев Волжского бассейна // Горючие сланцы, 1987. Т. 4. № 3. С. 120–129.

Григялис А. А. Фораминиферы юрских отложений юго-западной Прибалтики. — Вильнюс: Изд-во Мокслас, 1985. 240 с.

Грицаенко Г. С. и др. Методы электронной микроскопии минералов. — М.: Наука, 1969.

Гущаки В. А., Гудошников В. В. История формирования и минералогический состав кор выветривания Орского Урала и Зауралья // Коры выветривания Урала. — Саратов: Изд-во Сарат. ун-та, 1969. С. 45–62.

Дайн Л. Г., Кузнецова К. И. Фораминиферы стратотипа волжского яруса // Тр. ГИН АН СССР. — М., 1976. Вып. 290. С. 9–157.

Дигас Л. А. Распределение фораминифер в современных осадках Баренцева моря и пограничных с ним участков Гренландско-Норвежского бассейна // Автореф. дисс. канд. геол. – мин. наук. — Саратов, 1969. 27 с.

Добрянский А. Ф. Горючие сланцы СССР. — Л.-М.: Гостоитехиздат, 1947. 232 с.

Егоров А. И. Среда и режим накопления горючих сланцев // Ресурсы твердых горючих ископаемых, их увеличение и комплексное использование в народном хозяйстве. Тез. докл. VII Всесоюзного угольного совещания. — Ростов н/Д, 1981. Т. I.

Егоров А. И. Угленосные и горючесланцевые формации Европейской части СССР. — Ростов н/Д: Изд-во РГУ, 1985. 192 с.

Жаймода А. И. К характеристике зональных биостратиграфических подразделений // Изв. АН СССР. Сер. геол., 1988. № II. С. 27–33.

Жемчужников Ю. А., Яблоков В. С., Богословская Л. И. и др. Строение и условия накопления угленосных свит и угольных пластов среднего карбона Донецкого бассейна. — М.: Изд-во АН СССР, 1959. Ч. I. 332 с.; 1960. Ч. II. 317 с. (Тр. ГИН АН СССР. Вып. 15).

Жмур С. И. Происхождение горючих сланцев ордовика Прибалтийской синеклизы. Сообщение 1. Диктионемовые сланцы // Литология и полезные ископаемые, 1967. № 6. С. 78–86.

Жмур С. И. Происхождение горючих сланцев ордовика Прибалтийской синеклизы. Сообщение 2. Кукерситы // Литология и полезные ископаемые, 1989. № 3. С. 48–57.

Залесский М. Д. Первые микроскопические исследования нижневолжского горючего сланца // Изв. сапропелевого комитета. — Л., 1928. Вып. 4. С. 1–28.

Игнатов Б. Ф. Биологическая продуктивность водоемов и ее роль в накоплении нефте-материнских осадков. — Саратов: Изд-во Сарат. ун-та, 1967. 124 с.

Кизильштейн Л. Я., Минаева Л. Г. Происхождение фрамбоидальных форм пирита // Докл. АН СССР, 1972. Т. 206. № 5.

Кизильштейн Л. Я., Погребнова Н. Г. Биогеохимия серы горючих сланцев Волжского бассейна // Горючие сланцы, 1985. Т. 2. № 4. С. 362–369.

Кузнецова К. И. Стратиграфия и палеогеография поздней юры Бореального пояса по фораминиферам // Тр. ГИН АН СССР, 1979. Вып. 332. 127 с.

Кулева Г. В. Еще раз о возрасте главного фосфоритного слоя Общего Сырта // Вопросы стратиграфии палеозоя, мезозоя и кайнозоя. — Саратов: Изд-во Сарат. ун-та, 1987. С. 65–71.

Кулева Г. В., Барышникова В. И. Типовые разрезы слоев с фораминиферами зоны Dorsoplites panderi Волжского сланценосного бассейна // Сов. геол., 1988а. № 8. С. 43–49.

Кулева Г. В., Барышникова В. И. Расчленение зоны Dorsoplites panderi Заволжья по фораминиферам // Изв. АН СССР. Сер. геол., 1988б. № 7. С. 126–128.

Кулева Г. В., Яночкина З. А. и др. Составление палеогеографических карт Волжского сланценосного бассейна в связи с прогнозом перспектив промышленной сланценосности. Отчет по н/и теме. Фонды ПГО «Оренбурггеология», «Нижневолжскгеология». — Саратов, 1983. 200 с.

Кулева Г. В., Яночкина З. А., Букина Т. Ф., Ковалевский Ф. И. Литофациальные комплексы сланценосной толщи Общего Сырта (Куйбышевско-Саратовское Заволжье) // Геохимия горючих сланцев: Тез. докладов III Всесовет. — Таллин: Валгус, 1982. С. 103.

Кулева Г. В., Барышникова В. И., Букина Т. Ф., Яночкина З. А., Еремин В. Н. Новые данные по стратиграфии зоны Dorsoplites panderi Волжского сланценосного бассейна // Бюлл. региональной межведомственной стратиграфической комиссии по центру и югу Российской платформы. — М., 1992. Вып. 1. С. 95–98.

Кулева Г. В., Барышникова В. И., Яночкина З. А., Букина Т. Ф., Троицкая Е. А. Изучение тафономических особенностей орбитокомплексов отдельных литотипов пород на примере юрской сланцевой толщи Заволжья и Общего Сырта // Теория и опыт тафономии. — Саратов: Изд-во Сарат. ун-та, 1989. С. 92–107.

Лисицын А. П. Лавинная седиментация и перерывы в осадконакоплении в морях и океанах. — М.: Наука, 1988. 309 с.

Мерклин Р. Л. Пластинчато-жаберные спиралловых глин, их среда и жизнь. — М.-Л.: Изд. и 2-ая тип. Изд-ва АН СССР, 1950. 95 с. (Труды Палеонтол. ин-та. АН СССР. Т. 28).

Месежников М. С. Биостратиграфическая синхронизация: основания, пределы, возможности // Тез. докл. XXVIII сессии ВПО. — Ташкент: МГ Уз. ССР, 1982. С. 54–56.

Месежников М. С., Алексеев С. Н., Джиноридзе Н. М. и др. Волжские отложения озера Индер // ДАН СССР, 1987. Т. 292. № 3. С. 690–695.

Митта В. В. Аммониты и зональная стратиграфия средневолжских отложений Центральной России. — Киев: Геопрогноз, 1993. 132 с.

Молостовский Э. А. Шкала магнитной полярности мезозоя и кайнозоя и ее значение для стратиграфии // Автореф. дис. ... докт. геол.-минер. наук. — Саратов, 1986. 35 с.

Мятлюк Е. В. К палеэкологии раннемеловых фораминифер Прикаспийской впадины / / Новые данные по микрофауне палеозойских, мезозойских и кайнозойских отложений Советского Союза: Тр. ВНИГРИ. — Л., 1974. Вып. 349. С. 68–88.

Назаркин Л. А. Влияние темпа седиментации и эрозионных срезов на нефтегазоносность осадочных бассейнов. — Саратов: Изд-во Сарат. ун-та, 1979. 336 с.

Неручев С. Г. Уран и жизнь в истории Земли. — Л.: Недра, 1982. 208 с.

Никитин С. Н. Заметки по вопросу о последовательности пластов волжского яруса Московской юры // Зап. СПб. минералог. об-ва. Сер 2. 1884. Т. 19.

Парпарова Г. М., Неручев Г. М., Жукова А. В. Новые данные о биопродуцентах ОВ «черносланцевых» пород, обогащенных сапропелевым материалом // Геохимия, минерология и литология черных сланцев: Тез. докл. Всесоюзного совещания. — Сыктывкар, 1987. С. 9–10.

Парпарова Г. М., Неручев С. Г., Жукова А. В. и др. Петрографические типы органического вещества нефтематеринских пород и горючих сланцев // Геохимия горючих сланцев: II Всесоюзное совещание. — Таллинн, 1982. С. 133–134.

Ренгартен Н. В., Кузнецова К. И. Пирокластический материал в позднеюрских осадках Русской платформы // Докл. АН СССР, 1967. Т. 173. № 6. С. 1422–1425.

Романович В. В. Биостратономические особенности мезозойских отложений Северо-Востока Европейской части СССР // Сер. препр. «Научные доклады». — Сыктывкар, 1981. Вып. 67. 43 с.

Собецкий В. А. Донные сообщества и биогеография позднемеловых платформенных морей юго-запада СССР // Тр. ПИН АН СССР. — М: Наука, 1978. Т. 166. 185 с.

Стратиграфический кодекс МСК. Изд. 2. — СПб, 1992.

Стратиграфический кодекс СССР / А. И. Жамойда, О. П. Ковалевский, А. И. Макеева, В. И. Яркин. — Л., 1977. С. 45–51.

Страхов Н. М. Горючие сланцы зоны *Perisphinctes panderi* // Бюлл. Моск. об-ва испыт. природы. Отд. геол. 1934. Т. XII. Вып. 2. С. 200–247.

Страхов Н. М. Основы теории литогенеза. — М.: Наука, 1960. Т. 2. 574 с.

Страхов Н. М. Основы теории литогенеза. — М.: Наука, 1962. Т. 3. 550 с.

Тимофеев П. П. Геология и фации юрской угленосной формации Южной Сибири // Тр. ГИН АН СССР. — М.: Наука, 1969. Вып. 197. 460 с.

Тимофеев П. П. Юрская угленосная формация Южной Сибири // Автореф. дис. ... докт. геол.-минер. наук. — М., 1967. 64 с.

Тимофеев П. П. Некоторые вопросы литолого-фациального анализа осадочных отложений // Проблемы литологии и геохимии осадочных пород и руд. — М., 1975. С. 132–100.

Тимофеев П. П. Основные проблемы современной литологии и задачи Межведомственно-го литологического комитета // Литология и полезные ископаемые, 1978. № 6. С. 3–15.

Тимофеев П. П. Генетическое учение об осадочных геологических формациях (к теории формационного анализа) // Осадочные бассейны Урала и прилегающих регионов: законо-

мерности строения и минералогия. — Екатеринбург, 2000. С. 15-27.

Тимофеев П. П. Проблемы литологии // Литология и полезные ископаемые, 1987. № 3. С. 3-13.

Тимофеев П. П., Боголюбова Л. И. Постседиментационные изменения органического вещества в зависимости от литологических типов пород и фациальных условий накопления // Органическое вещество современных и ископаемых осадков. — М.: Наука, 1970. С. 169-189.

Успенский В. А., Радченко О. А. Опыт оценки нефтяного потенциала пород // Современные проблемы геологии и геохимии горючих ископаемых. — М.: Наука, 1973.

Фролов В. Т. Генетическая типизация морских отложений. — Новосибирск: Наука, 1978. 213 с.

Фролов В. Т. Литология. — М.: Изд-во МГУ, 1992. Кн. 1. 336 с.; 1993. Кн. 2. 430 с.; 1995. Кн. 3. 352 с.

Фурсенко А. В. Введение в изучение фораминифер // Труды ин-та геологии и геофизики. — Новосибирск: Изд-во АН СССР. СО, 1978. Вып. 391. 241 с.

Хрусталева Г. К. Состояние и задачи лито-петрографических исследований горючих сланцев // Информ. ВИЭМС. Геология, методы поисков и разведки месторождений твердых горючих ископаемых. — М., 1980. 23 с.

Хрусталева Г. К. Генетические типы горючих сланцев и их качество (Волжский бассейн) // III Всесоюзн. совещ. Геохимия горючих сланцев. — Таллинн, 1982. С. 199-201.

Хрусталева Г. К. Условия формирования горючих сланцев // Горючие сланцы. 1985. Т. 2. № I. С. 1-11.

Хрусталева Г. К. Атлас горючих сланцев СССР (Петрogr. генетические типы горючих сланцев, их качества и классификация / Всесоюзн. н. и-геол. развед. ин-т угольных месторождений. — Ростов н/Д: Изд-во Рост. ун-та, 1991. 94 с.

Хрусталева Г. К. Петрология горючих сланцев. — ЭЛБИ Сервис, 1999. 253 с.

Хрусталева Г. К., Гонцов А. А. Петрографическая характеристика горючих сланцев Поволжья // Сов. геология. 1980. № 2. С. 112-115.

Юдович Я. Э., Кетрис М. П. Геохимия черных сланцев. — Л.: Наука, 1988. 272 с.

Явхута Г. В. Верхнеюрская формация горючих сланцев Русской платформы / Дисс.... канд. геол.-минер. наук. — Л., 1978. 150 с.

Яночкина З. А. Статистические методы изучения пестроцветов. — М.: Недра, 1966. 144 с.

Яночкина З. А., Букина Т. Ф. Вещественный состав горючих сланцев Саратовского Заволжья // Исследование в области комплексного энергетехнологического использования топлива. — Саратов: Изд-во Сарат. Политехн. ин-та, 1982. С. 9-11.

Яночкина З. А., Букина Т. Ф. Цеолитовая минерализация в горючих сланцах Волжского бассейна // Геология, физико-химические свойства и применение природных цеолитов. — Тбилиси: Мецниреба, 1985. С. 45-48.

Яночкина З. А., Букина Т. Ф., Самородов А. В. Минеральный состав и качество горючих сланцев // Тез. III Всесоюзн. совещ. по геохимии горючих сланцев. — Таллинн: Валгус, 1982. С. 223.

Яночкина З. А., Букина Т. Ф., Суетнова Н. А. Использование электронной микроскопии для изучения органического вещества горючих сланцев Волжского бассейна // Тез. докл. симпозиума по применению новых электронно-микроскопических методов в технологии, кристаллографии и минералогии. — М., 1980. С. 177.

Яночкина З. А., Букина Т. Ф., Ковальский Ф. И., Самородов А. В. О материнском веществе керогена верхнеюрских горючих сланцев Волжского бассейна // Геохимия горючих сланцев. Тез. докл. III-Всес. совещ. — Таллин: Валгус, 1982. С. 220.

Яночкина З. А., Букина Т. Ф., Ковальский Ф. И., Самородов А. В. О вещественном составе горючих сланцев Перелюб-Благодатовской площади // Вопросы геологии Юж. Урала и Поволжья. — Саратов: Изд-во Сарат. ун-та, 1983. С. 55-56.

Яночкина З. А., Букина Т. Ф., Суетнова Н. А., Тюленев В. П. К методике изучения пелитоморфного кальцита с помощью ПЭМ // Использование минералогических методов при прогнозе и поисках месторождений полезных ископаемых. — Алма-Ата, 1981. Ч. 2. С. 133-134.

Яночкина З. А., Букина Т. Ф., Ахлестина Е. Ф., Жидовичев Н. Я., Иванов А. В., Турунов Д. Л. Цикличность осадконакопления в бассейнах позднего фанерозоя юго-востока Восточно-Европейской платформы // Труды НИИ

Геологии СГУ. Нов. сер. 2001. Т. VIII. С. 100–115.

Яночкина З. А., Гуцаки В. А., Иванов А. В., Букина Т. Ф., Ахлестина Е. Ф., Бондаренко Н. А., Московский Г. А. Литолого-фациальные особенности отложений позднего фанерозоя юго-востока Восточно-европейской платфор-

мы. — Саратов: Изд-во ГосУНЦ «Колледж», 2000. 114 с. (Труды НИИ Геологии СГУ. Нов. сер. Том. V).

Curtis C. D. Diagenetic alteration in black shales // J. geol. Soc. London, 1980. Vol. 137. P. 189–194.



ФОТОТАБЛИЦЫ И ОБЪЯСНЕНИЯ К НИМ

К разделу «Стратиграфия»

Фототаблица I

Слои с *Mironovella gemina* Dain

- Фиг. 1. *Haplophragmium disseptum* (E. Byk.), × 45;
Фиг. 2. *Gaudryinella decervata* Dain, × 55;
Фиг. 3. *Karreriella electa* Dain, × 50;
Фиг. 4, 5 а, б. *Lenticulina ornatissima* (Furss. et Pol.); 5 — вид со спинной стороны, × 50; а — с брюшной, × 50; б — с перефериического края, × 55.
Фиг. 6 а, б. *Lenticulina perrara* K. Kuzn., × 45;
Фиг. 7 а, б. *Lenticulina ex gr. tynsteri* (Roem.), × 45;
Фиг. 8 а, б. *Astocolus obliteratus* Furss., × 70.

Фототаблица II

Слои с *Mironovella gemina* Dain

- Фиг. 1а, б. *Lenticulina undorica* K. Kuzn., × 70;
Фиг. 2 а, б. *Marginulina* sp. indet., × 60;
Фиг. 3. *Saracenaria pravoslavlevi* Furss. et Pol., × 40;
Фиг. 4. *Saracenaria pravoslavlevi* Furss. et Pol. (экземпляр с параллельной штриховкой на поверхности раковины), × 45;
Фиг. 5. *Saracenaria inobservabilis* K. Kuzn., × 50;
Фиг. 6 а, б, в, г. *Saracenaria kasanzevi* (Furss. et Pol.), × 50; ба экземпляр с параллельной штриховкой на поверхности раковины;
Фиг. 7 а, б. *Mironovella gemina* Dain, × 55;
Фиг. 8 а, б. *Saracenaria ilovaiskii* Furss., × 55.

Фототаблица III

Слои со *Spiroplectammina vicinalis* Dain

- Фиг. 1 а, б, в. *Spiroplectammina vicinalis* Dain, × 40;
Фиг. 2 а, б. *Gaudryinella decurvata* Dain, × 45;
Фиг. 3 а, б, в. *Ammobaculites infravolgensis* Mjatl., × 45;
Фиг. 4 а, б. *Haplophragmium subaequalis* (Mjatl.), × 45;
Фиг. 5 а, б. *Kutsevella extentus* (Dain), × 45;
Фиг. 6 а, б. *Haplophragmoides volgensis* Mjatl., × 45;
Фиг. 7. *Flabellamina jurassica* Mjatl., × 35;
Фиг. 8 а, б. *Lenticulina infravolgaensis* (Furss. et Pol.), × 40;
Фиг. 9. *Lenticulina biexcavata* (Mjatl.), × 45;
Фиг. 10. *Astacolus polyhymneus* (Furss. et Pol.), × 40;
Фиг. 11 а, б. *Lenticulina kaschpuruca* (Mjatl.), × 45;
Фиг. 12 а, б. *Marginulinulinopsis embaensis* (Furss. et Pol.), × 45.

Фототаблица IV

Слои с *Ammobaculites infravolgensis* Mjatl.

- Фиг. 1 б, в, г. *Gaudryinella decurvata* Dain, × 45;
Фиг. 2 а, б, в. *Ammobaculites infravolgensis* Mjatl., × 47;
Фиг. 3 а, б, в. *Kutsevella haplophragmioides* (Furss. et Pol.), × 48;
Фиг. 4. *Kutsevella extentus* (Dain), × 45;

- Фиг. 5 а, б. *Marginulina nupera* K. Kuzn., × 45;
 Фиг. 6. *Lenticulina rozanovi* K. Kuzn., × 45;
 Фиг. 7 а, б. *Lenticulina delucida* Dain, × 45;
 Фиг. 8. *Lenticulina infravolgaensis* (Furss. et Pol.), × 47;
 Фиг. 9. *Saracenaria pravoslavlevi* Furss. et Pol., × 45.

Фототаблица V

Слои с Haplophragmoides volgensis inviolatus Dain

- Фиг. 1 а, б, в. *Haplophragmoides volgensis* Mjatl., × 45;
 Фиг. 2 а, б, в. *Ammobaculites fontinensis* (Terg.), × 44;
 Фиг. 3 а, б. *Haplophragmoides volgensis inviolatus* Dain, × 42;
 Фиг. 4 а, б. *Marginulinopsis emaensis* (Furss. et Pol.), × 44;
 Фиг. 5 а, б. *Saracenaria mirabilissima* (Furss. et Pol.), × 44;
 Фиг. 6 а, б, в. *Marginulina nupera* K. Kuzn., × 45;
 Фиг. 7. *Saracenaria kasanzevi* (Furss. et Pol.), × 50;
 Фиг. 8 а, б, в, г. *Pseudolamarckina volgensis* Dain, × 43;
 Фиг. 9 а, б. *Hoeglundina* sp. indet., × 44;
 Фиг. 10. *Lenticulina delucida* Dain, × 44;
 Фиг. 11. *Lenticulina* ex gr. *translucens* Dain, × 45.

Фототаблица VI

Слои с Marginulina formosa Mjatl.

- Фиг. 1 а, б. *Glomospira porcellania* (Furss. et Pol.), × 45;
 Фиг. 2 а, б, в. *Kutsevella haplophragmoides* (Furss. et Pol.), × 42;
 Фиг. 3 а, б. *Kutsevella extentus* (Dain), × 45;
 Фиг. 4 а, б. *Haplophragmoides volgensis* Mjatl., × 41;
 Фиг. 5 а, б. *Haplophragmoides volgensis inviolatus* Dain, × 42;
 Фиг. 6 а, б. *Ammobaculoides jurassicus* Jakov., × 42;
 Фиг. 7 а, б, в. *Haplophragmoides volgensis inviolatus* Dain, × 42;

- Фиг. 8а, б, в, г. *Marginulina formosa* Mjatl., × 43;
 Фиг. 9 а, б. *Lenticulina kaschpurica* (Mjatl.), × 44;
 Фиг. 10. *Lenticulina infravolgaensis* (Furss. et Pol.), × 40;
 Фиг. 11 а, б. *Lenticulina ponderosa* Mjatl., × 45;
 Фиг. 12. *Lenticulina delucida* Dain, × 45.

К разделу «Литотипы, орнитокомплексы и условия осадконакопления»

Фототаблица VII

Палеоценоз мелководного шельфа

1. *Rechax* ex gr. *posthelveticus* Jakovleva, × 44;
2. *Ammodiscus giganteus* Mjatl., × 46;
- 3, 4. *Ammobaculites fontinensis* Terguem, × 40;
- 5–7. *Ammobaculites infravolgensis* Mjatl., × 44;
8. *Gaudryinella decurvata* Dain, × 60;
- 9–11. *Spiroplectammina vicinalis* Dain, × 45;
12. *Lenticulina ornatissima* (Furss. et Pol.), × 55;
13. *L. infravolgaensis* (Furss. et Pol.), × 45;
14. *Astacolus obliteratus* Furss., × 45;
15. *Marginulinopsis embaensis* (Furss. et Pol.), × 45;
16. *Citharina brevis* (Furss. et Pol.), × 50.

Фототаблица VIII

Палеоценоз морских впадин

1. *Glomospirella porcellania* (Furss. et Pol.), × 40;
2. *Glomospirella* sp. indet., × 45;
- 3, 6. *Ammobdiscus giganteus* Mjatl., × 40;
- 4, 5. *Haplophragmoides volgensis* Mjatl., × 42;
- 7, 8. *Ammobaculites extensus* Dain, × 52;
9. *Recurvooides* sp. indet., × 66;
10. *Ammobaculites infravolgensis* Mjatl., × 50;
- 11, 12. *Ammobaculites bellus* Jakovl., × 45.

Фототаблица IX

Палеоценоз морских впадин

- 1, 2. *Ammobaculites bellus* Jakovl., × 70;
3. *Flabellamina jurassica* Mjatl., × 50;
4. *Triplasia elegans* Mjatl., × 40;

5. *Kutsevella haplophragmioides* (Furss. et Pol.), × 66;
 6, 7. *Haplohragmum subaequale* (Mjatl.), × 40;
 8. *Orbignynoides disseptus* (E. Byk.), × 60;
 9, 10. *Spiroplectammina vicinalis* Dain, × 50;
 11. *Karreriella electa* Dain, × 45;
 12. *Karreriella electa* Dain, × 70;
 13–14. *Gaudryinella decurvata* Dain, × 50.

Фототаблица X

Палеоценоз морских впадин

- 1, 2. *Quinqueloculina mitchurini* Dain, × 53;
 3, 4. *Sigmoilina subpanda* (Lloyd), × 53;
 5. *Lenticulina infravolgaensis* (Furss. et Pol.), × 70;
 6. *Astacolus* sp. indet., × 64;
 7. *Marginulinopsis embaensis* (Furss. et Pol.), × 60;
 8, 9. *Planularia poljenovi* K. Kuzn., × 66;
 10. *Marginulina pseudolinearis* K. Kuzn., × 70;
 11, 12. *Marginulina robusta* Reuss, × 50;
 13. *Marginulina exilis* K. Kuzn., × 70;
 14–16. *Saracenaria pravoslavlevi* Furss. et Pol., × 70;
 17. *Saracenaria mirabilissima* (Furss. et Pol.), × 70.

Фототаблица XI

Палеоценоз морских впадин

- 1–3. *Citharina raricostata* (Furss. et Pol.), × 71;
 4. *Jitharina irae* Dain, × 71;
 5. *Lingulina nodosaria* Reuss, × 70;
 6. *Marginulina* sp. indet., × 55;
 7. *Geinitzina* sp. indet., × 70;
 8. *Geinitzina nodulosa* (Furss. et Pol.), × 70;
 9. *Eougettulina bifida* Dain, × 70;
 10. *Eougettulina* sp. indet., × 70.

Фототаблица XII

Палеоценоз мелководного морского бассейна, временами в той или иной мере опресняющегося

- 1, 2. *Haplohragmoids volgensis* Mjatl., 1 — × 67;

- 2 — × 45;
 3, 5, 6. *Ammobaculites fontinensis* (Terguem);
 3 — × 54; 5 — × 76; 6 — × 45;
 4. *Ammobaculites infravolgensis* Mjatl., × 45;
 7. *Kutsevella haplophragmoids* (Furss. et Pol.), × 45;
 8, 9. *Gaudryinella decurvata* Dain, × 55;
 10. *Spiroplectammina vicinalis* Dain, × 45;
 11. *Lenticulina kaschpurica* Mjatl., × 53;
 12. *Lenticulina perrara* K. Kuzn., × 40;
 13. *Astacolus polyhymneus* (Furss. et Pol.), × 55;
 14. *Astacolus* sp. indet., × 65;
 15. *Marginulina robusta* Reuss, × 70.

Фототаблица XIII

Палеоценоз относительно глубоководных и депрессионных участков морского бассейна

1. *Haplohragmoids volgensis* Mjatl., × 68;
 2. *Kutsevella haplophragmoids* (Furss. et Pol.), × 45;
 3. *Lenticulina infravolgaensis* (Furss. et Pol.), × 50;
 4. *Lenticulina kaschpurica* Mjatl., × 70;
 5–8. *Lenticulina biexcavata* (Mjatl.), × 54;
 9. *Astacolus* sp. indet., × 45;
 10. *Astacolus polyhymneus* (Furss. et Pol.), × 58;
 11. *Astacolus polyhymneus* (Furss. et Pol.), × 44;
 12. *Marginulinopsis embaensis* (Furss. et Pol.), × 45;
 13. *Marginulina pseudolinearis* K. Kuzn., × 45;
 14. *Marginulina exclusa* K. Kuzn., × 66;
 15. *Marginulina robusta* Reuss, × 44;
 16. *Marginulinita* sp. indet., × 44;
 17. *Saracenaria mirabilissima* (Furss. et Pol.), × 55;
 18, 19. *Saracenaria pravoslavlevi* Furss. et Pol. – × 45;
 20. *Tristix temirica* Dain, × 50.

Фототаблица XIV

Палеоценоз морских впадин

1. *Glomospira* sp. indet., × 60;

- 2, 3. *Haplophragmoides volgensis* Mjatl., 2 — × 70; 3 — × 45;
 4. *Ammobaculites infravolgensis* Mjatl., × 45;
 5. *Kutsevella haplophragmoides* (Furss. et Pol.) × 60;
 6. *Lenticulina delucida* Dain, × 45;
 7. *Lenticulina ex gr. translucens* Dain, × 43;
 8. *Lenticulina infravolgensis* (Furss. et Pol.), × 45;
 9. *Marginulinopsis embaensis* (Furss. et Pol.), × 45;
 10. *Astacolus polyptychus* (Furss. et Pol.), × 45;
 11, 12. *Marginulina nupera* K. Kuzn., × 55;
 13. *Marginulina robusta* (Reuss), × 55;
 14. *Saracenaria mirabilissima* (Furss. et Pol.), × 57;
 15. *Saracenaria inobservabilis* K. Kuzn., × 50;
 16. *Saracenaria pravoslavlevi* Furss. et Pol., × 50;
 17, 18. *Marginulinita* sp. indet., × 56;
 19. *Tristix suprajurassica* Dain, × 50;
 20. *Tristix temirica* Dain, × 50;
 21. *Citharina raricostata* (Furss. et Pol.), × 50;
 22. *Hodosaria tubitera* (Reuss), × 45.

Фототаблица XV

Палеоценоз заливов мелководного регрессирующего бассейна

1. *Ammodiscus giganteus* Mjatl., × 44;
 2, 3. *Haplophragmoides volgensis* Mjatl., × 55;
 4, 7, 8. *Haplophragmoides volgensis inviolatus* Dain, × 45;
 5. *Ammobaculites bellus* Jakovl., × 60;
 6. *Ammobaculites fontinensis* (Terquem), × 60;
 9. *Ammobaculites jurassicus* Jakovl., × 45;
 10. *Kutsevella haplophragmoides* (Furss. et Pol.), × 47;
 11. *Dorothia* sp. indet., × 55;
 12—15. *Lenticulina ex gr. translucens* Dain, × 56.

Фототаблица XVI

Палеоценоз заливов мелководного регрессирующего бассейна

- 1—4. *Lenticulina sublenticularis* (Schwager), × 50;
 5. *Lenticulina delucida* Dain., × 44;
 6. *Marginulina robusta* Reuss, × 50;

7. *Marginulina* sp. indet., × 57;
 8. *Saracenaria mirabilissima* (Furss. et Pol.), × 55;
 9. *Saracenaria pravoslavlevi* Furss. et Pol., × 50;
 10, 11. *Marginulinopsis embaensis* (Furss. et Pol.), × 55;
 12. *Dentalina* sp. indet., × 55;
 13. *Tristix temirica* Dain, × 45.

Фототаблица XVII

Палеоценоз отмелей и заливов регрессирующего морского бассейна

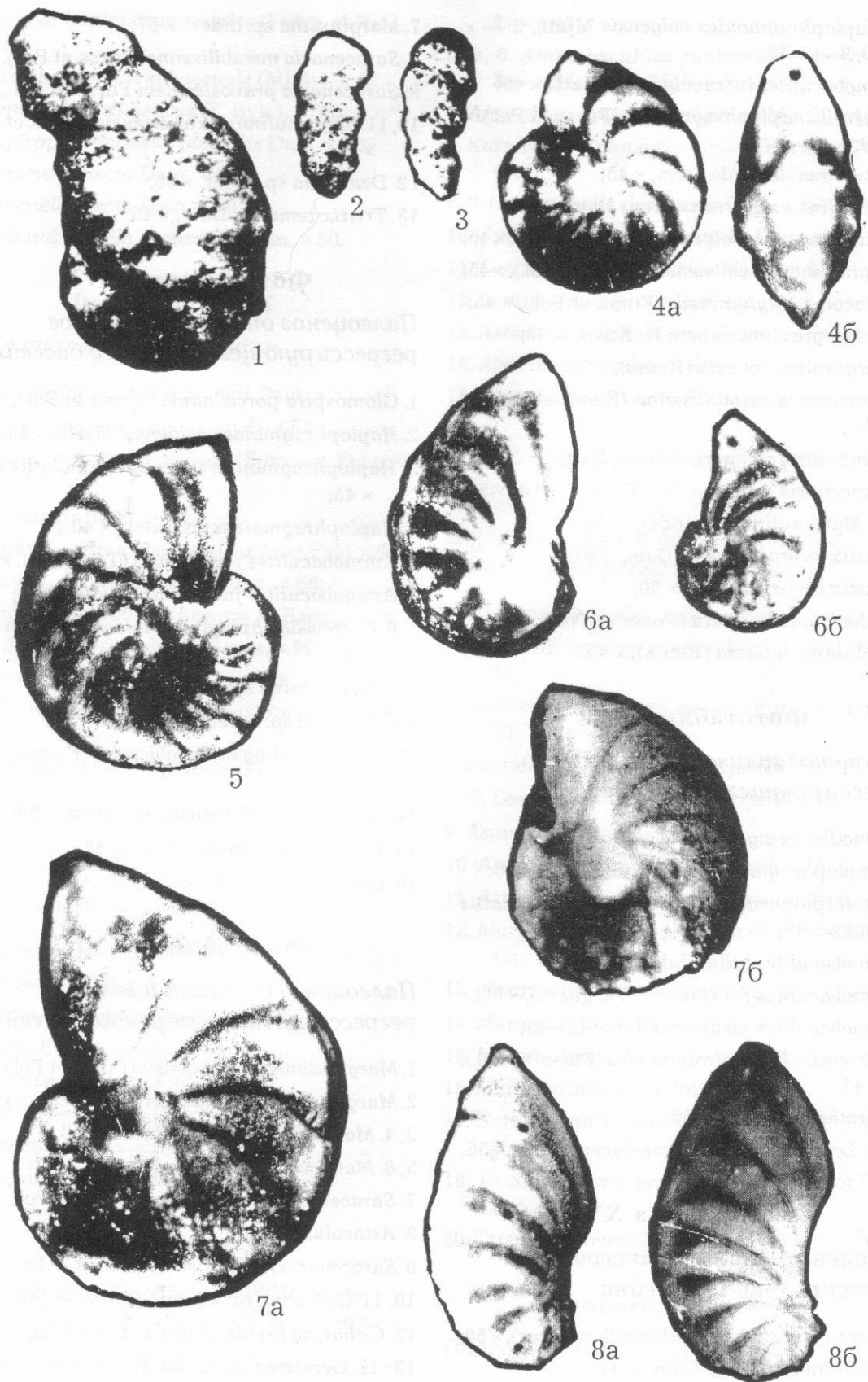
1. *Glomospira porcellaania* (Furss. et Pol.), × 50;
 2. *Haplophragmoides volgensis* Mjatl., × 45;
 3. *Haplophragmoides volgensis inviolatus* Dain, × 45;
 4. *Haplophragmoides* sp. indet., × 40;
 5. *Ammobaculites fontinensis* (Terquem), × 50;
 6. *Ammobaculites jurassicus* Jakovl., × 60;
 7, 8. *Kutsevella haplophragmoides* (Furss. et Pol.), × 45;
 9. *Trochammina* sp. indet., × 45;
 10. *Triplasia* sp. indet., × 45;
 11—13. *Lenticulina infravolgaensis* (Furss. et Pol.), × 54;
 14. *Lenticulina aff. translucens* Dain, × 50;
 15. *Lenticulina delucida* Dain, × 45;
 16. *Lenticulina ponderosa* Mjatl., × 45.

Фототаблица XVIII

Палеоценоз отмелей и заливов регрессирующего морского бассейна

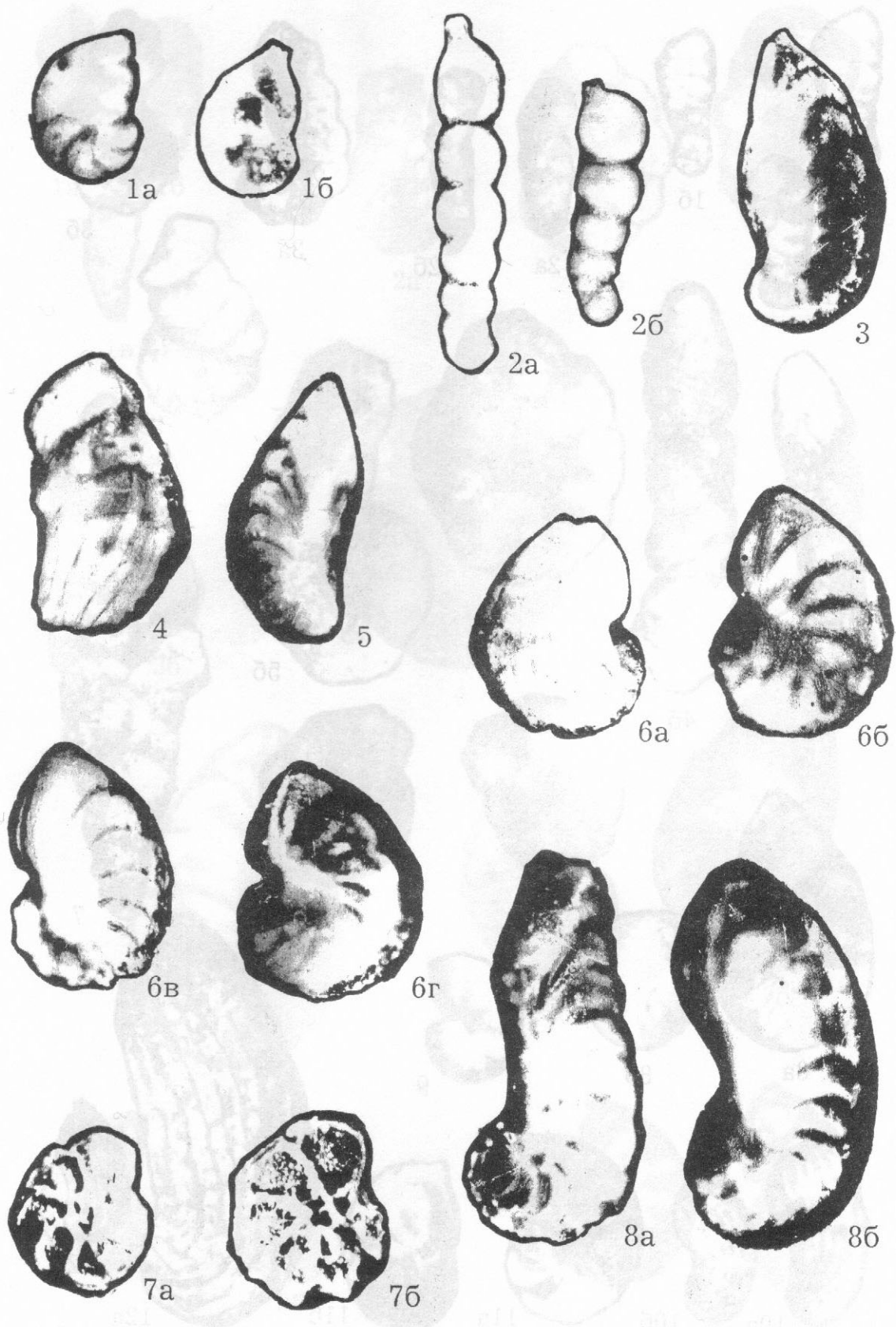
1. *Marginulinopsis embaensis* (Furss. et Pol.), × 50;
 2. *Marginulinopsis embaensis* (Furss. et Pol.), × 40;
 3, 4. *Marginulina robusta* Reuss, × 50;
 5, 6. *Marginulina formosa* Mjatl., × 50;
 7. *Saracenaria pravoslavlevi* Furss. et Pol., × 45;
 8. *Astacolus* sp. indet., × 57;
 9. *Saracenaria mirabilissima* (Furss. et Pol.), × 47;
 10, 11. *Citharina raricostata* (Furss. et Pol.), × 50;
 12. *Citharina brevis* (Furss. et Pol.), × 50;
 13—15. *Geintsina nodulosa* (Furss. et Pol.), × 50;
 16. *Tristix suprajurassica* Dain, × 48.

Фототаблица I

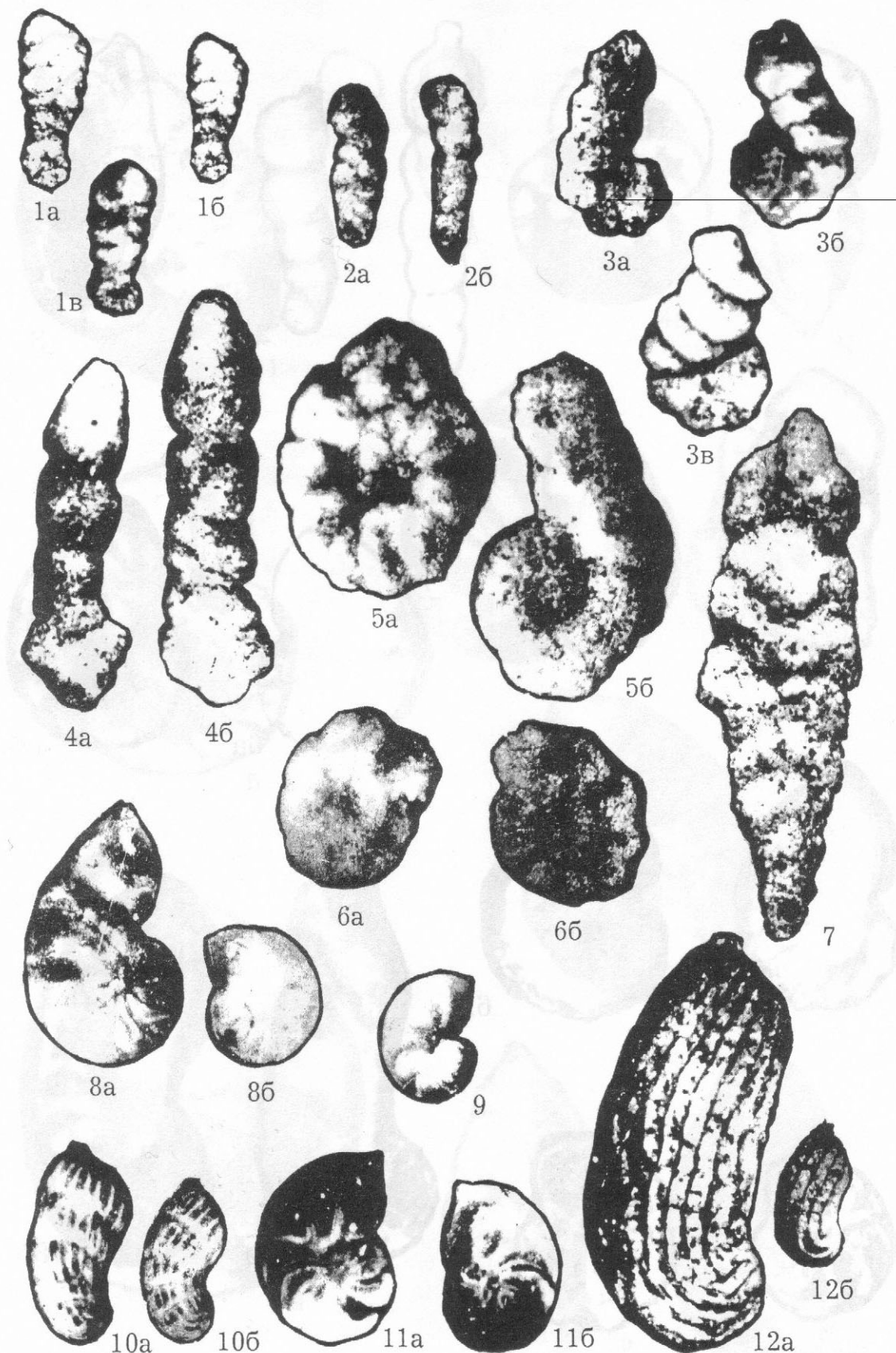


К разделу «Стратиграфия»

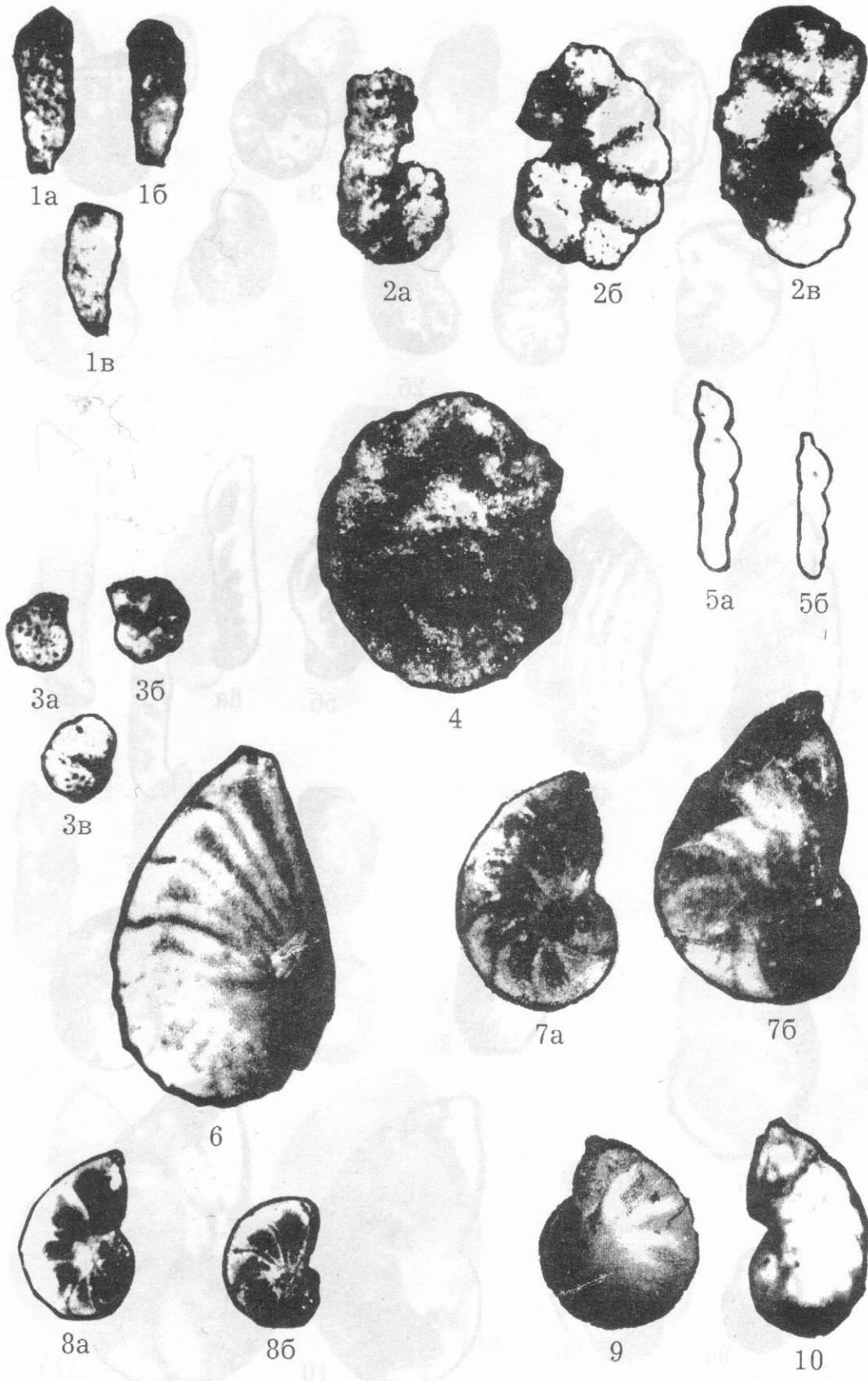
Фототаблица II



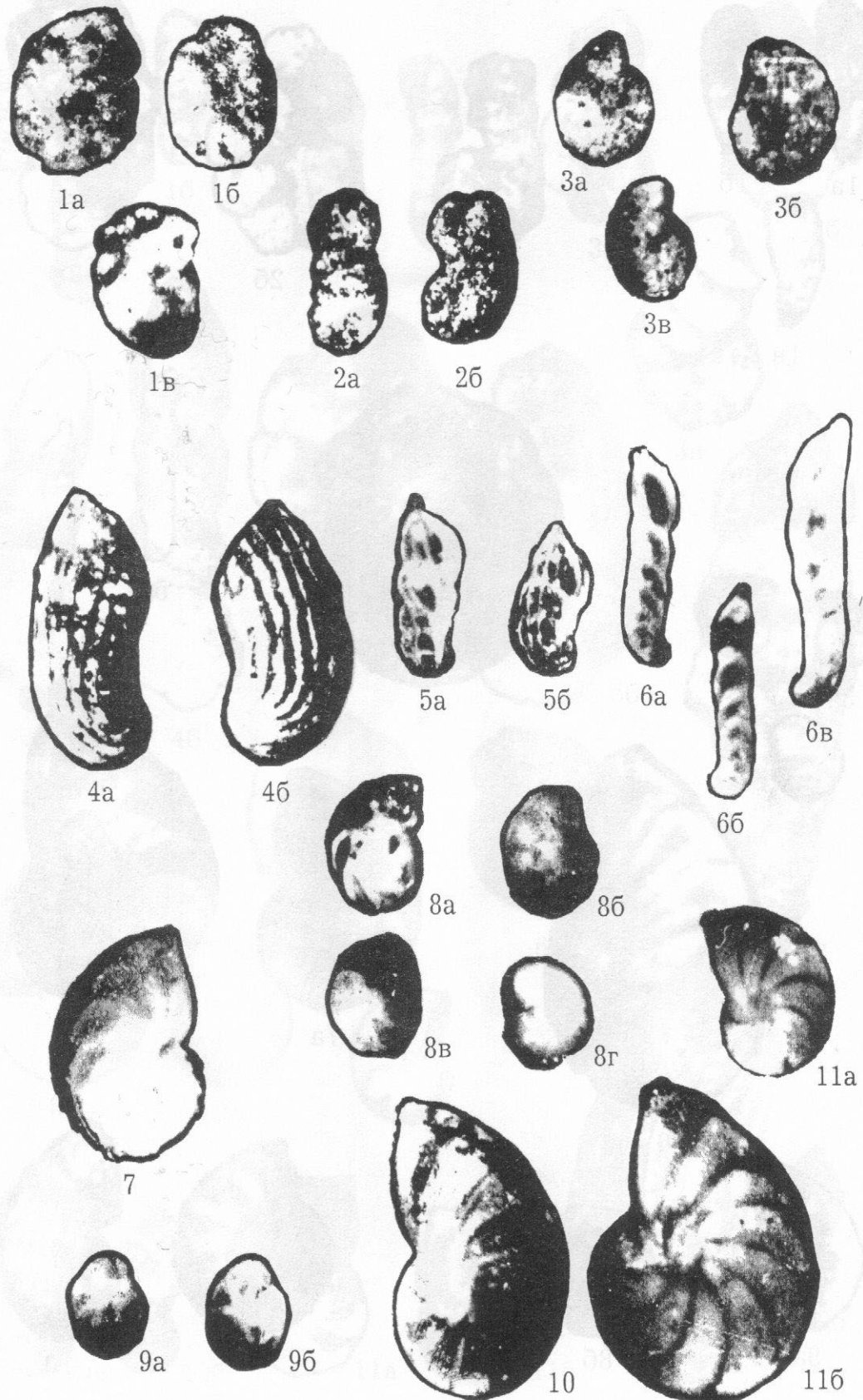
К разделу «Стратиграфия»



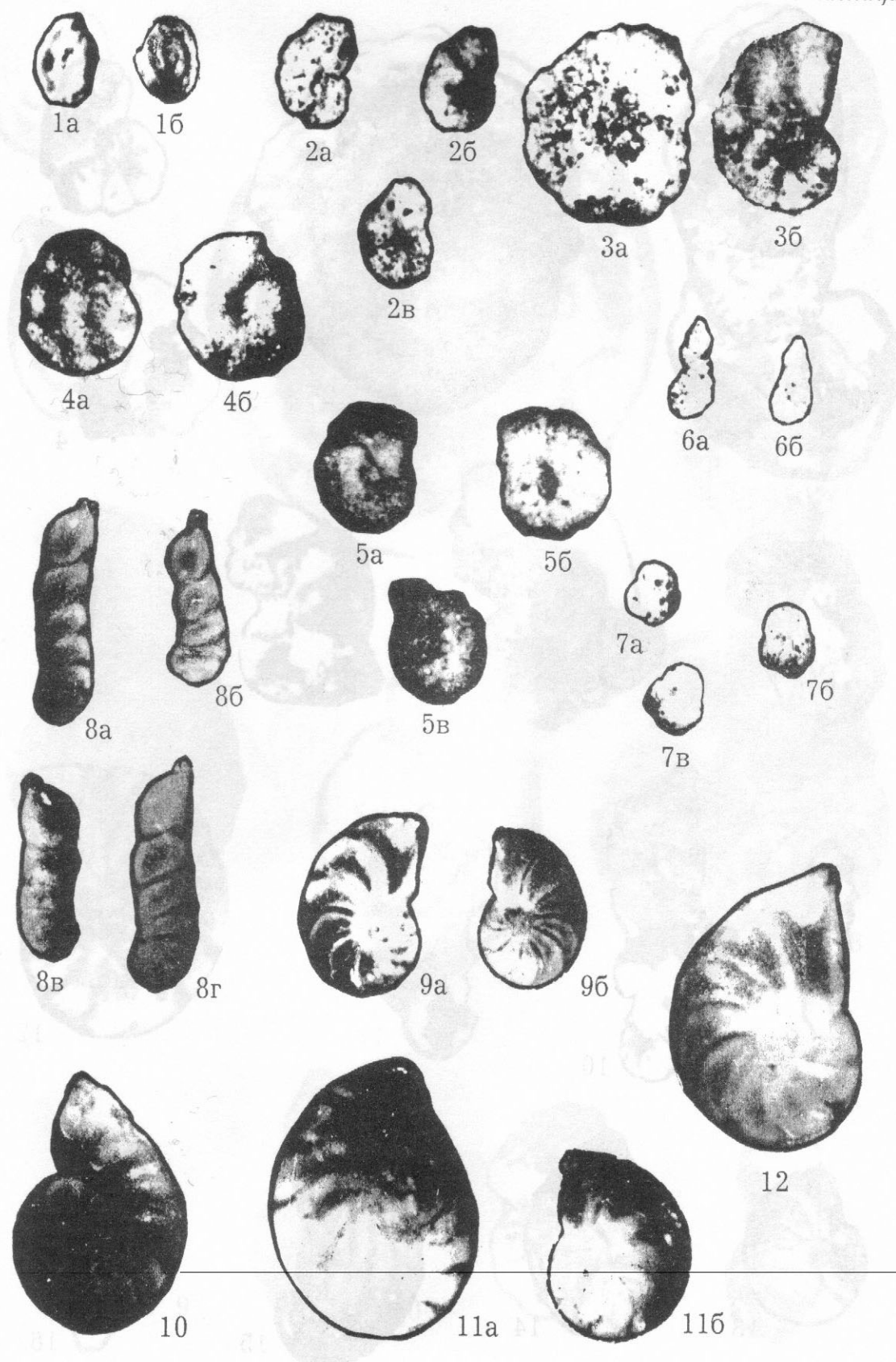
К разделу «Стратиграфия»



К разделу «Стратиграфия»

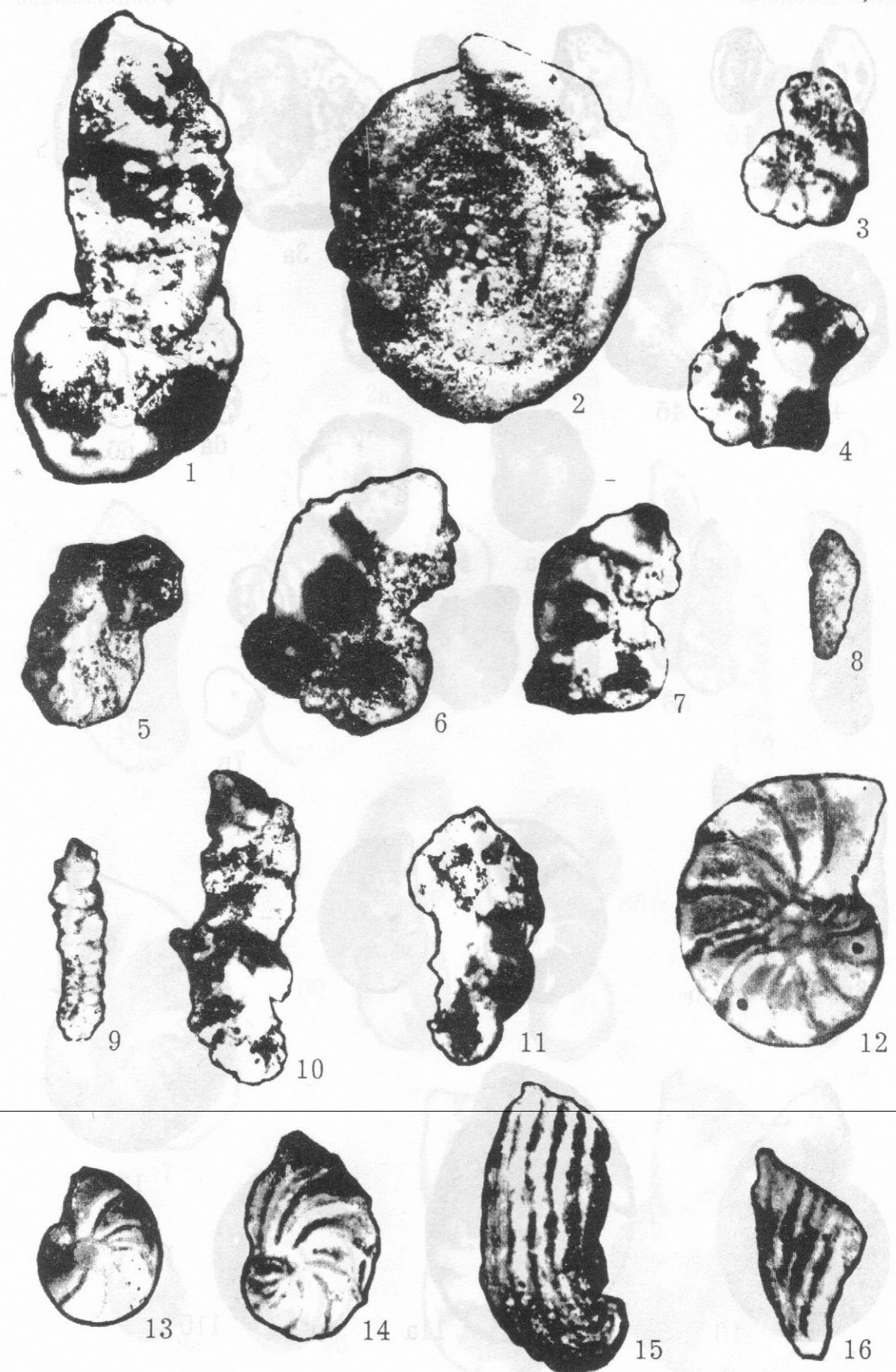


К разделу «Стратиграфия»

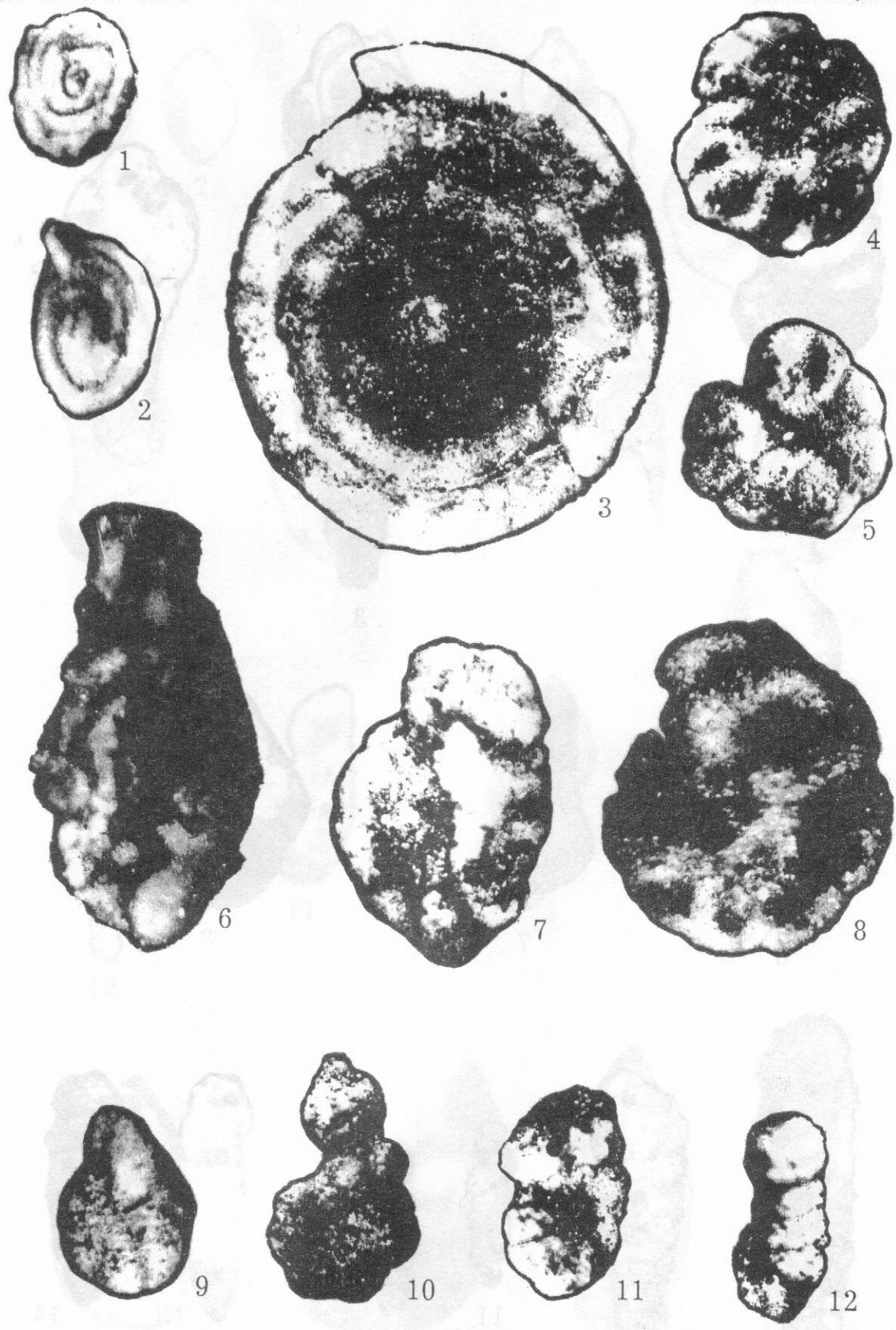


К разделу «Стратиграфия»

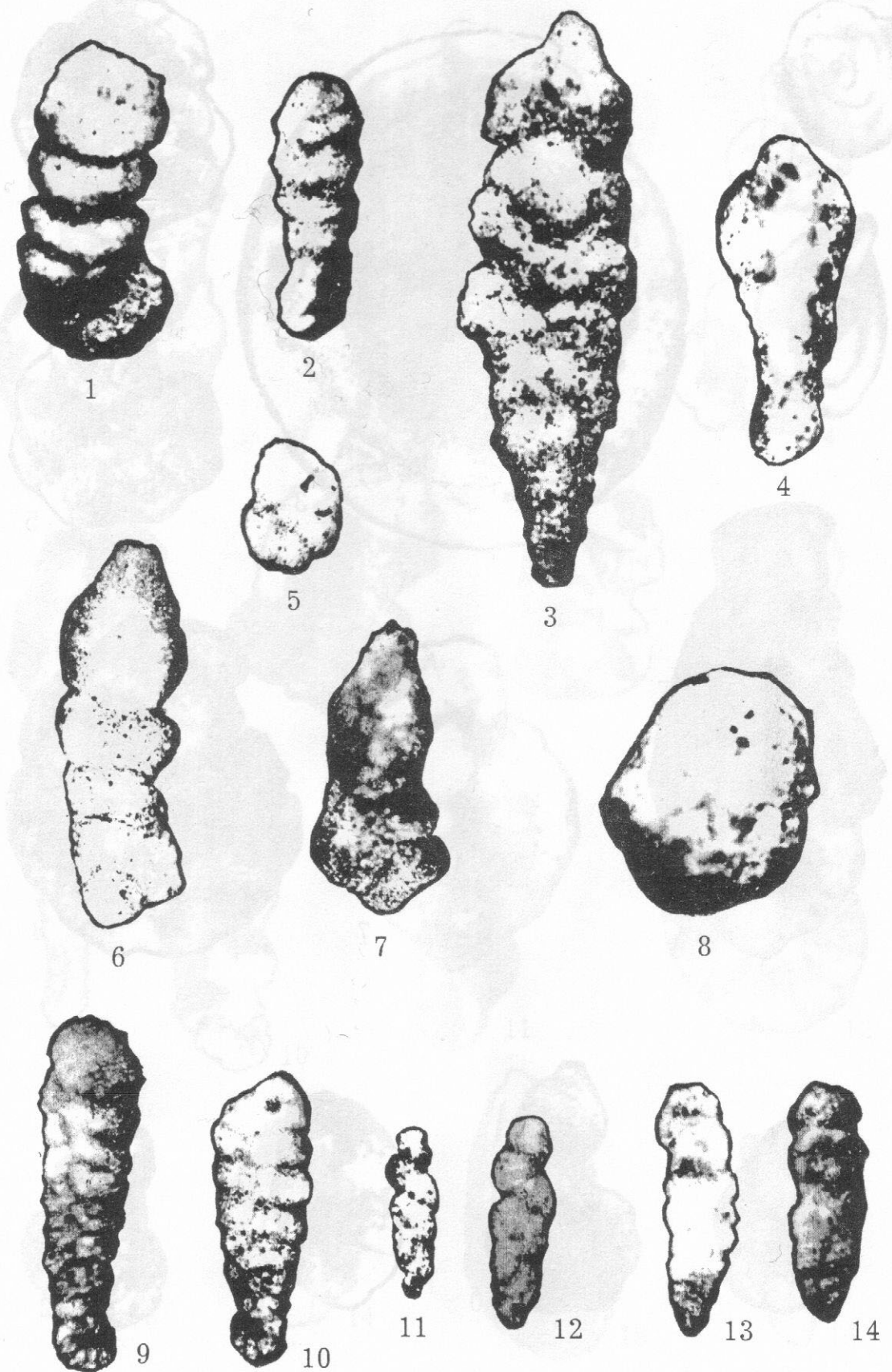
Фототаблица VII



К разделу «Литотипы, орнитокомплексы ...»

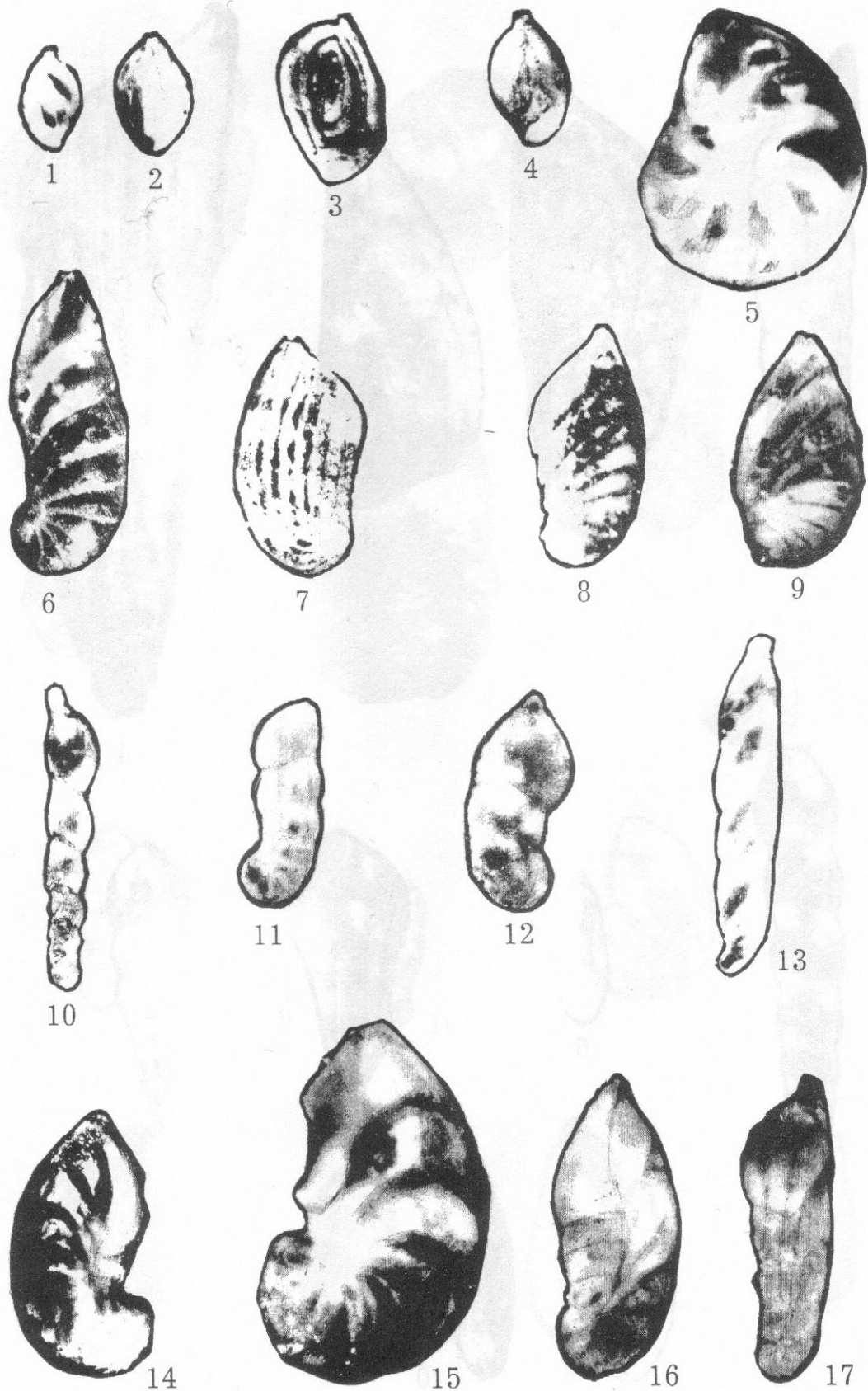


К разделу «Литотипы, орнитокомплексы ...»

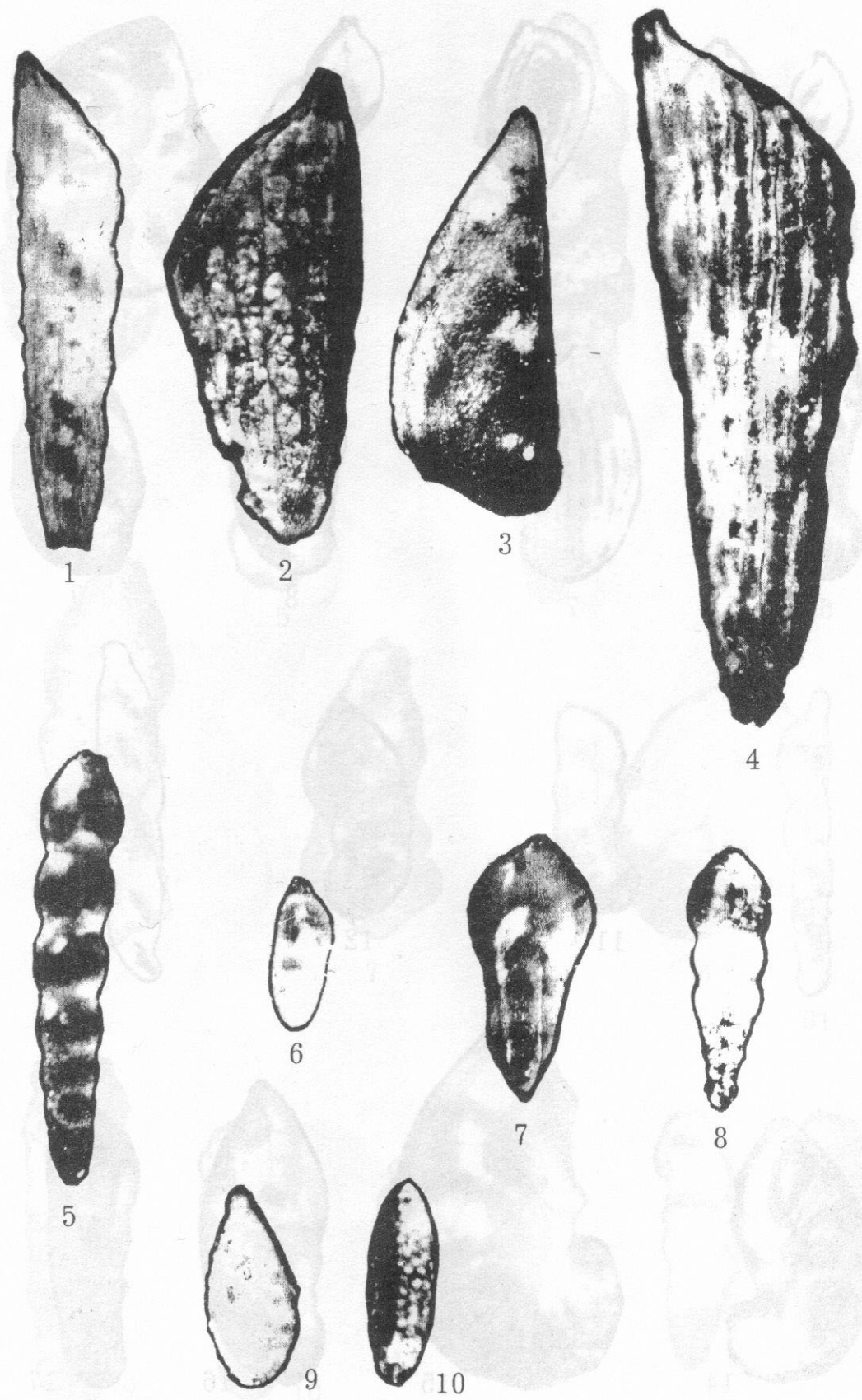


К разделу «Литотипы, орнитокомплексы ...»

Фототаблица X

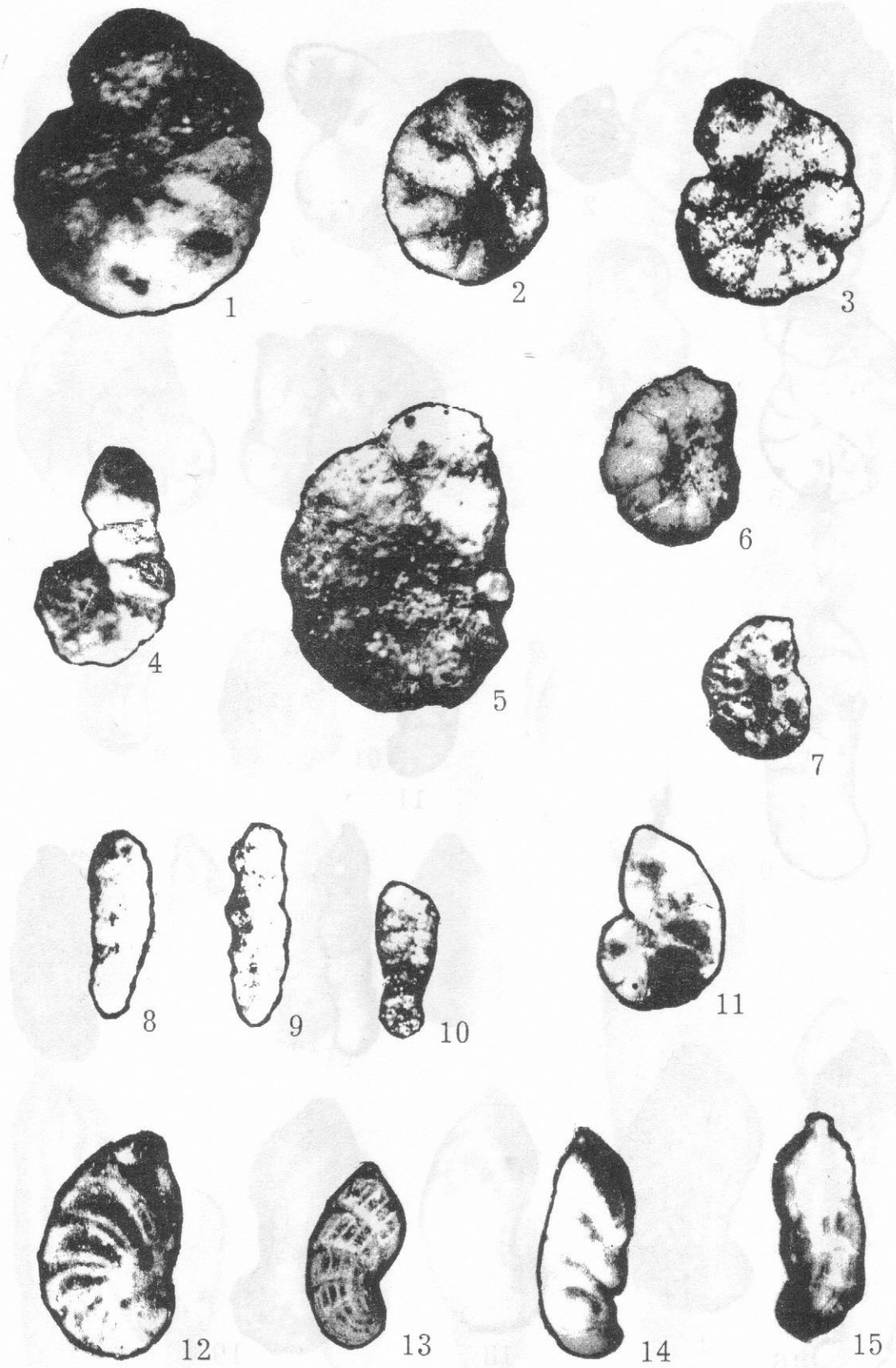


К разделу «Литотипы, орнитокомплексы ...»



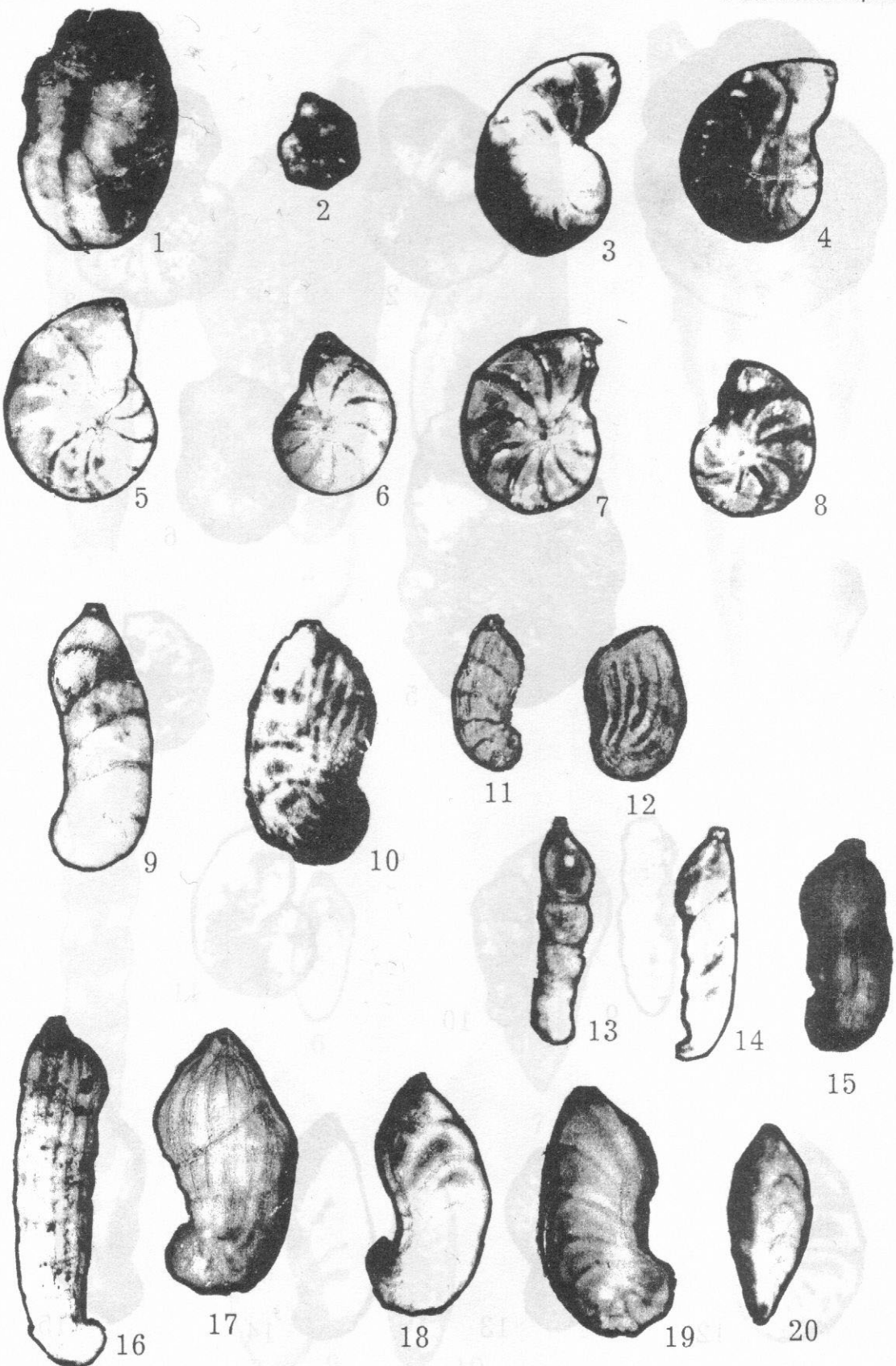
К разделу «Литотипы, орнитокомплексы ...»

Фототаблица XII



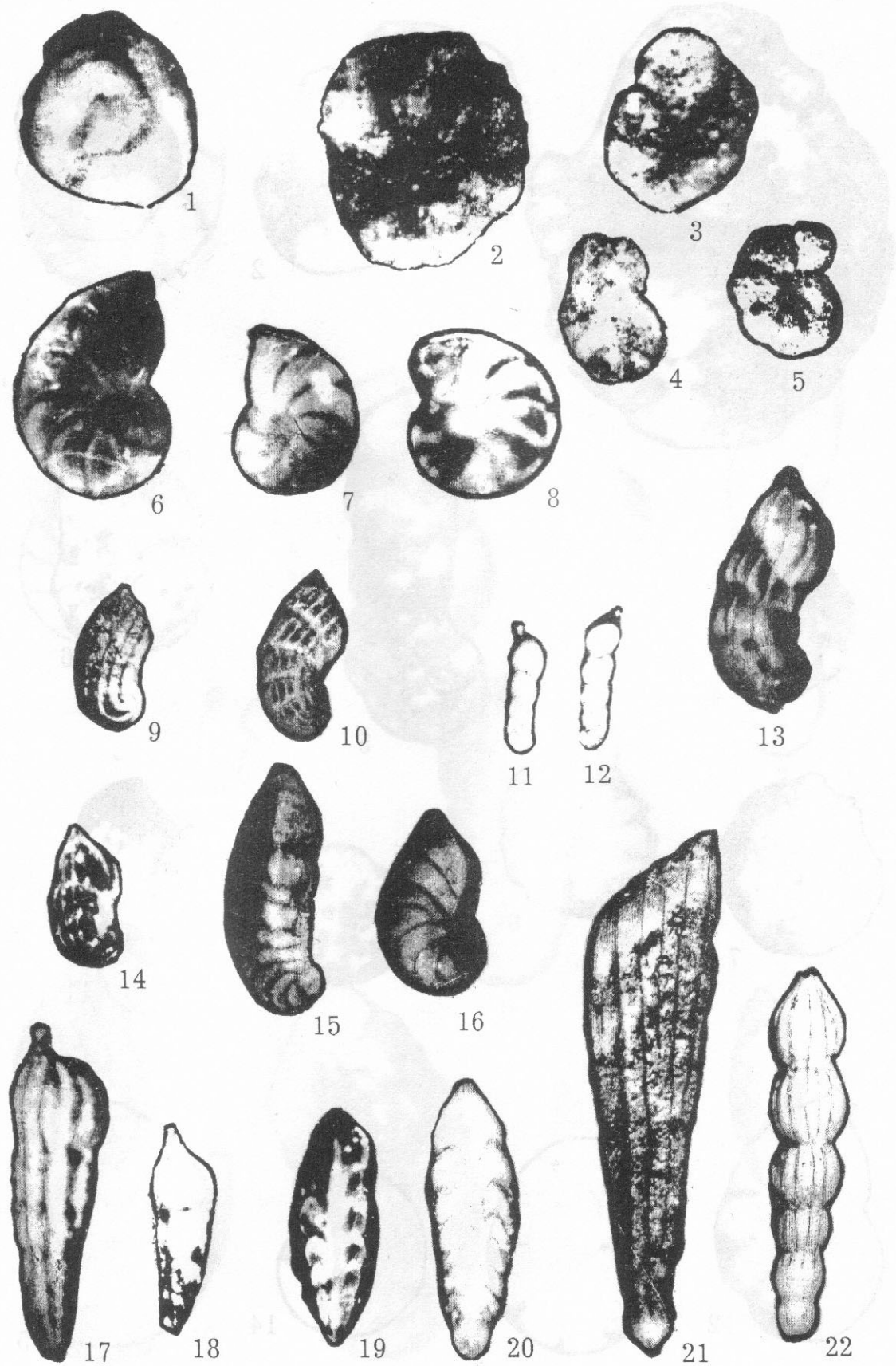
К разделу «Литотипы, орнитокомплексы ...»

Фототаблица XIII

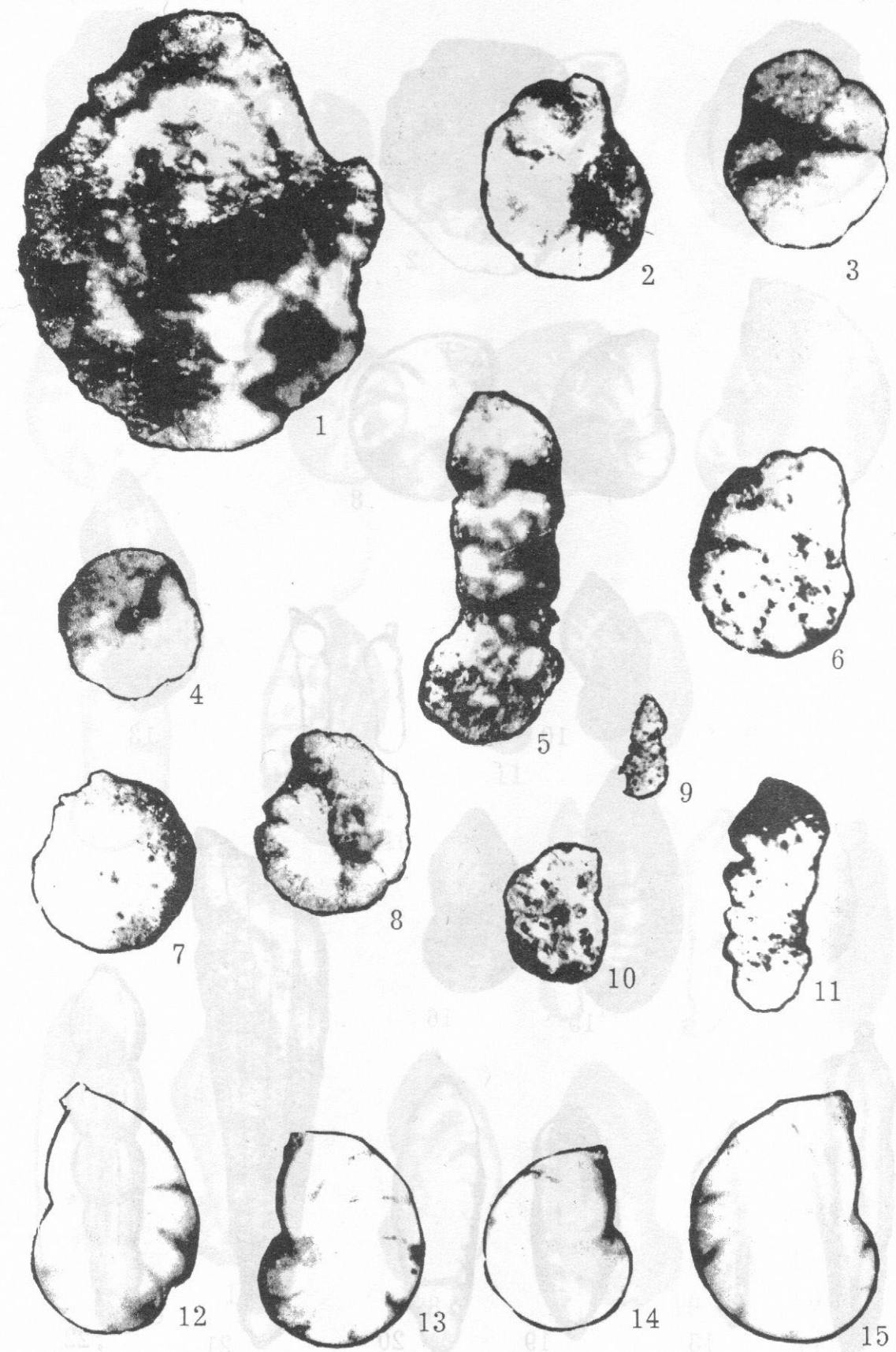


К разделу «Литотипы, орнитокомплексы ...»

Фототаблица XIV



К разделу «Литотипы, орнитокомплексы ...»

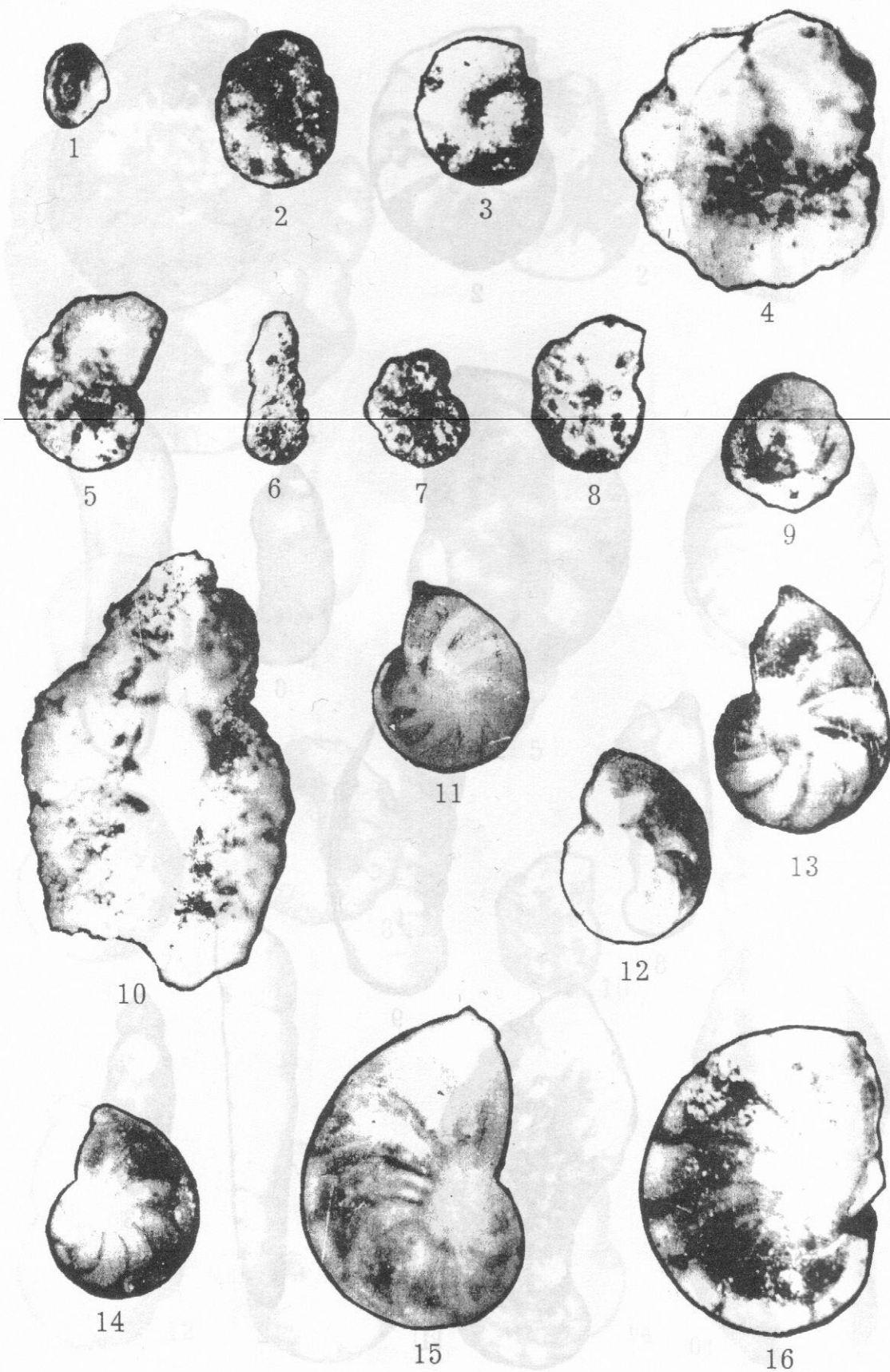


К разделу «Литотипы, орнитокомплексы ...»

Фототаблица XVI

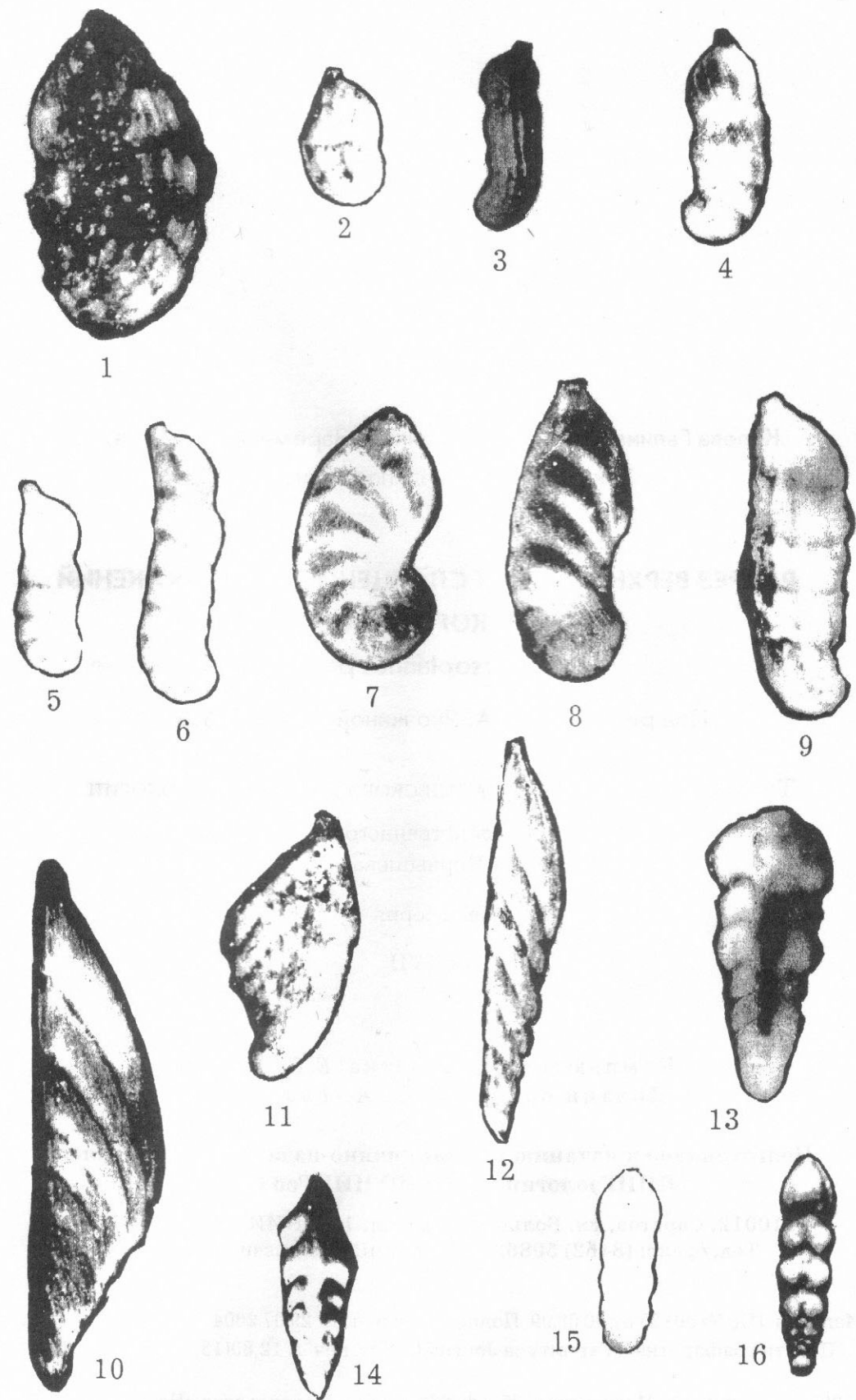


К разделу «Литотипы, орнитокомплексы ...»



К разделу «Литотипы, орнитокомплексы ...»

Фототаблица XVIII



К разделу «Литотипы, орнитокомплексы ...»